

การศึกษาผลของกรรมวิธีทางความร้อนต่อโครงสร้างทางจุลทรรศน์และ
ทางด้านความแข็งของเหล็กหล่อโครงเมียมสูงที่เตรียมโดยกระบวนการหล่อ
แบบดั้งเดิม, แบบชุบเปลอร์ชีทต์ และแบบบางเทาหล่อเย็น

EFFECT OF HEAT TREATMENT ON MICROSTRUCTURE AND
HARDNESS PROPERTY OF HIGH CHROMIUM CAST IRON PREPARED
BY CONVENTIONAL CASTING, LOW SUPERHEAT CASTING AND
COOLING SLOPE CASTING

นายศิวณัฐ บุญเพิ่ม รหัส 50362450
นางสาววิไลลักษณ์ รอดตะม้าย รหัส 50365567

ปริญญาบัตรนี้เป็นส่วนหนึ่งของการศึกษาหลักสูตรปริญญาวิศวกรรมศาสตรบัณฑิต
สาขาวิชาวิศวกรรมวัสดุ ภาควิชาวิศวกรรมอุตสาหการ
คณะวิศวกรรมศาสตร์ มหาวิทยาลัยนเรศวร
ปีการศึกษา 2553

ห้องสมุดคณะวิศวกรรมศาสตร์
วันที่รับ..... ๑๐.๗.๒๕๕๑
เลขทะเบียน..... ๑๕๙๐๔๘๖๙
เลขเรียกหนังสือ..... ๔๖
มหาวิทยาลัยนเรศวร ๑๕๔๒ ๗



ใบรับรองปริญญาบัตร

ชื่อหัวข้อโครงการ

การศึกษาผลของกรรมวิธีทางความร้อนต่อโครงสร้างทางจุลภาค และสมบัติทางด้านความแข็งของเหล็กหล่อโครงเมียมสูงที่เตรียมโดยกระบวนการหล่อแบบดั้งเดิม, แบบชุบเปลอร์เรียทต์ และแบบบรรเทาหล่อเย็น

ผู้ดำเนินโครงการ

นายศิวณัฐ บุญเพิ่ม รหัส 50362450

นางสาววิไลลักษณ์ รอดคละม้าย รหัส 50365567

ที่ปรึกษาโครงการ

อาจารย์กฤณา พูลสวัสดิ์

ที่ปรึกษาร่วม

อาจารย์อัมพร เวียงมูล

สาขาวิชา

วิศวกรรมวัสดุ

ภาควิชา

วิศวกรรมอุตสาหการ

ปีการศึกษา

2553

คณะวิศวกรรมศาสตร์ มหาวิทยาลัยนเรศวร อนุมัติให้ปริญญาบัตรฉบับนี้เป็นส่วนหนึ่ง
ของการศึกษาตามหลักสูตรวิศวกรรมศาสตรบัณฑิต สาขาวิชาวิศวกรรมวัสดุ

.....ที่ปรึกษาโครงการ

(อาจารย์กฤณา พูลสวัสดิ์)

.....ประธานกรรมการ

(อาจารย์ชุลีพร ป่าໄเร)

.....กรรมการ

(อาจารย์ปิยันน์ บุญพยัคฆ์)

.....กรรมการ

(อาจารย์มานะ วีรวิกรમ)

.....กรรมการ
(อาจารย์ธนิกานต์ คงชัย)

.....กรรมการ

(อาจารย์ศรีกานต์ ขันสมฤทธิ์)

ชื่อหัวข้อโครงการ	การศึกษาผลของกรรมวิธีทางความร้อนต่อโครงสร้างทางจุลภาค และสมบัติทางด้านความแข็งของเหล็กหล่อโครงเมี่ยมสูงที่เตรียมโดยกระบวนการหล่อแบบดั้งเดิม, แบบชุปเปอร์ชีทต์ และแบบบรรเทหล่อเย็น		
ผู้ดำเนินโครงการ	นายศิวัฒน์ บุญเพิ่ม รหัส 50362450	นางสาววิไลักษณ์ รอดละเอียด รหัส 50365567	
ที่ปรึกษาโครงการ	อาจารย์กฤณา พุลสวัสดิ์		
ที่ปรึกษาร่วม	อาจารย์อัมพร เวียงมูล		
สาขาวิชา	วิศวกรรมวัสดุ		
ภาควิชา	วิศวกรรมอุตสาหการ		
ปีการศึกษา	2553		

บทคัดย่อ

โครงการวิจัยนี้ได้ศึกษาผลของกรรมวิธีทางความร้อนต่อโครงสร้างทางจุลภาค ลักษณะทางสัณฐานวิทยา การเปลี่ยนแปลงเฟส และความแข็งของเหล็กหล่อโครงเมี่ยมสูงร้อยละ 25 โดยนำหนักที่ผ่านการขึ้นรูปโดยวิธีการหล่อแบบดั้งเดิม แบบชุปเปอร์ชีทต์ และแบบบรรเทหล่อเย็น จากการศึกษาโครงสร้างทางจุลภาคในสภาพหล่อ พบร้าโครงสร้างทางจุลภาคของชิ้นงานที่ขึ้นรูปโดยวิธีการหล่อแบบดั้งเดิม แบบชุปเปอร์ชีทต์ และแบบบรรเทหล่อเย็นโครงสร้างจะประกอบไปด้วยโครงสร้างพื้นของอสเทนในตปฐมภูมิล้อมรอบด้วยยูเทกติการ์ไบต์-อสเทนในต์ โดยชิ้นงานที่ขึ้นรูปโดยวิธีการหล่อแบบดั้งเดิม โครงสร้างพื้นของอสเทนในต์มีลักษณะเป็นเด่นไดร์ท แต่ชิ้นงานที่ขึ้นรูปโดยวิธีการหล่อแบบชุปเปอร์ชีทต์ และแบบบรรเทหล่อเย็นให้โครงสร้างของอสเทนในตปฐมภูมิที่มีลักษณะเกรนกลม และมียูเทกติการ์ไบต์-อสเทนในต์ที่มีขนาดเล็ก กระจายตัวหนาแน่น เมื่อศึกษาการเกิดเฟสของชิ้นงานในสภาพหล่อ พบร้าเกิดเฟสօสเทนในต์, เพスマร์เทนไซต์ และคาร์ไบด์ชนิด $(\text{Fe}, \text{Cr})_7\text{C}_3$ จากการวัดความแข็งมากับแบบวิกเกอร์สของชิ้นงานที่ขึ้นรูปโดยวิธีการหล่อแบบดั้งเดิม แบบชุปเปอร์ชีทต์ และแบบบรรเทหล่อเย็นเป็นตั้งนี้ 482, 493 และ 501 HV₃₀ ตามลำดับ เมื่อนำไปอบดีสเตบีไลเซนท์ที่อุณหภูมิ 1000 องศาเซลเซียส เป็นเวลา 4 ชั่วโมง พบร้าอสเทนในตปฐมภูมิจะถูกเปลี่ยนเป็นมาร์เทนไซต์โดยมีอสเทนในต์ตกค้างบางส่วน และมีการแตกตะกอนของคาร์ไบด์ทุติยภูมิภายในโครงสร้างพื้นของมาร์เทนไซต์ ความแข็งของชิ้นงานที่ขึ้นรูปโดยวิธีการหล่อแบบดั้งเดิม แบบชุปเปอร์ชีทต์ และแบบบรรเทหล่อเย็นจะเพิ่มขึ้นเป็น 698, 706 และ 688 HV₃₀ ตามลำดับ และเมื่อชิ้นงานถูกนำไปอบเพิ่มอีก 500 องศาเซลเซียส เป็นเวลา 4, 8 และ 12 ชั่วโมง คาร์ไบด์ทุติยภูมิที่ตกตะกอนในมาร์เทนไซต์จะมีขนาดใหญ่ขึ้น และมีแนวโน้มเชื่อมตอกัน นอกจากนี้ยังมีการแตกตะกอนของคาร์ไบด์ทุติยภูมิขึ้นใหม่ที่บริเวณขอบของโครงสร้างพื้นของมาร์เทนไซต์ในระหว่าง

การอบเทมเปอร์ริงอีกตัวย อีกทั้งยังพบว่าเกิดเฟสเฟอร์ไรต์เกิดขึ้นจากการเปลี่ยนแปลงของอสเทนในต์ที่ต่อกัน ส่งผลให้ความแข็งของชิ้นงานที่ขึ้นรูปโดยวิธีการหล่อแบบดั้งเดิม แบบซุปเปอร์ชีทต้า และแบบร่างเหลล่อยืน ภายหลังการอบผ่านไป 12 ชั่วโมงลดลงเป็น 570, 566 และ 605 HV₃₀ ตามลำดับ



กิตติกรรมประกาศ

โครงการนี้สำเร็จลุล่วงได้ด้วยความช่วยเหลืออย่างดียิ่งของ อาจารย์กฤษณา พูลสวัสดิ์ อาจารย์ที่ปรึกษาโครงการ และอาจารย์อัมพร เวียงมูล อาจารย์ที่ปรึกษาร่วมโครงการ ใน การให้ความรู้ คำปรึกษา และข้อแนะนำเกี่ยวกับการค้นหาข้อมูล และแนวทางการปฏิบัติ การวิเคราะห์ ต่างๆ ตลอดจนสละเวลาให้คำแนะนำทั้งภาคทฤษฎี และภาคปฏิบัติ ผู้จัดทำรู้สึกซาบซึ้งในความ อนุเคราะห์ที่ดีเยี่ยม และขอกราบขอบพระคุณอย่างสูงยิ่ง

ขอขอบพระคุณอาจารย์ชุลีพรย์ ป่าໄเร อาจารย์มานะ วีรวิกรม อาจารย์ศิริกาญจน์ ขันสัมฤทธิ์ อาจารย์ธนิกานต์ คงชัย และอาจารย์ปิยันันท์ บุญพยัคฆ์ ที่กรุณาสละเวลา เป็นอาจารย์สอบโครงการ พร้อมทั้งให้คำแนะนำที่เป็นประโยชน์ และข้อเสนอแนะในการปรับปรุงแก้ไขโครงการครั้งนี้

ขอขอบพระคุณภาควิชาศิวกรรมอุตสาหการ คณะศิวกรรมศาสตร์ มหาวิทยาลัยนเรศวร ที่ ประสิทธิ์ประสานทางวิชาความรู้ และอบรมสั่งสอนให้ผู้จัดทำเป็นโครงการของสังคม

ขอขอบคุณภาควิชาศิวกรรมอุตสาหการ คณะศิวกรรมศาสตร์ และภาควิชาพลังก์ คณะ วิทยาศาสตร์ มหาวิทยาลัยนเรศวร ที่เอื้อเฟื้อเครื่องมือ และสถานที่ทำโครงการ

ขอขอบพระคุณ บิดา มารดา และครอบครัว ที่ให้กำลังใจ และสนับสนุนค่าใช้จ่ายจนสามารถ เรียน และทำโครงการวิจัยจนสำเร็จลุล่วงไปได้ด้วยดี

ขอขอบคุณเพื่อนทุกคนที่เคยให้ความช่วยเหลือ ให้กำลังใจ และให้คำปรึกษาในการทำ โครงการนี้จนลุล่วงได้เป็นอย่างดี

ผู้ดำเนินโครงการ

ศิริณัฐ	บุญเพิ่ม
วีไลลักษณ์	รองคละม้าย

เมษายน 2554

สารบัญ

	หน้า
ใบรับรองปริญานินพนธ์.....	ก
บทคัดย่อภาษาไทย.....	ข
กิตติกรรมประกาศ.....	ง
สารบัญ.....	จ
สารบัญตาราง.....	ช
สารบัญรูป.....	ฉ
สารบัญสัญลักษณ์ และอักษรย่อ.....	ฉ
 บทที่ 1 บทนำ.....	1
1.1 ความเป็นมา และความสำคัญของโครงการ.....	1
1.2 วัตถุประสงค์ของโครงการ.....	1
1.3 เกณฑ์ชี้วัดผลงาน (Output).....	2
1.4 เกณฑ์ชี้วัดผลสำเร็จ (Outcome).....	2
1.5 ขอบเขตการดำเนินโครงการ.....	2
1.6 สถานที่ในการดำเนินโครงการ.....	3
1.7 ระยะเวลาในการดำเนินโครงการ.....	3
1.8 ขั้นตอน และแผนการดำเนินโครงการ.....	3
 บทที่ 2 หลักการ และทฤษฎีเบื้องต้น.....	5
2.1 เหล็กหล่อโครงเมียมสูง.....	5
2.2 กระบวนการหล่อโลหะกึ่งแข็ง.....	9
2.3 กรรมวิธีทางความร้อน.....	17
2.4 กล้องจุลทรรศน์อิเล็กตรอนแบบส่องกราด (Scanning Electron Microscope : SEM).....	19
2.5 เครื่องเอกซเรย์ดิฟแฟร์กโนมิเตอร์ (X-Ray Diffractometer : XRD).....	21
2.6 การทดสอบความแข็ง.....	23
2.7 งานวิจัยที่เกี่ยวข้อง.....	24

สารบัญ (ต่อ)

	หน้า
บทที่ 3 วิธีดำเนินโครงการ.....	27
3.1 ขั้นตอน และระเบียบวิธีวิจัยที่ใช้ในการทำโครงการ.....	27
3.2 วัสดุ และอุปกรณ์.....	28
3.3 ขั้นตอนการทดลอง.....	28
3.4 วิเคราะห์ และสรุปผลการทดลอง.....	31
3.5 จัดทำรูปเล่ม.....	31
บทที่ 4 ผลการทดลอง และวิเคราะห์.....	32
4.1 ผลการศึกษาเหล็กหล่อโครงมีymสูงร้อยละ 25 โดยน้ำหนักในสภาพหล่อ.....	32
4.2 ผลการศึกษาเหล็กหล่อโครงมีymสูงหลังอบดีสเตบีไลเซ็น.....	40
4.3 ผลการศึกษาเหล็กหล่อโครงมีymสูงหลังอบเทมเปอร์링.....	46
บทที่ 5 บทสรุป และข้อเสนอแนะ.....	54
5.1 สรุปผลการทดลอง.....	54
5.2 ข้อเสนอแนะ และการพัฒนา.....	55
5.3 ปัญหาที่พบ และวิธีการแก้ไข.....	55
เอกสารอ้างอิง.....	56
ภาคผนวก ก.....	58
ภาคผนวก ข.....	62
ภาคผนวก ค.....	69
ประวัติผู้ดำเนินโครงการ.....	73

สารบัญตาราง

ตารางที่	หน้า
1.1 ขั้นตอน และแผนการดำเนินการ.....	3
2.1 ส่วนผสม และความแข็งของเหล็กหล่อโครงเมียม (BS 4844).....	5
2.2 ส่วนผสมทางเคมีของเหล็กหล่อโครงเมียมสูง (ASTM A-532 1975).....	6
2.3 ชนิดของโครงเมียมการใบด์ และความแข็ง.....	7
3.1 องค์ประกอบทางเคมีของเหล็กหล่อโครงเมียมสูงที่ใช้ในการทดลอง.....	28
4.1 ปริมาณธาตุที่ละลายอยู่ในโครงสร้างพื้นของเหล็กหล่อโครงเมียมสูงในสภาพหล่อที่ขึ้นรูปโดยวิธีการหล่อแบบชุปเปอร์ฮีทต์.....	35
4.2 ปริมาณธาตุที่ละลายอยู่ในยูเทกติกการใบด์ของเหล็กหล่อโครงเมียมสูงในสภาพหล่อที่ขึ้นรูปโดยวิธีการหล่อแบบชุปเปอร์ฮีทต์.....	38
4.3 ปริมาณธาตุที่ละลายอยู่ในตะกอนของการใบด์ทุติยภูมิของเหล็กหล่อโครงเมียมสูงที่ผ่านการขึ้นรูปโดยวิธีการหล่อแบบชุปเปอร์ฮีทต์หลังผ่านการอบดีสเตบีไลเซชันที่อุณหภูมิ 1000 องศาเซลเซียส เป็นเวลา 4 ชั่วโมง ร่วมกับการอบเทมเปอร์ที่อุณหภูมิ 500 องศาเซลเซียส เป็นเวลา 8 ชั่วโมง.....	51
ก.1 โครงสร้างทางจุลภาคของชิ้นงานก่อน และหลังกรรมวิธีทางความร้อน ณ บริเวณต่างๆ ของชิ้นงานที่ขึ้นรูปโดยการหล่อแบบดั้งเดิม (Conventional Casting).....	59
ก.2 โครงสร้างทางจุลภาคของชิ้นงานก่อน และหลังกรรมวิธีทางความร้อน ณ บริเวณต่างๆ ของชิ้นงานที่ขึ้นรูปโดยการหล่อแบบร่างเหหล้อเย็น (Cooling Slope Casting).....	60
ก.3 โครงสร้างทางจุลภาคของชิ้นงานก่อน และหลังกรรมวิธีทางความร้อน ณ บริเวณต่างๆ ของชิ้นงานที่ขึ้นรูปโดยการหล่อแบบชุปเปอร์ฮีทต์ (Low Superheat Casting).....	61
ข.1 การวิเคราะห์agara ณ ตำแหน่งต่างๆ ที่บริเวณโครงสร้างพื้น และบริเวณยูเทกติกการใบด์ ในสภาพหล่อของชิ้นงานที่ผ่านการขึ้นรูปโดยวิธีการหล่อแบบชุปเปอร์ฮีทต์.....	63
ข.2 การวิเคราะห์agara ณ ตำแหน่งต่างๆ ที่บริเวณการใบด์ทุติยภูมิ ในเหล็กหล่อที่ผ่านการอบดีสเตบีไลเซชันที่อุณหภูมิ 1000 องศาเซลเซียส เป็นเวลา 4 ชั่วโมง และอบเทมเปอร์ที่อุณหภูมิ 500 องศาเซลเซียส เป็นเวลา 8 ชั่วโมง ของชิ้นงานที่ผ่านการขึ้นรูปโดยวิธีการหล่อแบบชุปเปอร์ฮีทต์.....	64
ข.3 ภาพถ่ายด้วยกล้อง SEM แสดงลักษณะทางสัณฐานวิทยาของเหล็กหล่อโครงเมียมสูง โดยชิ้นงานที่ผ่านการขึ้นรูปโดยวิธีการหล่อแบบชุปเปอร์ฮีทต์ ที่ผ่านการอบดีสเตบีไลเซชัน อุณหภูมิ 1000 องศาเซลเซียส เป็นเวลา 4 ชั่วโมง.....	65

สารบัญตาราง (ต่อ)

ตารางที่	หน้า
ข.4 ภาพถ่ายด้วยกล้อง SEM แสดงลักษณะทางสัณฐานวิทยาของเหล็กหล่อโครงเมียมสูง โดยชั้นงานที่ผ่านการขึ้นรูปโดยวิธีการหล่อแบบซุปเปอร์ชีทต์ ที่ผ่านการอบดีสเตบีไลเซชันที่อุณหภูมิ 1000 องศาเซลเซียส เป็นเวลา 4 ชั่วโมง และอบเหมเปอร์วิ่งที่อุณหภูมิ 500 องศาเซลเซียส เป็นเวลา 4 ชั่วโมง.....	66
ข.5 ภาพถ่ายด้วยกล้อง SEM แสดงลักษณะทางสัณฐานวิทยาของเหล็กหล่อโครงเมียมสูง โดยชั้นงานที่ผ่านการขึ้นรูปโดยวิธีการหล่อแบบซุปเปอร์ชีทต์ ที่ผ่านการอบดีสเตบีไลเซชันที่อุณหภูมิ 1000 องศาเซลเซียส เป็นเวลา 4 ชั่วโมง และอบเหมเปอร์วิ่งที่อุณหภูมิ 500 องศาเซลเซียส เป็นเวลา 8 ชั่วโมง.....	67
ข.6 ภาพถ่ายด้วยกล้อง SEM แสดงลักษณะทางสัณฐานวิทยาของเหล็กหล่อโครงเมียมสูง โดยชั้นงานที่ผ่านการขึ้นรูปโดยวิธีการหล่อแบบซุปเปอร์ชีทต์ ที่ผ่านการอบดีสเตบีไลเซชันที่อุณหภูมิ 1000 องศาเซลเซียส เป็นเวลา 4 ชั่วโมง และอบเหมเปอร์วิ่งที่อุณหภูมิ 500 องศาเซลเซียส เป็นเวลา 12 ชั่วโมง.....	68
ค.1 ผลของค่าความแข็ง ในสภาพหล่อ, หลังการอบดีสเตบีไลเซชันที่อุณหภูมิ 1000 องศาเซลเซียส เป็นเวลา 4 ชั่วโมง และการอบดีสเตบีไลเซชันที่อุณหภูมิ 1000 องศาเซลเซียส เป็นเวลา 4 ชั่วโมง ร่วมกับการอบเหมเปอร์วิ่งที่อุณหภูมิ 500 องศาเซลเซียส เป็นเวลา 4, 8 และ 12 ชั่วโมง ของเหล็กหล่อโครงเมียมสูงที่ผ่านการขึ้นรูปโดยวิธีดังเดิม.....	70
ค.2 ผลของค่าความแข็ง ในสภาพหล่อ, หลังการอบดีสเตบีไลเซชันที่อุณหภูมิ 1000 องศาเซลเซียส เป็นเวลา 4 ชั่วโมง และการอบดีสเตบีไลเซชันที่อุณหภูมิ 1000 องศาเซลเซียส เป็นเวลา 4 ชั่วโมง ร่วมกับการอบเหมเปอร์วิ่งที่อุณหภูมิ 500 องศาเซลเซียส เป็นเวลา 4, 8 และ 12 ชั่วโมง ของเหล็กหล่อโครงเมียมสูงที่ผ่านการขึ้นรูปโดยวิธีซุปเปอร์ชีทต์.....	71
ค.3 ผลของค่าความแข็ง ในสภาพหล่อ, หลังการอบดีสเตบีไลเซชันที่อุณหภูมิ 1000 องศาเซลเซียส เป็นเวลา 4 ชั่วโมง และการอบดีสเตบีไลเซชันที่อุณหภูมิ 1000 องศาเซลเซียส เป็นเวลา 4 ชั่วโมง ร่วมกับการอบเหมเปอร์วิ่งที่อุณหภูมิ 500 องศาเซลเซียส เป็นเวลา 4, 8 และ 12 ชั่วโมง ของเหล็กหล่อโครงเมียมสูงที่ผ่านการขึ้นรูปโดยวิธีร่างเหลาอ่อน.....	72

สารบัญรูป

รูปที่	หน้า
2.1 โครงสร้างทางจุลภาคของอุณหภูมิเนียมเกรด A356.....	9
2.2 ช่วงของอุณหภูมิกึ่งแข็ง เพื่อใช้ในกระบวนการขึ้นรูปโลหะกึ่งแข็ง.....	10
2.3 การเปรียบเทียบกระบวนการ Rheocasting และ Thixocasting.....	12
2.4 ช่วงอุณหภูมิกึ่งแข็งที่ใช้ในการเผ่านร่างเหลว.....	13
2.5 การแข็งตัวของน้ำโลหะเมื่อเผ่านร่างเหลวหล่อเย็น.....	14
2.6 กระบวนการหล่อโลหะกึ่งแข็งแบบร่างเหลวหล่อเย็น.....	14
2.7 ภาพจาก SEM ของเหล็กหล่อโครงเมียมร้อยละ 18 โดยน้ำหนัก.....	15
2.8 ผลของอุณหภูมิในการอบดีสเตบีไลเซชันต่อค่าความแข็งของเหล็กหล่อที่ผสมคาร์บอนร้อยละ 2 โดยน้ำหนัก โครงเมียมร้อยละ 20 โดยน้ำหนัก และโมลิบดินัมร้อยละ 2 โดยน้ำหนัก... <td>17</td>	17
2.9 ผลของอุณหภูมิในการอบคืนตัวต่อค่าความแข็งของเหล็กหล่อที่ผสมคาร์บอนร้อยละ 2 โดยน้ำหนัก โครงเมียมร้อยละ 20 โดยน้ำหนัก และโมลิบดินัมร้อยละ 1.7 โดยน้ำหนัก.....	19
2.10 Bragg 's Law.....	21
2.11 เครื่องเอกซเรย์ดิฟแฟร์กโนมิเตอร์.....	22
2.12 หักด้วยรูปเป็นรูปปิรามิดมุมยอด 136° ฐานสีเหลือง และรอยกด.....	23
3.1 ขั้นตอนการดำเนินงาน.....	27
3.2 กระบวนการอบดีสเตบีไลเซชันของเหล็กหล่อโครงเมียมสูง.....	29
3.3 กระบวนการอบดีสเตบีไลเซชัน และอบเพาเวอร์ของเหล็กหล่อโครงเมียมสูง.....	29
4.1 โครงสร้างทางจุลภาคของเหล็กหล่อโครงเมียมสูงในสภาพหล่อที่ขึ้นรูปโดยวิธีการหล่อแบบดั้งเดิม.....	32
4.2 โครงสร้างทางจุลภาคของเหล็กหล่อโครงเมียมสูงในสภาพหล่อที่ขึ้นรูปโดยวิธีการหล่อแบบชุบเปอร์ฮีทต์.....	33
4.3 โครงสร้างทางจุลภาคของเหล็กหล่อโครงเมียมสูงในสภาพหล่อที่ขึ้นรูปโดยวิธีการหล่อแบบร่างเหลวหล่อเย็น.....	33
4.4 การวัดการกระจายพลังงานของรังสีเอกซ์ (EDXS) บริเวณโครงสร้างพื้นของเหล็กหล่อโครงเมียมสูงในสภาพหล่อที่ขึ้นรูปโดยวิธีการหล่อแบบชุบเปอร์ฮีทต์.....	35
4.5 สเปกตรัมของการวัดการกระจายพลังงานของรังสีเอกซ์ (EDXS) บริเวณโครงสร้างพื้นของเหล็กหล่อโครงเมียมสูงในสภาพหล่อที่ขึ้นรูปโดยวิธีการหล่อแบบชุบเปอร์ฮีทต์.....	35
4.6 ภาพถ่ายด้วยกล้อง SEM แสดงลักษณะทางสัณฐานวิทยาของเหล็กหล่อโครงเมียมสูงในสภาพหล่อที่ขึ้นรูปโดยวิธีการหล่อแบบชุบเปอร์ฮีทต์.....	36

สารบัญรูป (ต่อ)

รูปที่	หน้า
4.7 การวัดการกระจายพลังงานของรังสีเอกซ์ (EDXS) บริเวณโครงสร้างยูเทกติกในส่วนของ การเบิดของเหล็กหล่อโครงเมียมสูงในสภาพหล่อที่ขึ้นรูปโดยวิธีการหล่อแบบชุบเปอร์- อีทต่า.....	37
4.8 สเปกตรัมของการวัดการกระจายพลังงานของรังสีเอกซ์ (EDXS) บริเวณโครงสร้างยูเทกติก ในส่วนของคราบเบิดของเหล็กหล่อโครงเมียมสูงในสภาพหล่อที่ขึ้นรูปโดยวิธีการหล่อแบบ ชุบเปอร์อีทต่า.....	37
4.9 รูปแบบการเลี้ยวเบนของรังสีเอกซ์ของเหล็กหล่อโครงเมียมสูงที่ขึ้นรูปโดยวิธีการหล่อแบบ ชุบเปอร์อีทต่าในสภาพหล่อ.....	38
4.10 ผลของความแข็งของเหล็กหล่อโครงเมียมสูงในสภาพหล่อ.....	39
4.11 โครงสร้างทางจุลภาคของเหล็กหล่อโครงเมียมสูงที่ขึ้นรูปโดยวิธีการหล่อแบบตั้งเดิม หลัง ผ่านการอบดีสเทบีไลเซนท์อุณหภูมิ 1000 องศาเซลเซียส เป็นเวลา 4 ชั่วโมง.....	40
4.12 โครงสร้างทางจุลภาคของเหล็กหล่อโครงเมียมสูงที่ขึ้นรูปโดยวิธีการหล่อแบบชุบเปอร์อีทต่า หลังผ่านการอบดีสเทบีไลเซนท์อุณหภูมิ 1000 องศาเซลเซียส เป็นเวลา 4 ชั่วโมง.....	41
4.13 โครงสร้างทางจุลภาคของเหล็กหล่อโครงเมียมสูงที่ขึ้นรูปโดยวิธีการหล่อแบบบางเหลือ- เย็นหลังผ่านการอบดีสเทบีไลเซนท์อุณหภูมิ 1000 องศาเซลเซียส เป็นเวลา 4 ชั่วโมง.....	41
4.14 ลักษณะทางสัณฐานวิทยาของเหล็กหล่อโครงเมียมสูงที่ผ่านการขึ้นรูปโดยวิธีการหล่อแบบ ชุบเปอร์อีทต่าหลังผ่านการอบดีสเทบีไลเซนท์อุณหภูมิ 1000 องศาเซลเซียส เป็นเวลา 4 ชั่วโมง บริเวณโครงสร้างพื้นของมาร์เก้ต.....	42
4.15 ลักษณะทางสัณฐานวิทยาของเหล็กหล่อโครงเมียมสูงที่ผ่านการขึ้นรูปโดยวิธีการหล่อแบบ ชุบเปอร์อีทต่าหลังผ่านการอบดีสเทบีไลเซนท์อุณหภูมิ 1000 องศาเซลเซียส เป็นเวลา 4 ชั่วโมง บริเวณโครงสร้างพื้นหลังกัดกรดที่มีส่วนผสมของ $KMnO_4$ 4 กรัม + $NaOH$ 4 กรัม + น้ำ 100 มิลลิลิตร.....	43
4.16 ลักษณะทางสัณฐานวิทยาของเหล็กหล่อโครงเมียมสูงที่ผ่านการขึ้นรูปโดยวิธีการหล่อแบบ ชุบเปอร์อีทต่าหลังผ่านการอบดีสเทบีไลเซนท์อุณหภูมิ 1000 องศาเซลเซียส เป็นเวลา 4 ชั่วโมง บริเวณโครงสร้างยูเทกติก.....	43
4.17 รูปแบบการเลี้ยวเบนของรังสีเอกซ์ของเหล็กหล่อโครงเมียมสูงที่ขึ้นรูปโดยวิธีการหล่อแบบ ชุบเปอร์อีทต่าหลังอบดีสเทบีไลเซนท์อุณหภูมิ 1000 องศาเซลเซียส เป็นเวลา 4 ชั่วโมง....	44
4.18 ผลของความแข็งของเหล็กหล่อโครงเมียมสูงหลังผ่านการอบดีสเทบีไลเซนท์อุณหภูมิ 1000 องศาเซลเซียส เป็นเวลา 4 ชั่วโมง.....	45

สารบัญรูป (ต่อ)

รูปที่	หน้า
4.19 โครงสร้างทางจุลภาคของเหล็กหล่อโครเมียมสูงที่ผ่านการอบดีสเตบีไลเซชันที่อุณหภูมิ 1000 องศาเซลเซียส เป็นเวลา 4 ชั่วโมง ร่วมกับการอบเทมเปอร์ริงที่อุณหภูมิ 500 องศาเซลเซียส.....	46
4.20 ลักษณะทางสัณฐานวิทยาของเหล็กหล่อโครเมียมสูงที่ผ่านการขึ้นรูปโดยวิธีการหล่อแบบซุปเปอร์ชีทต่าหลังผ่านการอบดีสเตบีไลเซชันที่อุณหภูมิ 1000 องศาเซลเซียส เป็นเวลา 4 ชั่วโมง ร่วมกับการอบเทมเปอร์ริงที่อุณหภูมิ 500 องศาเซลเซียส.....	48
4.21 การวัดการกระจายพลังงานของรังสีเอกซ์ (EDXS) บริเวณcarbideทุติยภูมิของเหล็กหล่อโครเมียมสูงที่ผ่านการขึ้นรูปโดยวิธีการหล่อแบบซุปเปอร์ชีทต่าหลังผ่านการอบดีสเตบีไลเซชันที่อุณหภูมิ 1000 องศาเซลเซียส เป็นเวลา 4 ชั่วโมง ร่วมกับการอบเทมเปอร์ริงที่อุณหภูมิ 500 องศาเซลเซียส เป็นเวลา 8 ชั่วโมง.....	50
4.22 สเปกตรัมของการวัดการกระจายพลังงานของรังสีเอกซ์ (EDXS) บริเวณcarbideทุติยภูมิของเหล็กหล่อโครเมียมสูงในสภาพหล่อที่ขึ้นรูปโดยวิธีการหล่อแบบซุปเปอร์ชีทต่าหลังผ่านการอบดีสเตบีไลเซชันที่อุณหภูมิ 1000 องศาเซลเซียส เป็นเวลา 4 ชั่วโมง ร่วมกับการอบเทมเปอร์ริงที่อุณหภูมิ 500 องศาเซลเซียส เป็นเวลา 8 ชั่วโมง.....	50
4.23 รูปแบบการเลี้ยวเบนของรังสีเอกซ์ของเหล็กหล่อโครเมียมสูงที่ขึ้นรูปโดยวิธีการหล่อแบบซุปเปอร์ชีทต่า หลังผ่านการอบดีสเตบีไลเซชันที่อุณหภูมิ 1000 องศาเซลเซียส เป็นเวลา 4 ชั่วโมง ร่วมกับอบเทมเปอร์ริงที่อุณหภูมิ 500 องศาเซลเซียส เป็นเวลา 4, 8 และ 12 ชั่วโมง.	52
4.24 ผลของความแข็งของเหล็กหล่อโครเมียมสูงหลังผ่านการอบดีสเตบีไลเซชันที่อุณหภูมิ 1000 องศาเซลเซียส เป็นเวลา 4 ชั่วโมง และอบเทมเปอร์ริงที่อุณหภูมิ 500 องศาเซลเซียส เป็นเวลา 4, 8 และ 12 ชั่วโมง.....	53

สารบัญสัญลักษณ์ และอักษรย่อ

- AC = สภาพหล่อ
- D = อบดีสเตบีไลเซ็น ที่อุณหภูมิ 1,000 องศาเซลเซียส เป็นเวลา 4 ชั่วโมง
- D-4 = อบดีสเตบีไลเซ็น ที่อุณหภูมิ 1,000 องศาเซลเซียส เป็นเวลา 4 ชั่วโมง และอบเพิ่ม-
เรื่องที่อุณหภูมิ 500 องศาเซลเซียส เป็นเวลา 4 ชั่วโมง
- D-8 = อบดีสเตบีไลเซ็น ที่อุณหภูมิ 1,000 องศาเซลเซียส เป็นเวลา 4 ชั่วโมง และอบเพิ่ม-
เรื่องที่อุณหภูมิ 500 องศาเซลเซียส เป็นเวลา 8 ชั่วโมง
- D-12 = อบดีสเตบีไลเซ็น ที่อุณหภูมิ 1,000 องศาเซลเซียส เป็นเวลา 4 ชั่วโมง และอบเพิ่ม-
เรื่องที่อุณหภูมิ 500 องศาเซลเซียส เป็นเวลา 12 ชั่วโมง
- UBE = บริษัท อุเบะอินดัสทรีส์



บทที่ 1

บทนำ

1.1 ความเป็นมา และความสำคัญของโครงงาน

เหล็กหล่อโครงเมียมสูงเป็นเหล็กหล่อที่มีสมบัติทางานต่อการเสียดสี และการกัดกร่อนในประเทศไทยได้มีการใช้เหล็กหล่อโครงเมียมสูงผลิตเป็นปั๊มหอยโข่งสำหรับสูบสารเหลวขึ้นที่เป็นน้ำดินในอุตสาหกรรมการผลิตสังกะสี ซึ่งแต่เดิมจะนำเข้าจากต่างประเทศทำให้ต้นทุนในการผลิตสูง ดังนั้น โรงงานผลิตสังกะสีจึงต้องการลดต้นทุนในการผลิต โดยใช้ปั๊มหอยโข่งที่ผลิตขึ้นภายในประเทศ ที่ผลิตจากเหล็กหล่อโครงเมียมสูงร้อยละ 25 โดยน้ำหนัก ในสภาพหล่อ จากการนำไปใช้งาน พบร้า ปั๊มหอยโข่ง มีอายุการใช้งานเพียง 1 สัปดาห์ เนื่องจากสารเหลวขันประกอบด้วยอนุภาคที่แข็ง และกรดซัลฟูริกที่ใช้ในขบวนการแยกแร่สังกะสี ถึงแม้ว่าเหล็กหล่อโครงเมียมสูงจะมีการใบด์ที่มีความแข็งสูง แต่สมบัติความด้านทางานการกัดกร่อน และการเสียดสีจะมาก หรือน้อยขึ้นอยู่กับโครงสร้างพื้น ถ้าการใบด์ถูกห่อหุ้มด้วยโครงสร้างพื้นที่มีความแข็งตัว ก็จะทำให้การใบด์หลุดออกได้ง่ายในระหว่างการใช้งาน ซึ่งวิธีการปรับปรุงสมบัติของเหล็กหล่อโครงเมียมสูง คือกรรมวิธีทางความร้อน และการเติมธาตุ (มนัส, 2543)

โดยทั่วไปเหล็กหล่อโครงเมียมสูงจะนิยมขึ้นรูปด้วยการหล่อแบบดั้งเดิมซึ่งโครงสร้างประกอบด้วยเดนไตรท์ที่ส่งผลให้สมบัติทางกลไม่ดี ในปัจจุบันมีวิธีการหล่อสมัยใหม่ที่น่าสนใจ คือการหล่อแบบกึ่งแข็ง ที่ให้โครงสร้างมีลักษณะค่อนข้างกลมไม่เป็นเดนไตรท์ ซึ่งจะทำให้ชิ้นงานมีสมบัติทางกลดีขึ้น (Poolthong et al., 2004)

ดังนั้นโครงงานนี้มีวัตถุประสงค์ เพื่อศึกษาผลของกรรมวิธีทางความร้อนต่อโครงสร้างทางจุลภาค และสมบัติทางด้านความแข็งของเหล็กหล่อโครงเมียมสูงร้อยละ 25 โดยน้ำหนัก ที่ขึ้นรูปโดยวิธีการหล่อแบบดั้งเดิมเทียบกับการหล่อแบบชุบเปอร์ชีทต์ และแบบบรรเทาหล่อเย็น จากการศึกษาโครงงานวิจัยนี้จะก่อให้เกิดความรู้ที่เป็นประโยชน์ต่ออุตสาหกรรมงานหล่อโลหะภายในประเทศไทยรวมทั้งอุตสาหกรรมเหมืองแร่ และอุตสาหกรรมอื่นๆ ที่เกี่ยวข้อง เพื่อเพิ่มประสิทธิภาพของผลิตภัณฑ์ และลดต้นทุนการผลิต

1.2 วัตถุประสงค์ของโครงงาน

เพื่อศึกษา และเปรียบเทียบผลของกรรมวิธีทางความร้อนต่อโครงสร้างทางจุลภาค และสมบัติทางด้านความแข็งของเหล็กหล่อโครงเมียมสูงร้อยละ 25 โดยน้ำหนัก ที่ขึ้นรูปโดยวิธีการหล่อแบบดั้งเดิม, แบบชุบเปอร์ชีทต์ และแบบบรรเทาหล่อเย็น

1.3 เกณฑ์ชี้วัดผลงาน (Output)

1.3.1 โครงสร้างทางจุลภาคของเหล็กหล่อโครงเมียมสูงร้อยละ 25 โดยน้ำหนัก ที่ขึ้นรูปโดยวิธีการหล่อแบบดั้งเดิมเทียบกับการหล่อแบบชุบเปอร์อีทต์ และการหล่อแบบบรรเทหล่อเย็นทั้งก่อนและหลังผ่านกรรมวิธีทางความร้อน

1.3.2 สมบัติทางด้านความแข็งของเหล็กหล่อโครงเมียมสูงร้อยละ 25 โดยน้ำหนัก ที่ขึ้นรูปโดยวิธีการหล่อแบบดั้งเดิมเทียบกับการหล่อแบบชุบเปอร์อีทต์ และการหล่อแบบบรรเทหล่อเย็น ทั้งก่อนและหลังผ่านกรรมวิธีทางความร้อน

1.4 เกณฑ์ชี้วัดผลสำเร็จ (Outcome)

1.4.1 วิเคราะห์ความสัมพันธ์ระหว่างโครงสร้างทางจุลภาค และสมบัติทางด้านความแข็งของเหล็กหล่อโครงเมียมสูงร้อยละ 25 โดยน้ำหนัก ที่ขึ้นรูปโดยวิธีการหล่อแบบดั้งเดิม ทั้งก่อนและหลังผ่านกรรมวิธีทางความร้อน

1.4.2 วิเคราะห์ความสัมพันธ์ระหว่างโครงสร้างทางจุลภาค และสมบัติทางด้านความแข็งของเหล็กหล่อโครงเมียมสูงร้อยละ 25 โดยน้ำหนักที่ขึ้นรูปโดยวิธีการหล่อแบบชุบเปอร์อีทต์ ทั้งก่อนและหลังผ่านกรรมวิธีทางความร้อน

1.4.3 วิเคราะห์ความสัมพันธ์ระหว่างโครงสร้างทางจุลภาค และสมบัติทางด้านความแข็งของเหล็กหล่อโครงเมียมสูงร้อยละ 25 โดยน้ำหนักที่ขึ้นรูปโดยวิธีการหล่อแบบบรรเทหล่อเย็น ทั้งก่อนและหลังผ่านกรรมวิธีทางความร้อน

1.4.4 เปรียบเทียบโครงสร้างทางจุลภาค และสมบัติทางด้านความแข็งของชิ้นงานที่ขึ้นรูปโดยวิธีการหล่อแบบดั้งเดิมเทียบกับการหล่อแบบชุบเปอร์อีทต์ และการหล่อแบบบรรเทหล่อเย็น ทั้งก่อนและหลังผ่านกรรมวิธีทางความร้อน

1.5 ขอบเขตในการดำเนินโครงการ

1.5.1 วัสดุที่ใช้ คือเหล็กหล่อโครงเมียมสูงร้อยละ 25 โดยน้ำหนักที่ผ่านการหล่อโดยวิธีการหล่อแบบดั้งเดิม แบบชุบเปอร์อีทต์ และแบบบรรเทหล่อเย็น

1.5.2 กรรมวิธีทางความร้อนดีสเตบีไลเซชัน ที่อุณหภูมิ 1000 องศาเซลเซียส ใช้เวลา 4 ชั่วโมง

1.5.3 กรรมวิธีทางความร้อนเนมเบอร์ริง ที่อุณหภูมิ 500 องศาเซลเซียส ใช้เวลา 4, 8 และ 12 ชั่วโมง

1.5.4 ศึกษาสมบัติทางด้านความแข็ง

1.5.5 ศึกษาโครงสร้างทางจุลภาคด้วยกล้องจุลทรรศน์แบบแสง

1.5.6 ศึกษาโครงสร้างทางจุลภาค และลักษณะทางสัณฐานวิทยาด้วยกล้องจุลทรรศน์อิเล็กทรอนแบบส่องกราด

1.5.7 ศึกษาโครงสร้างผลึก และชนิดของการเกิดสารประกอบด้วยเทคนิคการเลี้ยวเบนของรังสีเอกซ์ โดยเครื่องเอกซเรย์ดิฟแฟร์กโทมิเตอร์

1.6 สถานที่ในการดำเนินโครงการ

อาคารปฏิบัติการวิศวกรรมอุตสาหการ คณะวิศวกรรมศาสตร์ มหาวิทยาลัยนเรศวร
ห้องปฏิบัติการภาควิชาฟิสิกส์ คณะวิทยาศาสตร์ มหาวิทยาลัยนเรศวร

1.7 ระยะเวลาในการดำเนินโครงการ

มิถุนายน 2553 – เมษายน 2554

1.8 ขั้นตอน และแผนการดำเนินโครงการ

ตารางที่ 1.1 ขั้นตอน และแผนการดำเนินการ

ลำดับ	การดำเนินงาน	พ.ศ.2553							พ.ศ.2554			
		ม.ย	ก.ค	ส.ค	ก.ย	ต.ค	พ.ย	ธ.ค	ม.ค	ก.พ	มี.ค	เม.ย
1	จัดทำข้อเสนอโครงการ	↔										
2	ศึกษาหาข้อมูล และการใช้งานของ เหล็กหล่อโครงเมียมสูง		↔									
3	ศึกษาระบบที่ทาง ความร้อนของ เหล็กหล่อโครงเมียมสูง			↔								
4	วางแผนลำดับขั้นตอน การดำเนินงาน				↔							

ตารางที่ 1.1 (ต่อ) ขั้นตอน และแผนการดำเนินการ

ลำดับ	การดำเนินงาน	พ.ศ.2553							พ.ศ.2554			
		ม.ย	ก.ค	ส.ค	ก.ย	ต.ค	พ.ย	ธ.ค	ม.ค	ก.พ	มี.ค	เม.ย
5	เตรียมชิ้นงานทดสอบ นำไปผ่านกรรมวิธีทาง ความร้อน ประกอบด้วย - อบดีสเตบิไลเซชัน - อบเทมเปอร์ เตรียมชิ้นงานเพื่อ ศึกษาโครงสร้างทาง จุลภาคลักษณะ ลักษณะทางสัณฐาน วิทยา โครงสร้าง ผลึก					↔						
6	- ศึกษาโครงสร้าง ทางจุลภาคด้วยกล้อง ^{จุลทรรศน์แบบแสง} - ศึกษาลักษณะทาง สัณฐานวิทยาด้วย ^{กล้องจุลทรรศน์} อิเล็กตรอนแบบส่อง กราด - ศึกษาโครงสร้าง ผลึกด้วยเทคนิคการ เลี้ยวเบนของรังสี เอกซ์					↔						
7	ทดสอบความแข็ง					↔						
8	วิเคราะห์ และ ^{สรุปผลการทดลอง} จัดทำรายงาน					↔						

บทที่ 2

หลักการ และทฤษฎีเบื้องต้น

2.1 เหล็กหล่อโครงเมียมสูง

เหล็กหล่อโครงเมียมสูงมีการใช้งานอย่างกว้างขวางในงานที่ต้องการความต้านทานต่อการสึกหรอ นิยมใช้ในอุตสาหกรรมเหมืองแร่ และอุตสาหกรรมชีเมนต์ เพราะเหล็กหล่อโครงเมียมสูงมีสมบัติการต้านทานการสึกหรอสูง ทำให้มีอายุการใช้งานยาวนาน โดยทั่วไปเหล็กหล่อโครงเมียมสูงจะมีการบอนระหว่างร้อยละ 2.0 – 3.0 โดยน้ำหนัก และปริมาณของโครงเมียมสูงประมาณร้อยละ 10 – 30 โดยน้ำหนัก ในปัจจุบันมีการผลิตเหล็กหล่อโครงเมียมสูงอยู่หลายเกรด แต่ที่นิยมผลิตมากที่สุด ได้แก่ เหล็กหล่อโครงเมียมสูงชนิด 2828 คือเหล็กหล่อที่มีการบอนร้อยละ 2.8 โดยน้ำหนัก และมีโครงเมียมผสมร้อยละ 28 โดยน้ำหนัก

มาตรฐานเหล็กหล่อโครงเมียมสูงที่นำมากล่าว ณ ที่นี้มีเพียงสองมาตรฐาน คือ British Standard (BS 4844) และ ASTM Standard (A 532) เหล็กหล่อโครงเมียมสูงของอังกฤษ แบ่งออกเป็น 5 เกรด แสดงในตารางที่ 2.1 มาตรฐานของเหล็กหล่อโครงเมียมสูงของอเมริกา (ASTM) แบ่งออกเป็น 6 เกรด แสดงในตารางที่ 2.2 (มนัส, 2543)

ตารางที่ 2.1 ส่วนผสม และความแข็งของเหล็กหล่อโครงเมียม (BS 4844)

Grade	Chemical Composition %								As-Cast Hardness (HB)
	C	Si max	Mn	Cr	Mo	Ni	Cu	P max	
3 A	2.4-3.0	1.0	0.5-1.5	14-17	0-2.5	0-1.0	0-1.2	0.1	450
3 B	3.0-3.6	1.0	0.5-1.5	14-17	1-3.0	0-1.0	0-1.2	0.1	500
3 C	2.2-3.0	1.0	0.5-1.5	17-22	0-3.0	0-1.5	0-1.2	0.1	450
3 D	2.4-2.8	1.0	0.5-1.5	22-18	0-1.5	0-1.0	0-1.2	0.1	400
3 E	2.8-3.2	1.0	0.5-1.5	22-28	0-1.5	0-1.5	0-1.2	0.1	400

ที่มา: มนัส (2543)

ตารางที่ 2.2 ส่วนผสมทางเคมีของเหล็กหล่อโครงเมียมสูง (ASTM A-532 1975)

Grade	Chemical Composition %				
	C	Ni (max)	Cr	Mo	Cu (max)
12 Cr	2.4-2.8	0.5	11-14	0.5-1.0	1.2
15 Cr- Mo-Lc	2.4-2.8	0.5	14-18	1.0-3.0	1.2
15 Cr- Mo-Hc	2.8-3.6	0.5	14-18	2.3-3.5	1.2
20 Cr- Mo-Lc	2.0-2.6	1.5	18-23	1.5max	1.2
20 Cr- Mo-Hc	2.6-3.2	1.5	18-23	1.0-2.0	1.2
25 Cr	2.3-3.0	1.5	23-28	1.5max	1.2

ที่มา: มนส (2543)

2.1.1 โครงสร้างของเหล็กหล่อโครงเมียมสูง

จากการศึกษาโครงสร้างยูเทกติก (Eutectic) ของเหล็กหล่อโครงเมียมสูงตั้งแต่ร้อยละ 10 – 40 โดยน้ำหนัก และส่วนผสมของเหล็กที่เป็นไฮปอยูเทกติก (Hypoeutectic), ยูเทกติก และไฮเปอร์ยูเทกติก (Hypereutectic) ของ Yasuhiro Matsubara และคณะ (1996) พบว่าโครงเมียมการใบค์ที่เป็นชนิดปฐมภูมิ (Primary) และยูเทกติกจะอยู่ในรูปของ $(Fe, Cr)_7C_3$ เป็นส่วนใหญ่ ยกเว้นในเหล็กที่มีโครงเมียมร้อยละ 10 โดยน้ำหนัก จะพบอยู่ในรูปของ $(Fe, Cr)_3C$ สำหรับโครงเมียมการใบค์ชนิดปฐมภูมิจะมีลักษณะเป็นแท่งยาว (Rod Like) และการใบค์ชนิดยูเทกติก มีลักษณะเป็นแท่งเช่นเดียวกัน จะมีขนาดเล็กคล้ายด (Fine Rod-Like) อยู่รอบๆ การใบค์ปฐมภูมิ และอยู่เป็นกลุ่ม (Colony) ซึ่งเหล็กมีปริมาณโครงเมียมสูงๆ ลักษณะของยูเทกติกการใบค์จะยิ่งมีความละเอียดเพิ่มขึ้น ถ้าการกระจายตัวของโครงเมียมการใบค์ทั้งชนิดปฐมภูมิ และยูเทกติกมีการกระจายตัวสม่ำเสมอ จะทำให้ความต้านทานต่อการสึกหรอของเหล็กหล่อโครงเมียมสูงขึ้น

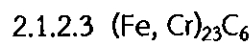
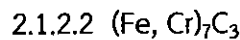
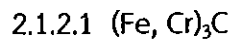
ในส่วนของโครงสร้างพื้น (Matrix) จะต้องมีความแข็งสูง ซึ่งควรที่จะเป็นโครงสร้างของมาร์เทนไซต์ หรืออาจเป็นอสเทนในต์ตอกค้าง (Retained Austenite) ถ้าชิ้นงานหล่อมีความหนามากๆ การทำให้เหล็กหล่อโครงเมียมสูงในสภาพหล่อมีโครงสร้างพื้นเป็นมาร์เทนไซต์ หรืออสเทน-ในต์จะเป็นไปได้ยาก เพราะการเย็นตัวจะช้า ทำให้โอกาสที่ได้โครงสร้างพื้นเป็นเพิร์ลไลต์มีมาก แม้จะเพิ่มปริมาณของโครงเมียมให้สูงขึ้น (มนส, 2543) (John และ บัญชา ,2542)

ในการนี้ที่ชิ้นงานมีความหนามากๆ จะสามารถทำให้เหล็กหล่อโครงเมียมสูงมีโครงสร้างพื้นเป็นมาร์เทนไซต์ หรืออสเทนในต์ ได้สองทาง คือโดยการใช้ชาตผง แผลกรรมวิธีทางความร้อน โครงสร้างพื้นของเหล็กหล่อโครงเมียมสูงควรจะเป็นแบบมาร์เทนซิติก (Martensitic Matrix) เนื่องจากโครงสร้างพื้นแบบนี้จะมีความต้านทานการขัดถู (Abrasive Resistance) สูงสุด แต่ในงานบาง

ประเภทอาจใช้โครงสร้างพื้นแบบอสเทนนิติก (Austenitic Matrix) ได้ เนื่องจากเฟสของอสเทน-ไนต์จะมีความแข็งเพิ่มขึ้นเมื่อได้รับแรงกระทำ (Pearce, 1982 และ Pearce, 1984)

2.1.2 คาร์บิดในเหล็กหล่อโครงเมียมสูง

จากการศึกษาของ Bungardt และคณะ ปรากฏโครงเมียมคาร์บิดอยู่ 4 ชนิด ได้แก่



ตารางที่ 2.3 ชนิดของโครงเมียมคาร์บิด และความแข็ง

ชนิดของโครงเมียมคาร์บิด และความแข็ง				
Type	Crystalline System	Lattice Constance	Specific Gravity	Hardness (HV)
(Fe, Cr) ₃ C	Rhombic	a = 4.52, b = 5.09, c = 6.74	7.67	1000
(Fe, Cr) ₇ C ₃	Hexagonal	a = 6.88, b = 4.54	-	-
	Rhombic	a = 4.54, b = 6.88, c = 11.94	6.92	1400
	Rhombohedral	a = 13.98, b = 4.52	-	-
(Fe, Cr) ₂₃ C ₆	F.C.C	a = 10.64	6.97	-
(Fe, Cr) ₃ C ₂	Rhombic	a = 2.82, b = 5.52, c = 11.46	6.68	-

* หมายเหตุ (Fe, Cr) สามารถเขียนแทนได้ด้วย M

ที่มา: มนส (2543)

การเกิดโครงเมียมคาร์บิดมักขึ้นอยู่กับปริมาณของการบอน และโครงเมียม แต่ในเอกสารบางฉบับจะกล่าวถึงโครงเมียมคาร์บิดเพียงแค่ 3 ชนิด ซึ่งจะไม่กล่าวถึงชนิดที่ 4 และในส่วนของชนิดที่ 3 ($M_{23}C_6$) จะมีสูตรทางเคมีที่แตกต่างกันไปเป็น M_4C โครงเมียมคาร์บิดทุกชนิดจะมีความแข็งอยู่ในเกณฑ์ที่สูงกว่ามาร์ทเทนไซต์ คือความแข็งประมาณ 1000-1800 HV₅₀ แม้ว่าความแข็งของโครงเมียม-คาร์บิดจะสูงมากก็จริง แต่สมบัติความต้านทานการสึกหรอของเหล็กจะมีมาก หรือน้อยขึ้นอยู่กับโครงสร้างพื้น ถ้าโครงสร้างพื้นไม่มีความแข็งสูงพอที่จะต้านทานการสึกหรอจะทำให้โครงเมียมคาร์บิด

ที่ถูกห่อหุ้มหลุดได้ง่ายในขณะที่ใช้งาน ทำให้การสึกหรอของเหล็กจะอยู่ในอัตราสูง ดังนั้นการศึกษาเหล็กหล่อโครงเมียมสูงจึงต้องพิจารณาร่วมไปกับโครงสร้างพื้น และรวมไปถึงกรรมวิธีทางความร้อนที่ทำให้โครงสร้างพื้นที่มีความแข็งสูง และด้านทานการสึกหรอที่สูงด้วย (มนส, 2543)

2.1.3 ยูเทกติกการ์เบิต

ชนิด และรูปร่างของยูเทกติกการ์เบิตในเหล็กหล่อโครงเมียมสูงจะขึ้นอยู่กับส่วนผสมทางเคมี และอัตราการเย็นตัว จากการศึกษาของ Powell และ Laird (1992) พบว่าการเพิ่มปริมาณโครงเมียม และคาร์บอนจะทำให้ยูเทกติกการ์เบิต M_3C ซึ่งมีลักษณะที่ต่อเนื่องเปลี่ยนเป็นชนิด M_7C_3 ที่ไม่ต่อเนื่อง เป็นผลให้ความเหนียวสูงขึ้น

การที่จะได้โครงสร้างพื้น และการรีบัดเป็นแบบใดนั้นจะขึ้นอยู่กับปริมาณคาร์บอน และโครงเมียมเป็นสำคัญ ดังนี้

2.1.3.1 กรณีที่มีโครงเมียมอยู่ต่ำกว่าร้อยละ 6 โดยน้ำหนัก ยูเทกติกการ์เบิตที่เกิดขึ้นเป็น M_3C และมีความต่อเนื่อง

2.1.3.2 กรณีที่มีโครงเมียมอยู่ในช่วงร้อยละ 8-12 โดยน้ำหนัก ยูเทกติกการ์เบิต M_3C จะมีความต่อเนื่องน้อยลง และมียูเทกติกการ์เบิต M_7C_3 เริ่มเกิดขึ้นปนกับ M_3C ในลักษณะ M_3C ล้อมรอบ M_7C_3

2.1.3.3 กรณีที่มีโครงเมียมมากกว่าร้อยละ 12 โดยน้ำหนัก จะเกิดยูเทกติกการ์เบิต M_7C_3 หรือยูเทกติกการ์เบิตที่มีลักษณะเป็นเส้น ทำให้ลักษณะที่ต่อเนื่องนั้นลดน้อยลง และมีความแข็ง 1600 HV ในระหว่างการแข็งตัวของเหล็กหล่อชนิดนี้ ออสเทนไนต์อาจไม่เปลี่ยนแปลง หรือออสเทนไนต์บางส่วน หรือหั้งหมดอาจเปลี่ยนไปเป็นมาร์เทนไซต์ หรือเฟอร์ไรต์ และโครงเมียมการรีบัดที่ละเอียด (โครงเมียมการรีบัดที่เกิดจากปฏิกิริยา yutetik โดยได้โครงสร้างเพรลไลต์ ที่มีเฟอร์ไรต์ และซิเมนไทต์) ทั้งนี้โครงสร้างที่ได้จะขึ้นอยู่กับการเย็นตัว และส่วนผสม รวมทั้งขนาดของชิ้นงานต้องมีความหนาไม่มากเกินไป ซึ่งอาจทำให้โครงสร้างอสเทนไนต์แตกหัก (Pearce, 1999) (Durman and Elwell, 1985)

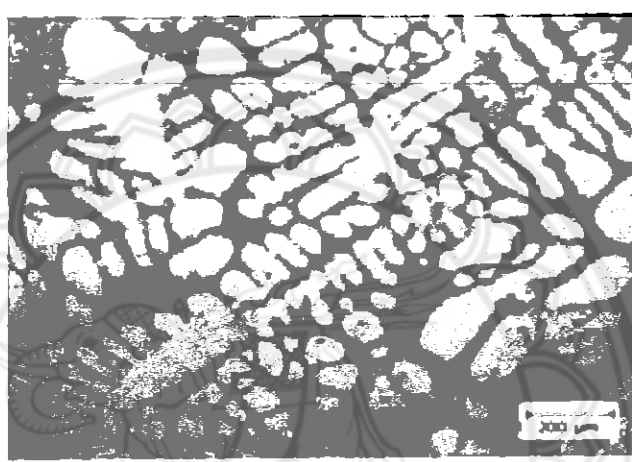
2.1.4 คาร์บิดทุติยภูมิ

เหล็กหล่อโครงเมียมสูงที่มีโครงสร้างเป็นแบบอสเทนไนต์มีข้อจำกัด คือมีความต้านทานการสึกหรอต่ำ ซึ่งสามารถปรับปรุงสมบัติโดยการอบดีสเตบิไลเซชัน ทำให้เกิดการรีบัดทุติยภูมิ ตกตะกอนในโครงสร้างพื้นของอสเทนไนต์ ซึ่งทำให้เหล็กหล่อโครงเมียมสูงที่มีโครงสร้างเป็นแบบอสเทนไนต์มีความต้านทานการสึกหรอที่สูงขึ้น ชนิดของการรีบัดทุติยภูมิขึ้นอยู่กับส่วนผสมทางเคมี และอุณหภูมิในการอบดีสเตบิไลเซชัน ในเหล็กหล่อที่มีโครงเมียมร้อยละ 25-30 โดยน้ำหนัก จะมีการรีบัดทุติยภูมิเป็นชนิด $M_{23}C_6$ ซึ่งมีลักษณะเป็นแท่งขนาดเล็ก และต่อเชื่อมกัน ส่วนเหล็กหล่อที่มีโครงเมียมร้อยละ 15-20 โดยน้ำหนัก จะมีการรีบัดทุติยภูมิเป็นชนิด M_6C และ M_7C_3 ที่มีลักษณะเป็น

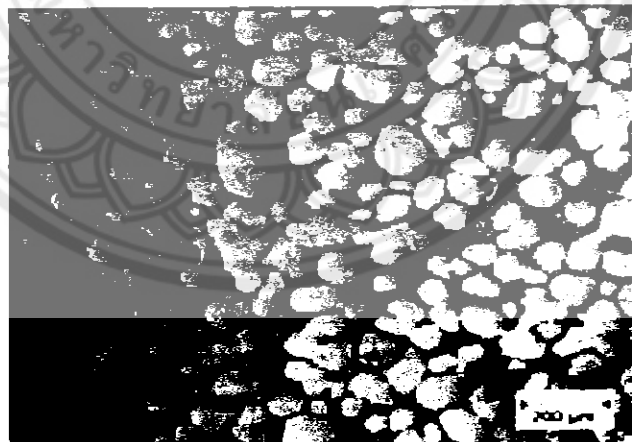
แห่ง ส่วนเหล็กหล่อที่มีโครงเมียมต่าจะมีคาร์บิดทุติยภูมิเป็นชนิด M_3C ที่มีรูปร่างเป็นแผ่น หรือเข็ม (Collins, 1988 และ Wiengmoon, 2005)

2.2 กระบวนการหล่อโลหะกึ่งแข็ง

กระบวนการหล่อโลหะแบบดั้งเดิม ทำให้มีโครงสร้างเกรนที่เป็นเดนไดร์ท (Dendrite) แสดงดังรูปที่ 2.1 ก) ซึ่งต่างกับการหล่อโลหะแบบกึ่งแข็งที่ทำให้มีโครงสร้างเกรนที่ไม่เป็นเดนไดร์ทโดยจะทำให้โลหะมีโครงสร้างเกรนแบบก้อนกลม (Globular Structure) แสดงดังรูปที่ 2.1 ข)



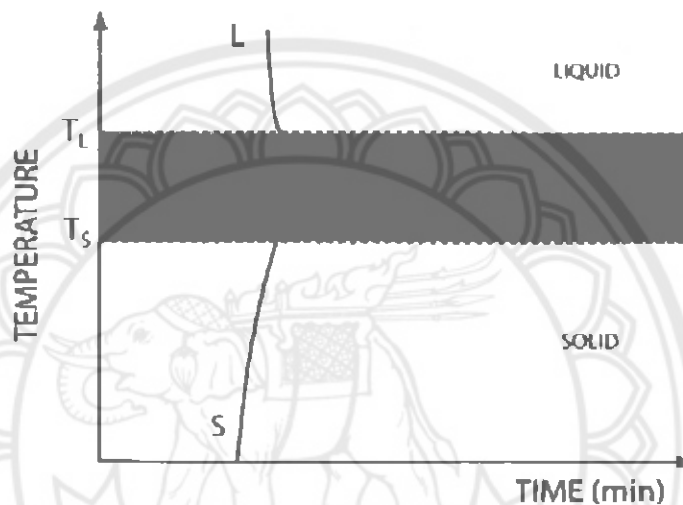
ก)



ข)

รูปที่ 2.1 โครงสร้างทางจุลภาคของอะลูมิเนียมเกรด A356
 ก) ขั้นรูปโดยวิธีหล่อแบบดั้งเดิม
 ข) ขั้นรูปโดยวิธีหล่อแบบกึ่งแข็ง
 ที่มา: รอนภูวน และคณะ (2552)

กระบวนการขึ้นรูปโลหะกึ่งแข็ง เป็นเทคโนโลยีสำหรับผลิตชิ้นส่วนทางวิศวกรรมเพื่อให้ได้ชิ้นงานที่มีขนาดใกล้เคียงกับโครงสร้างสุดท้าย (Near Net Shape) โดยในการผลิตโลหะสมนั้นจะผลิตอยู่ในช่วงของอุณหภูมิระหว่างเฟสของเหลว และเฟสของแข็ง แสดงดังรูปที่ 2.2 เพื่อยับยั้งการเกิดโครงสร้างเดนไครท์ โดยจะใช้พัฒนาระบบการให้เหลวเป็นตัวกำหนดโครงสร้างทางจุลภาค ซึ่งสมบัติทางด้านการให้เหลวของน้ำโลหะในกระบวนการขึ้นรูปโลหะกึ่งแข็งนี้ จะส่งผลให้รูปร่างชิ้นงานที่มีขนาดใกล้เคียงโครงสร้างสุดท้าย และสมบัติทางกลที่ดีขึ้น เนื่องจากโครงสร้างทางจุลภาคที่ได้มีความกลม (Poolthong, 2004)



รูปที่ 2.2 ช่วงของอุณหภูมิกึ่งแข็ง เพื่อใช้ในกระบวนการขึ้นรูปโลหะกึ่งแข็ง
ที่มา: Figueredo (2001)

สมบัติของโลหะกึ่งแข็งมีหลายประการ เช่น มีอุณหภูมิที่ต่ำกว่าโลหะเหลว โลหะเริ่มแข็งตัวบางส่วนแล้วขณะที่ไม่พิมพ์ มีความคันบนขณะไหลต่ำกว่าโลหะที่แข็งตัวแล้ว ทำให้ไม่ต้องใช้แรงในการขึ้นรูปมาก สามารถนำไปประยุกต์ใช้ได้อย่างหลากหลายในกระบวนการผลิต เช่น ลดการเกิดของเสียจากปฏิกรณ์ระหว่างออกแบบชิ้นงานในขั้นตอนการหล่อโลหะลงในแบบ และลดการเกิดโพรงหดตัวอีกด้วย ยังช่วยยืดอายุการใช้งานของแม่พิมพ์ด้วย

2.2.1 ข้อดี-ข้อเสียของกระบวนการขึ้นรูปโลหะกึ่งแข็ง

กระบวนการขึ้นรูปโลหะกึ่งแข็งมีข้อดี และข้อเสียของกระบวนการขึ้นรูปดังกล่าว ดังต่อไปนี้

2.2.1.1 ข้อดี

ก. ชิ้นงานมีขนาดใกล้เคียงกับโครงสร้างสุดท้าย

ช. โครงสร้างทางจุลภาคมีความกลม และละเอียด โดยโครงสร้างทางจุลภาคที่มีความกลมนี้มีผลทางด้านการปรับปรุงสมบัติทางกล ความแข็ง ความแข็งแรง และการยึดตัว

ค. ลดความเสียหายของแม่พิมพ์อันเนื่องมาจากความร้อน อีกทั้งยังเพิ่มอายุการใช้งานของแม่พิมพ์

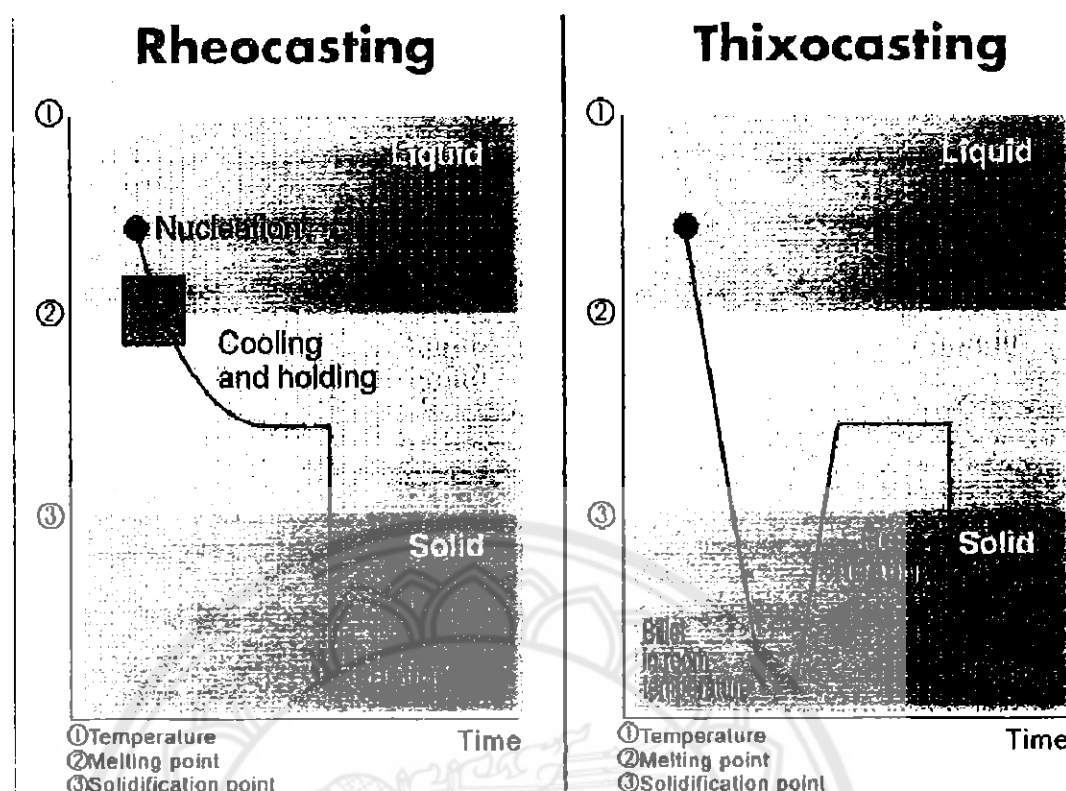
- ก. ลดค่าความผิด (Tolerance) ของแม่พิมพ์ และชิ้นส่วน
- จ. ลดพลังงานในการขึ้นรูปชิ้นงาน

2.2.1.2 ข้อเสีย

ก. ยกที่จะกำจัดรูพรุนภายในชิ้นงานขณะทำการหลอม เนื่องจากน้ำโลหะมีความหนืดสูง

ข. โครงสร้างไม่เท่ากัน (Inhomogeneity) ทั่วทั้งชิ้นงาน

กระบวนการขึ้นรูปโลหะกึงแข็งแบ่งออกเป็น 2 กระบวนการ คือกระบวนการ Rheocasting แสดงดังรูปที่ 2.3 รูปทางด้านซ้าย และกระบวนการ Thixocasting แสดงดังรูปที่ 2.3 รูปทางด้านขวา ซึ่งทั้ง 2 วิธีการนี้แตกต่างกันที่กระบวนการ Thixocasting เป็นการผลิต Feedstock ที่มีโครงสร้างที่เป็นลักษณะเกรนกลมขึ้นมาก่อน จากนั้นจึงทำการให้ความร้อนอีครั้ง (Reheating) กับ Feedstock และทำการขึ้นรูป ส่วนกระบวนการ Rheocasting เป็นการผลิตที่ปรับเปลี่ยนโครงสร้างให้มีลักษณะเกรนกลม โดยจะต้องสร้างอนุภาคนี้ในปริมาณที่พอเหมาะในขณะที่โลหะกำลังแข็งตัว ซึ่งสามารถทำได้หลายวิธี แต่ส่วนใหญ่แล้วก็จะมีการทำให้เกิดการไหลเคลื่อนที่ของน้ำโลหะ ในขณะที่โลหะกำลังแข็งตัว เพื่อให้มีการแตกตัวของเดนไดร์ท หรือมีการเกิดนิวเคลียสมากขึ้น นอกจากการใช้การไหลเคลื่อนที่ของน้ำโลหะ ขณะที่โลหะกำลังแข็งตัวแล้ว การใส่สารที่เพิ่มการเกิดนิวเคลียส หรือการอบโลหะที่อุณหภูมิในช่วงกึ่งเหลวเป็นเวลานาน ก็ทำให้เกิดโลหะกึงแข็งได้ เช่นกัน วิธีนี้จะมีค่าใช้จ่ายต่ำกว่ากระบวนการ Thixocasting (Poolthong, 2004)



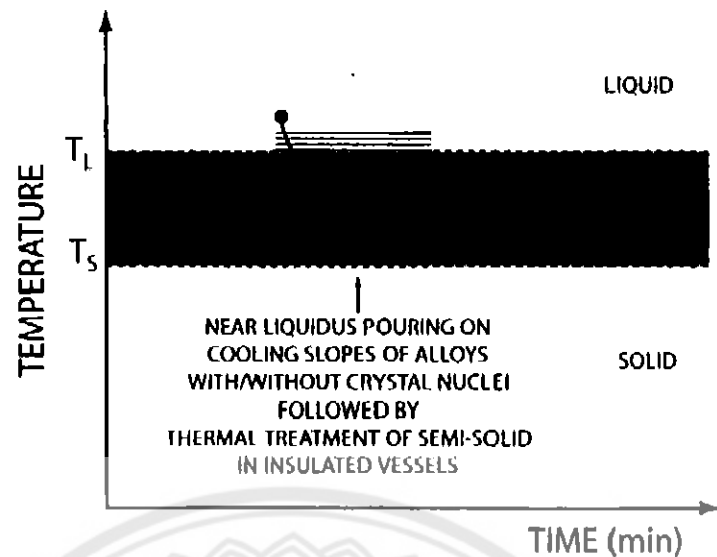
รูปที่ 2.3 การเปรียบเทียบกระบวนการ Rheocasting และ Thixocasting

ที่มา: Poolthong (2004)

กระบวนการ Rheocasting สามารถแบ่งวิธีการทำให้ได้โครงสร้างทางจุลภาคที่มีลักษณะเกรนกลมได้หลายวิธี เช่น การวนด้วยแรงทางกล (Mechanical Stirring) การวนด้วยแรงแม่เหล็กไฟฟ้า (Magneto Hydrodynamic Stirring Processes) การเพ่งน้ำแรงเทหล่อเย็น (Cooling Slope) การสร้างนิวเคลียสโดยใช้แท่งโลหะ (New Rheocasting Process) และกระบวนการอื่นๆ (Poolthong, 2004)

2.2.2 กระบวนการหล่อโลหะกึ่งแข็งแบบแรงเทหล่อเย็น

การขึ้นรูปโลหะกึ่งแข็งด้วยเทคนิคแรงเทหล่อเย็น เป็นกระบวนการที่อยู่ในส่วนหนึ่งของวิธี New Rheocasting Process ซึ่งได้รับการพัฒนาจากโรงงาน UBE ในประเทศญี่ปุ่น โดยเห็นได้ชัดผ่านแรงเทหล่อเย็นที่อุณหภูมิเหนือจุดหลอมเหลวเพียงเล็กน้อย โดยกระบวนการดังกล่าวจะแสดงช่วงอุณหภูมิกึ่งแข็งที่ใช้ในการเพ่งน้ำแรงเทห แสดงดังรูปที่ 2.4



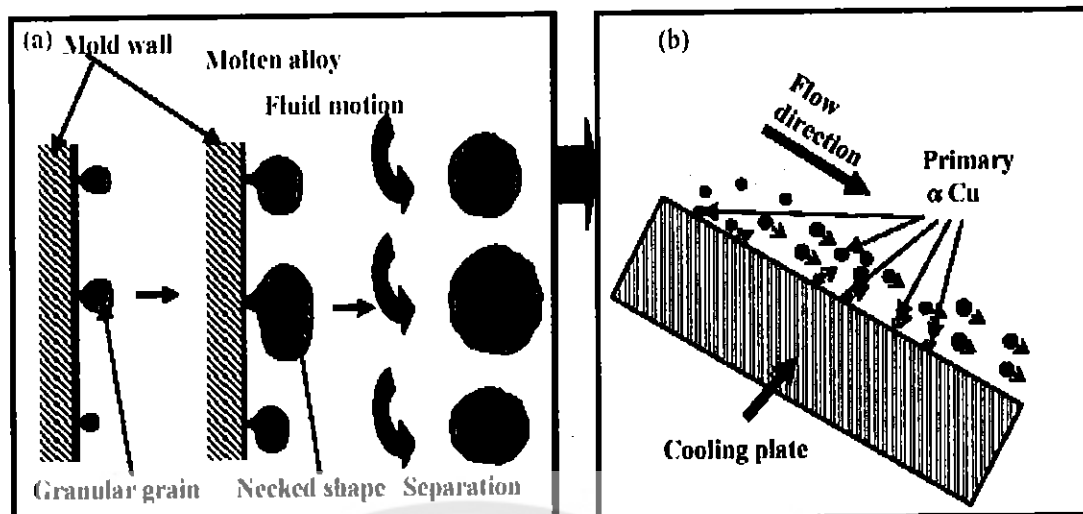
รูปที่ 2.4 ช่วงอุณหภูมิกึ่งแข็งที่ใช้ในการเทผ่านร่างเห

ที่มา: Poolthong (2004)

โดยวิธีการขึ้นรูปโลหะกึ่งแข็งด้วยการเทผ่านร่างเหหล่อเย็นนี้ มีลำดับขั้นตอนในการพอร์แมตัวเป็นโลหะกึ่งแข็ง ดังต่อไปนี้

2.2.2.1 โลหะหลอมเหลวที่มีอุณหภูมิสูงกว่าจุดหลอมเหลวเล็กน้อย จากนั้นจึงเทผ่านร่างเหหล่อเย็น

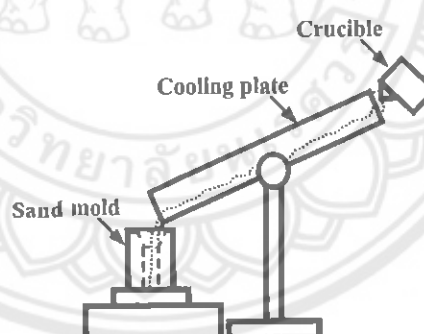
2.2.2.2 เมื่อโลหะหลอมเหลวถูกเทลงบนร่างเห ที่บริเวณระหว่างผิวสัมผัสของร่างเห กับน้ำโลหะหลอมเหลวความร้อนจะถูกดึงให้กับผิวของร่างเห ทำให้เกิดนิวเคลียสขนาดเล็กในน้ำโลหะหลอมเหลวจำนวนมาก ส่วนของโลหะหลอมเหลวที่ไม่ติดกับผิวของร่างเหจะมีอุณหภูมิสูง จึงเกิดการโตของเด่นไดร์ทในทิศทางไปสู่ที่มีอุณหภูมิสูง แต่ด้วยการให้หลังของโลหะหลอมเหลว ทำให้เกิดความเด่นไปกระทำกับเด่นไดร์ท จนทำให้เกิดการแตกหัก และการให้หลังของโลหะหลอมเหลวที่ยังจะทำให้เกิดการกลับไปหลอมเหลวอีกรั้ง พร้อมทั้งเกิดนิวเคลียสใหม่ควบคู่กันไป ซึ่งจะเกิดซ้ำไปซ้ำ มาจึงทำให้เกิดการกระจายความร้อน และการกระจายของนิวเคลียส ซึ่งส่งผลให้โครงสร้างที่ได้มีการกระจายตัวที่ดี และมีการเกิดเด่นไดร์ทที่น้อยลงจากนั้นจึงลงสู่โมล แสดงดังรูปที่ 2.5 (Motegi and Tanabe, 2004)



รูปที่ 2.5 การแข็งตัวของน้ำโลหะเมื่อเท่านร่างเหลวเย็น

ที่มา: Motegi and Tanabe (2004)

อย่างไรก็ตามการเทในขณะที่อุณหภูมิต่ำจะทำให้มีสัดส่วนของเฟสของแข็งสูง ทำให้การแข็งตัวของเฟสของแข็งรวดเร็วตามไปด้วย และทำให้อาจเกิดโพรงอันเนื่องมาจากการที่ของแข็งแข็งตัวก่อนที่โลหะหลอมเหลวเข้าไปเติมในช่องว่าง ซึ่งจะเกิดจากน้ำโลหะม้วนตัวไปจับกับก๊าซ (Gas Entrapment) และจากการไหลกลึง (Slurry Flow) บนร่างเหลว (Motegi and Tanabe, 2004)



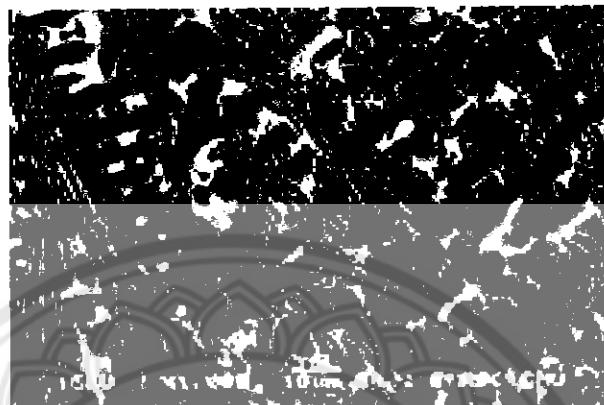
รูปที่ 2.6 กระบวนการหล่อโลหะกึ่งแข็งแบบร่างเหลวเย็น

ที่มา: ณัฐพล และคณะ (2550)

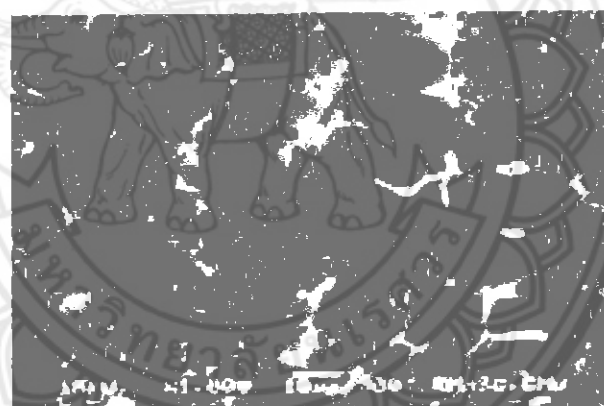
2.2.3 ลักษณะทางสัณฐานวิทยาของเหล็กหล่อโครงเมียมสูงที่ผ่านการหล่อแบบดั้งเดิม และแบบกึ่งแข็ง โดยวิธีการหล่อแบบร่างเหลวเย็น

ลักษณะทางสัณฐานวิทยาของโครงสร้างเหล็กหล่อจากภาพถ่ายจุลทรรศน์อิเล็กตรอน-แบบส่องกราด พบօօສທենໃນຕປჟუმეუმ ໃນเหล็กหล่อแบบดั้งเดิมที่มีลักษณะเป็นเดนไดร์ท (Dendrite) ขณะที่การหล่อแบบกึ่งแข็งพบօօສທենໃນຕที่มีลักษณะทรงกลม แสดงดังรูปที่ 2.7 ก) และ ข) เกิดจากการที่น้ำโลหะแข็งตัวบางส่วน และได้รับแรงเฉือนจากการไหลขณะไหลผ่านร่างเหลว

หล่อเย็น หลังจากการอบคืนตัว อบดีสเตบีไลเซชัน และอบดีสเตบีไลเซชันร่วมกับการอบคืนตัว เกิด การใบด์ทุติยภูมิภายในอสเทนในต์ปฐมภูมิ แสดงดังรูปที่ 2.7 ค), ง) และ จ) และสังเกตพบว่า โครงสร้างยูเทกติก ในกรณีหล่อแบบกึ่งแข็งนี้มีลักษณะเป็นกลุ่มโตออกจากศูนย์กลางตามแนวรั้วซึ่ง ตั้งที่วงกลม แสดงดังรูปที่ 2.7 จ) (ณัฐพล และคณะ, 2550)



(ก)



(ข)

รูปที่ 2.7 ภาพจาก SEM ของเหล็กหล่อโครงเมียมร้อยละ 18 โดยน้ำหนัก

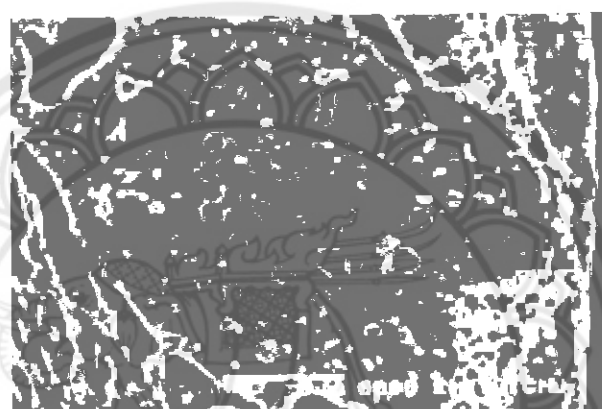
ก) สภาพหลังการหล่อแบบดั้งเดิม

ข) สภาพหลังการหล่อแบบกึ่งแข็ง

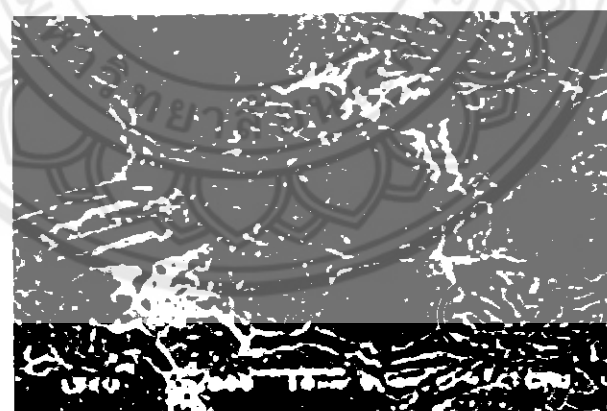
ที่มา: ณัฐพล และคณะ (2550)



(ก)



(บ)



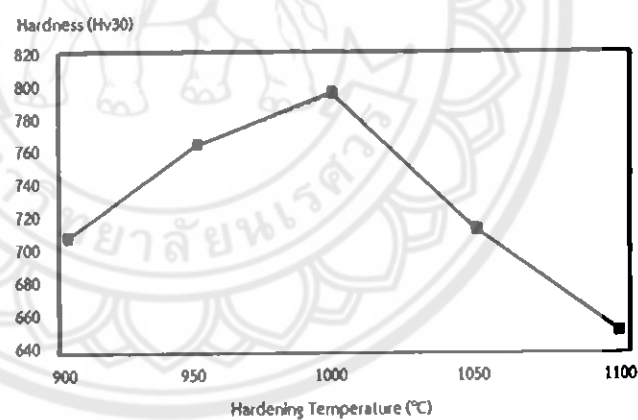
(จ)

รูปที่ 2.7 (ต่อ) ภาพจาก SEM ของเหล็กหล่อโครงเมียมร้อยละ 18 โดยน้ำหนัก
 ก) หลังการอบคีนตัวของการหล่อแบบกึงแข็ง
 ง) หลังการดีสเตบิไลเซชันของการหล่อแบบกึงแข็ง
 จ) หลังการดีสเตบิไลเซชันร่วมกับการอบคีนตัวของการหล่อแบบ
 กึงแข็ง
 ที่มา: ณัฐพล และคณะ (2550)

2.3 กรรมวิธีทางความร้อน

2.3.1 การอบดีสเตบีไลเซชัน (Destabilization)

เหล็กหล่อโครงเมี่ยมสูงจะอบที่อุณหภูมิ 950 - 1050 องศาเซลเซียส เพื่อให้คาร์บอน และโครงเมี่ยมที่ละลายอยู่ในออสเทนในต์ (ในสภาพหล่อ) ในลักษณะเกินจุดอิ่มตัวที่ออสเทนในต์จะยอมให้ละลายได้ การอบขึ้นนี้จะเรียกว่า ดีสเตบีไลเซชัน ทำให้คาร์บอน และโครงเมี่ยมแยกตัวออกมาก รวมกันเป็นคาร์ไบเดต M_7C_3 เป็นการลดปริมาณคาร์บอนในออสเทนในต์ทำให้ความสามารถในการซึบแข็งของออสเทนในต์เพิ่มขึ้น กล่าวคือการลดปริมาณคาร์บอนในออสเทนในต์ทำให้มีโอกาสเกิดเฟสเพิร์ลไลต์น้อยลง มีโอกาสเกิดเฟสมาร์เทนไซต์มากขึ้น หลังจากการอบดีสเตบีไลเซชันความแข็งมีค่าเพิ่มขึ้น ผลของอุณหภูมิในการอบดีสเตบีไลเซชันต่อความแข็งของเหล็กหล่อโครงเมี่ยมสูงแสดงดังรูปที่ 2.8 เมื่อจากการทดลองของคาร์ไบเดตทุติยภูมิในโครงสร้างมาร์เทนไซต์ โดยความแข็งมีค่าสูงสุดเมื่ออบดีสเตบีไลเซชันที่อุณหภูมิ 1000 องศาเซลเซียส เป็นเวลา 4 ชั่วโมง ซึ่งงานหล่ออาจได้รับการอบอ่อนก่อนการอบดีสเตบีไลเซชัน ซึ่งทำได้โดยการอบชิ้นงานที่อุณหภูมิ 740 - 780 องศาเซลเซียส เป็นเวลา 4 - 8 ชั่วโมง แล้วปล่อยให้ชิ้นงานเย็นตัวในเตา จนกระทั่งอุณหภูมิต่ำกว่า 300 องศาเซลเซียส การอบอ่อนจะทำให้โครงสร้างพื้นที่อ่อน เนื่องจากโครงสร้างพื้นประกอบด้วยเพิร์ลลิติกคาร์ไบเดต และเฟอร์ไรต์ (มนัส, 2543) (John และ บัญชา, 2542)



รูปที่ 2.8 ผลของอุณหภูมิในการอบดีสเตบีไลเซชันต่อค่าความแข็งของเหล็กหล่อที่ผ่านการอบร้อยละ 2 โดยน้ำหนัก โครงเมี่ยมร้อยละ 20 โดยน้ำหนัก และไมลินดินัมร้อยละ 2 โดยน้ำหนัก

ที่มา: John และ บัญชา (2542)

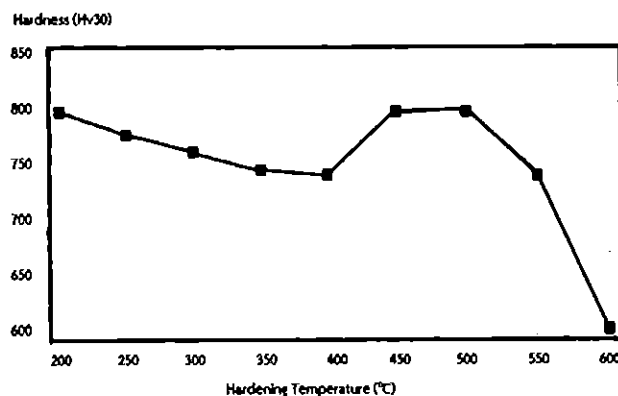
การเย็นตัวด้วยอากาศ (Air Quenching) ของงานอบจะต้องทำอย่างรวดเร็ว และทันที จากระดับอุณหภูมิของการอบดีสเตบีไลเซชัน เพื่อป้องกันการเปลี่ยนโครงสร้างเป็นเพิร์ลไลต์ ซึ่งอัตราเร็วในการเย็นตัวจากการอบชุบนั้นจะขึ้นอยู่กับปริมาณโลหะผสมที่ใช้ ซึ่งจะต้องมีความสมดุลกัน

การเย็นตัวในอากาศสามารถเร่งให้เกิดเร็วขึ้นด้วยการใช้พัดลม และการพ่นละอองน้ำ แต่สิ่งที่สำคัญคือจะต้องเป็นการเย็นสม่ำเสมอทั่วทั้งชิ้นงาน และจากทุกทิศทางของงานหล่อเพื่อลดความเครื่องค้าง และให้เกิดความเคนน้อยที่สุด

การควบคุมส่วนผสมทางเคมีนั้นมีความจำเป็นอย่างยิ่งเพื่อให้ชิ้นส่วนที่มีความหนามีความสามารถในการขับแข็งได้เพียงพอ อย่างไรก็ตาม การเติมธาตุผสมบางอย่างมากเกินไป (Over Alloying) เช่น โมลิบดินัม, ทองแดง, แมงกานีส หรือ นิกเกิล จะทำให้ระยะเวลาในการอบดีสเทบีไลเซนสูงขึ้น และทำให้ปริมาณօอสเทนในต์ทกค้างสูงขึ้น ซึ่งจะทำให้สมรรถนะด้านความต้านทานการสึกหรือด้อยลง สำหรับการเติมธาตุผสมน้อยเกินไป (Under Alloying) อาจทำให้เกิดเพริลไลต์ หั่งในชิ้นงานที่ผ่านการอบขึ้น หรือชิ้นงานหล่อที่ต้องการให้มีโครงสร้างพื้นแบบօอสเทนนิติก (มนัส, 2543) (John และบัญชา, 2542)

2.3.2 การอบคืนตัว (Tempering)

หลังจากการอบดีสเทบีไลเซนแล้วย่อมมีความเคนภายใน ชิ้นงานจะถูกนำเข้าอบคืนทัวที่อุณหภูมิ 550 องศาเซลเซียส เพื่อควบคุมสมบัติความแข็งที่เกิดขึ้นในช่วงสุดท้ายก่อนที่จะนำชิ้นงานหล่อเข้าไปใช้งาน และลดความเคนภายใน ลดระดับของการเกิดօอสเทนในต์ทกค้าง โดยจะมีการใช้การอบคืนตัวเพียงครั้งเดียว หรือสองครั้งเพื่อลดปริมาณօอสเทนในต์ทกค้างให้ต่ำกว่าร้อยละ 5–10 เพื่อหลีกเลี่ยงการหลุดล่อนของผิวชิ้นงานที่เกิดจากการเปลี่ยนเฟส ซึ่งอาจเกิดขึ้นในระหว่างการใช้งานที่ต้องรับแรงกระแทก จะทำให้ออสเทนในต์ทกค้างที่ผิวของชิ้นงานเปลี่ยนไปเป็นมาร์เกนไซต์ที่เกิดจากความเคน ซึ่งในการเปลี่ยนเฟสนี้ ปริมาตรของผิวจะขยายตัวประมาณร้อยละ 4 ทำให้บริเวณดังกล่าวมีโอกาสที่จะเกิดการหลุดออกได้ง่าย ในช่วงการอบคืนตัว ควรใช้เตาอบที่มีการตัดตอนภายในบริเวณของօอสเทนในต์ที่เหลืออยู่ ซึ่งจะช่วยให้สามารถที่จะเปลี่ยนไปเป็นมาร์เกนไซต์ได้ในช่วงที่เหล็กหล่อโครงเมียนสูงเย็นตัว ถ้าระดับของօอสเทนในต์ที่ตกค้างมีค่าสูง (ร้อยละ 30 ขึ้นไป) และอุณหภูมิที่ใช้อบคืนตัวเพิ่มขึ้นสูงเกินไป อาจทำให้โครงสร้างօอสเทนในต์เกิดการเปลี่ยนไปเป็นโครงสร้างเนื้อผสมของเพริลไลต์ และเพอร์ไตร์ พิเศษด้วยการตัดตอนของ $M_{23}C_6$ ซึ่งจะทำให้ความแข็ง และความต้านทานการเสียดสีลดลง ผลของอุณหภูมิในกระบวนการอบคืนตัวต่อความแข็งของเหล็กหล่อโครงเมียนสูง แสดงดังรูปที่ 2.9 ดังนั้นควรมีการควบคุมอย่างใกล้ชิดทั้ง อุณหภูมิ และระยะเวลาซึ่งเป็นเรื่องสำคัญอย่างยิ่งในระหว่างการอบคืนตัว ระยะเวลาการอบคืนตัวโดยปกติ คือ 4 ชั่วโมง จะมีช่วงที่ให้ผลต่อการขับแข็งดีที่สุด คือ 450 – 550 องศาเซลเซียส ถ้าระยะเวลาการอบคืนตัวนานเกินไปความแข็งจะลดลง เมื่อจากการใบต์ที่เกิดจะมีลักษณะหยาบ และเป็นรูปลูกบาศก์สมมาตร ซึ่งเมื่อคืนรูปจะกล้ายเป็นทรงเหลี่ยมสี่เหลี่ยม (Tetragonal) แบบ Body Centered อยู่ในโครงสร้างพื้น (มนัส, 2543) (John และบัญชา, 2542)



รูปที่ 2.9 ผลของอุณหภูมิในการอบคืนตัวต่อค่าความแข็งของเหล็กหล่อที่ผ่านการร้อนร้อยละ 2 โดยน้ำหนัก โครงเมียมร้อยละ 20 โดยน้ำหนัก และไมลิบดินั่มร้อยละ 1.7 โดยน้ำหนัก

ที่มา: John และ บัญชา (2542)

2.4 กล้องจุลทรรศน์อิเล็กตรอนแบบส่องกราด (Scanning Electron Microscope : SEM)

กล้องจุลทรรศน์อิเล็กตรอนแบบส่องกราด เป็นเทคนิคเฉพาะทางที่ได้รับการพัฒนาขึ้นเพื่อใช้ศึกษาโครงสร้าง และสมบัติบางประการของสาร ค่าความชัดลึก (Spatial Resolution) สูงกว่า กล้องจุลทรรศน์แสง ทั้งนี้เป็นเพราะ SEM ใช้สมบัติคลื่นของอิเล็กตรอน ซึ่งมีความยาวคลื่นสั้นกว่า ทำให้ SEM มีอำนาจแยกแยะได้ถึง 0.2 นาโนเมตร และด้วยความสามารถในการบีบลำอิเล็กตรอนให้เป็นมุมแคบๆ ได้ ทำให้ภาพที่ได้มีความชัดลึกสูง นอกจากนี้ SEM ยังสามารถใช้ร่วมกับเทคนิคอื่นๆ เช่น Energy-dispersive X-ray Spectrometry (EDXS) และ Wavelength Dispersive Spectrometry (WED) เพื่อให้ข้อมูลในเชิงเคมีอีกด้วย และในโครงงานวิจัยนี้เครื่อง SEM จะติดตั้งอุปกรณ์ที่เรียกว่า EDXS เพื่อตรวจหาราคาตุในตัวอย่างโดยใช้หลักการของ X-ray แสดงผลในรูปแบบของตัวเลข และกราฟ วิเคราะห์ปริมาณ และคุณภาพของโมเลกุลของธาตุ

กล้องจุลทรรศน์อิเล็กตรอน เป็นกล้องที่ใช้ส่องดูวัตถุขนาดเล็กมากๆ ให้เห็นใหญ่ขึ้นได้กว่าเดิมถึงสองแสนเท่า กล้องจุลทรรศน์อิเล็กตรอนเป็นประโยชน์มากในการศึกษาค้นคว้าทางการแพทย์ โลหะวิทยา และวิทยาศาสตร์ อีกหลายสาขา (บัญชา และ ศุภกาญจน์, 2544)

2.4.1 การวิเคราะห์ด้วยกล้องจุลทรรศน์อิเล็กตรอนแบบส่องกราด

สามารถวิเคราะห์ได้ 2 ลักษณะ คือ

2.4.1.1 การดูลักษณะของพื้นผิวของตัวอย่าง ซึ่งสามารถดูความแตกต่างของพื้นผิวโดยขึ้นอยู่กับลักษณะของ Detector ได้ โดยแบ่งเป็น

ก. ภาพที่ได้จากสัญญาณ Secondary Electron จะได้ภาพที่เป็นลักษณะพื้นผิวของตัวอย่างที่มีความสูงต่ำ ขรุขระ ที่เกิดขึ้นจริงบนตัวอย่าง และสามารถวัดขนาดต่างๆ บนตัวอย่างนั้นได้

ข. ภาพที่ได้จากสัญญาณ Back Scattered Electron จะได้ภาพที่มีลักษณะเป็นภาพพื้นผิวของวัตถุ แต่ให้ความแตกต่างบนพื้นผิวของวัตถุนั้น รากทุ่มที่มีเลขอะทอมสูงกว่าจะมีเพสที่สว่างกว่ารากทุ่มที่มีเลขอะทอมต่ำกว่า

2.4.1.2 การวิเคราะห์รากทุกสามารถใช้ข้อมูลได้เป็น 2 ลักษณะ คือ หากทุ่มที่มีอยู่ในตัวอย่างว่ามีรากทุ่มใดบ้าง โดยแสดงออกมาเป็นกราฟ และบอกเป็นเปอร์เซ็นต์ของรากทุ่มนๆ และสามารถบอกเป็นพื้นที่ว่าบริเวณใดมีรากทุ่มโดยอยู่บ้าง (ปัญชา และศุภกาญจน์, 2544)

2.4.2 ลักษณะของตัวอย่าง และชนิดของ SEM

สำหรับ SEM แบบที่มีต้องการสภาพความเป็นสัญญาากาศสูง การเตรียมตัวอย่างที่จะศึกษาต้องแห้ง ไม่มีความชื้น และไม่เป็นเปื้อนสารจำพวกไฮโดรคาร์บอน (เช่น น้ำมัน) เพราะเมื่อชั้นงานอยู่ภายใต้สภาวะสัญญาากาศ ความชื้น หรือสารไฮโดรคาร์บอนจะแตกตัวเป็นโมเลกุลเล็กๆ ขัดขวางเส้นทางของอิเล็กตรอนทำให้ภาพที่ได้ไม่ชัดเจนอีกทั้งโมเลกุลเหล่านี้อาจไปเกาะยังส่วนต่างๆ ของกล้อง เช่น ผิวของแหล่งกำเนิดอิเล็กตรอน เป็นเหตุให้แหล่งกำเนิดอิเล็กตรอนมีอายุการใช้งานสั้นลง

2.4.2.1 การเตรียมตัวอย่างสำหรับกล้องจุลทรรศน์อิเล็กตรอนแบบส่องกราด

ก. การเตรียมตัวอย่างในแบบทั่วไป

ก.1 อยู่ในสถานะของแข็งทุกลักษณะ เช่น เป็นผง แผ่น หรือแท่ง ฯลฯ

ก.2 ถ้ามีขนาดใหญ่ต้องตัดส่วนที่จะต้องให้เลือกอยู่ที่ประมาณ 1 ลูกบาศก์-

เซนติเมตร

ก.3 ต้องแห้งไม่มีความชื้น ไม่มีการระเหยของสารใดๆ และไม่มีการทึบ

กระจายของตัวอย่าง

ก.4 ถ้าตัวอย่างมีการนำไฟฟ้าดึงสามารถนำเข้าเครื่อง SEM ได้โดย

ก.5 ถ้าตัวอย่างไม่มีการนำไฟฟ้า หรือนำได้เพียงบางจุด จะต้องมีการ

นำไปเคลือบทอง

ข. การเตรียมตัวอย่างในแบบตัวอย่างที่ไม่นำไฟฟ้า

ข.1 โดยทั่วไปจะเมื่อมีการเตรียมตัวอย่างแบบทั่วไป

ข.2 ต้องมีการเคลือบทองก์สามารถนำเข้า SEM ได้

ข.3 การใช้งานในระบบจะใช้ได้ยากกว่าแบบปกติ และเสียเวลา
มากกว่าแบบปกติดังนั้นจึงสามารถทำให้ได้บางกรณีเท่านั้น

การเคลือบผิวน้ำชีนงานด้วยฟิล์มที่นำไปไฟฟ้าบางๆ (ประมาณ 100 อั้งสตอรอม) ซึ่งวัสดุที่นิยมนำมาใช้เคลือบผิวได้แก่ ทอง ทองผสมแพลทินัม และคาร์บอน การเคลือบด้วยทอง หรือทองผสมแพลทินัมจะให้ได้ภาพที่คมชัดกว่าการเคลือบด้วยคาร์บอน แต่จะทำให้มีข้อมูลทางเคมีของเทคนิค EDXS บิดเบือนไปได้ในกรณีที่ต้องการวิเคราะห์องค์ประกอบทางเคมี

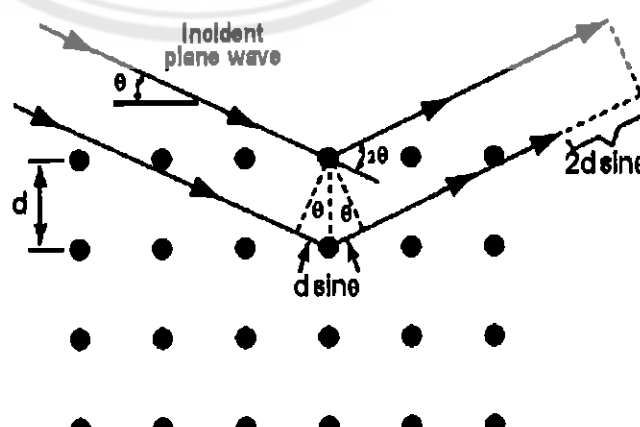
สำหรับตัวอย่างที่ไม่นำไฟฟ้าอาจไม่ต้องทำการเคลือบได้ โดยเลือกให้ความต่างหักยน้อยๆ (ต่ำกว่า 3KV) ซึ่งภายใต้เงื่อนไขที่เหมาะสมจะไม่เกิดการสะสมประจุที่ผิว (Charging) เนื่องจากปริมาณกระแสเข้าให้เท่ากับกระแสออก หรือเลี่ยงไปใช้ SEM แบบสูญญากาศต่ำแทน (ปัญชา และ ศุภกาญจน์, 2544) (ศูนย์บริการเครื่องมือวิทยาศาสตร์, 2554)

2.5 เครื่องเอกซเรย์ diffractometer (X-Ray Diffractometer : XRD)

เป็นเครื่องมือที่ใช้ในการศึกษาโครงสร้างผลึกที่ไม่ทำลายสารตัวอย่าง (Non-destructive Method) โดยใช้หลักการเลี้ยงเบนของรังสีเอกซ์ที่ตกกระทบหน้าผลึก ของสารตัวอย่างที่มุ่งต่างๆ กัน ผลการวิเคราะห์ที่ได้จะถูก拿来ไปเปรียบเทียบกับฐานข้อมูลมาตรฐาน เพื่อระบุองค์ประกอบของสารตัวอย่าง

2.5.1 หลักการ และวิธีการวิเคราะห์

วัสดุที่เป็นผลึก คือวัสดุที่มีการจัดเรียงตัวของอะตอมภายในโครงสร้างอย่างเป็นระเบียบ ซึ่งการจัดเรียงตัวของอะตอมภายในผลึกจะมีลักษณะเป็นระนาบเส้นตรงนานกัน ซึ่งแต่ละระยะจะอยู่ห่างกันเป็นระยะ d ซึ่งค่าระยะห่าง d จะมีค่าแตกต่างกันไปขึ้นกับธรรมชาติของผลึก ในปี ค.ศ.1912 W.H. Bragg และ W.L. Bragg ได้เสนอแนวคิดว่าเมื่อรังสีเอกซ์ ตกกระทบบนฐานของอะตอมภายในผลึกที่มุ่งตกรอบ Theta รังสีเอกซ์บางส่วนจะเกิดการสะท้อนกลับ (เลี้ยงเบน) ที่มุมสะท้อน Theta เท่ากับมุมตกรอบTheta แสดงดังรูปที่ 2.10

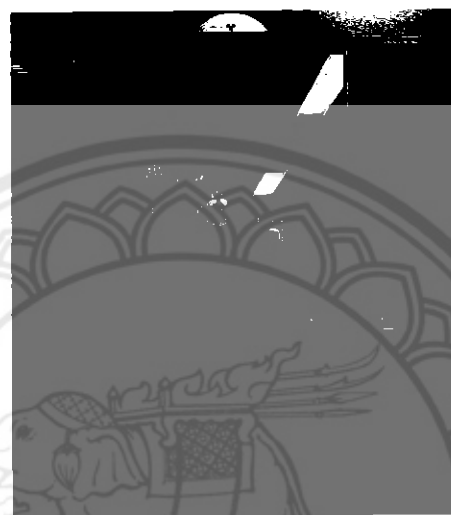


รูปที่ 2.10 Bragg's Law

ที่มา: ศูนย์บริการเครื่องมือวิทยาศาสตร์ (2554)

2.5.2 สมบัติเฉพาะของเครื่องเอกซเรย์ดิฟแฟร์กโถมิเตอร์ (X-Ray Diffractometer)

- 2.5.2.1 เพื่อศึกษา และวิเคราะห์วัสดุว่ามีสารประกอบชนิดใดบ้าง
- 2.5.2.2 เพื่อศึกษาการเปลี่ยนแปลงของสารผสมหลังทำปฏิกิริยา
- 2.5.2.3 เพื่อศึกษาการเปลี่ยนแปลงโครงสร้างของสารประกอบ
- 2.5.2.4 สามารถศึกษาการเปลี่ยนแปลงของวัสดุตั้งแต่อุณหภูมิห้องจนถึง 1700 องศาเซลเซียส



รูปที่ 2.11 เครื่องเอกซเรย์ดิฟแฟร์กโถมิเตอร์
ที่มา: ศูนย์บริการเครื่องมือวิทยาศาสตร์ (2554)

2.5.3 การเตรียมตัวอย่าง สามารถทำได้ 3 วิธี ดังนี้

2.5.3.1 การเตรียมตัวอย่างแบบมาตรฐาน กรณีที่มีตัวอย่างในปริมาณมาก

ก. นำแผ่นจับยึดชิ้นงานติดกับแผ่นแก้วด้านใดด้านหนึ่งด้วยเทปใส

ข. บดผงตัวอย่างให้มีความละเอียดมากที่สุดผ่านตะแกรง 45 ไมโครเมตร หรือเท่าที่บดได้ โดยลงช่องหลุมใส่ชิ้นงานใช้แผ่นแก้วกดตัวอย่างเบาๆ พอประมาณ แล้วปัดตัวอย่างที่เกินทิ้ง นำฝ่าหังปิดเข้ากับที่จับยึดชิ้นงาน

ค. แกะเทปใสที่ยึดแผ่นแก้วออกแล้วนำแผ่นจับยึดชิ้นงานเสียบเข้ากับแกนยึดตัวอย่างที่เครื่อง ระวังอย่าให้นิ้วนอนบริเวณที่มีตัวอย่าง

2.5.3.2 การเตรียมตัวอย่างที่มีปริมาณน้อย

ก. ทาจารบี (Super Grease) ลงบนแผ่นสไลเดอร์บางๆ

ข. โรยผงตัวอย่างลงบนสไลเดอร์ แล้วใช้นิ้วมือเคาะด้านข้างเพื่อให้ตัวอย่างกระจายทั่วบริเวณที่ทาจารบี

ค. ใช้แผ่นสไลเดอร์ตัดแนวตัวอย่างให้เป็นเส้นตรง แล้วนำแผ่นตัวอย่างเสียบเข้ากับแกนยึดตัวอย่างที่เครื่อง

2.5.3.3 การเตรียมตัวอย่างที่เป็นชิ้น

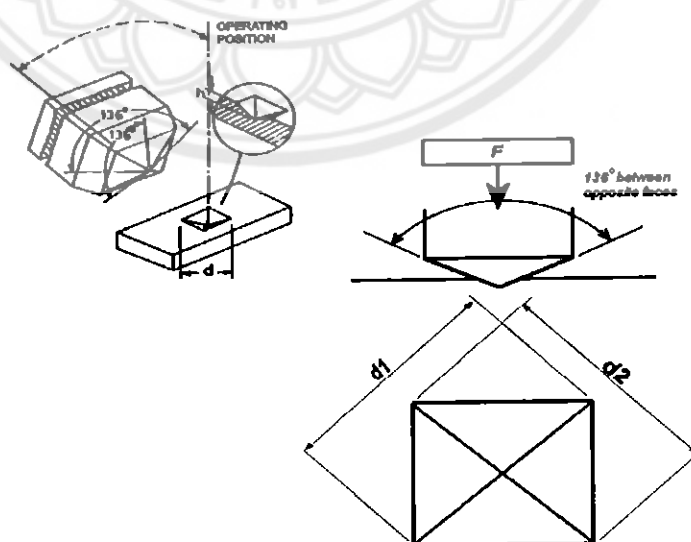
- ก. ตัดตัวอย่างใหม่ขนาดความหนา 2.00 มิลลิเมตร
- ข. ใช้ด้านหน้าที่เรียบที่สุดเสียบข้างกับแกนยีดตัวอย่างได้เลย (ศูนย์บริการเครื่องมือวิทยาศาสตร์, 2554)

2.6 การทดสอบความแข็ง

การทดสอบความแข็ง เป็นการวัดความต้านทานต่อรอยกด รอยชุดขีด หรือการเปลี่ยนรูปถาวร (Plastic Deformation) ของวัสดุ ซึ่งความแข็งของวัสดุขึ้นอยู่กับความแข็งแรงของโครงสร้างพันธะ มีวิธีการทดสอบหลายวิธีที่นิยม เช่น บรินเนลล์ (Brinell Hardness Test) ร็อกเวลล์ (Rockwell Hardness Test) วิกเกอร์ส (Vickers Hardness Test) และนูป (Knoop Hardness Tester) เป็นต้น วิธีการทั้งหลายนี้นิยมใช้กันทั่วไปในการทดสอบความแข็งทางวิศวกรรม และแต่ละวิธีมีกฎพื้นฐานเดียวกัน คือความแข็งจะวัดจากการอยกดที่เกิดขึ้นด้วยการให้น้ำหนักกดลงบนหัวกดที่ผิวของวัสดุในช่วงเวลาจำกัดโดยในการทดสอบครั้งนี้จะใช้วิธีการทดสอบแบบวิกเกอร์ส (Vickers Macrohardness Test)

การทดสอบความแข็งแบบวิกเกอร์ส (Vickers Macrohardness)

การทดสอบความแข็งใช้หัวกดเพชรปลายเป็นรูปพีรามิดมุมยอด 136° ฐานสี่เหลี่ยมกดลงบนผิววัสดุที่เรียบ แสดงดังรูปที่ 2.12 โดยใช้น้ำหนักกดอยู่ในช่วง 1-120 kg ค่าวิกเกอร์ส แทนด้วยสัญลักษณ์ HV มีหน่วยเป็นกิโลกรัมต่อ平方เซนติเมตร หรือความแข็งวัดเส้นทแยงมุมของรอยกดแล้วนำมาแทนในสมการที่ 2.1



รูปที่ 2.12 หัวกดเพชรปลายเป็นรูปพีรามิดมุมยอด 136° ฐานสี่เหลี่ยม และรอยกด ที่มา: วีระชัย (2550)

$$HV = \frac{2F \sin \frac{136^\circ}{2}}{d^2} \quad (2.1)$$

F = ภาระ หน่วย กิโลกรัมแรง

d = ค่าเฉลี่ยของเส้นทแยงมุมทั้งสอง

HV = ความแข็งวิกเกอร์ส

เมื่อหาค่าเฉลี่ยเส้นทแยงมุมได้ ค่าความแข็งวิกเกอร์ส คำนวนได้จากสูตร แต่จะสะดวกมากขึ้น เมื่อใช้ตาราง ความแข็งวิกเกอร์ส ควรจะรายงานดังนี้ 800 HV₁₀ หมายความว่า ความแข็งวิกเกอร์ส 800 โดยใช้ภาระ 10 กิโลกรัมแรง การให้ภาระที่แตกต่างกันจะให้ค่าความแข็งที่เท่ากันบนวัสดุที่เป็นเนื้อดีกวากัน ซึ่งดีกว่าการเปลี่ยนสเกลลด้วยวิธีทดสอบความแข็งแบบอื่น ข้อได้เปรียบของการทดสอบความแข็งวิกเกอร์ส คือการอ่านค่าที่แม่นยำสูง และหัวกดแบบเดียวสามารถใช้ได้กับทุกประเภทของวัสดุ และการขูบแข็งผิว แม้ว่าความแม่นยำ และการปรับเปลี่ยนได้สะดวกสำหรับการทดสอบวัสดุที่แข็งมาก และอ่อนมากภายใต้ภาระที่เปลี่ยนแปลงได้ เครื่องทดสอบความแข็งวิกเกอร์สมีราคาแพงกว่า เครื่องทดสอบความแข็งบรินเนลล์ และร็อกเวลล์ (เวรชัย, 2550)

2.7 งานวิจัยที่เกี่ยวข้อง

Aumporn et al.,(2009) ได้ทำการศึกษาโครงสร้างทางจุลภาคของเหล็กหล่อโครเมียมสูงที่มีโครเมียมร้อยละ 14 โดยน้ำหนัก คาร์บอนร้อยละ 1 โดยน้ำหนัก และโมลิบดินัมร้อยละ 0.8 โดยน้ำหนัก ที่ผ่านการอบดีสเทบีไลเซชัน ที่อุณหภูมิ 1000 องศาเซลเซียส เป็นเวลา 4 ชั่วโมง และลับอย่างเย็นตัวในอากาศ พบร้าเกิดออกซิเจนในต์ปฐมภูมิ คาร์ไบด์ (Fe, Cr)₇C₃ และมาร์เทนไซต์ จากนั้นนำชิ้นงานที่ผ่านการอบดีสเทบีไลเซชันที่อุณหภูมิ 1000 เป็นเวลา 4 ชั่วโมง ไปผ่านการอบเทมเปอร์ที่อุณหภูมิ 300, 400, 450, 500, 550 และ 600 องศาเซลเซียส เป็นเวลา 4 ชั่วโมง ปล่อยให้เย็นตัวในอากาศแล้วศึกษาโครงสร้างทางจุลภาค พบร้าเกิดออกซิเจนในต์ตกล้า และการวัดสัดส่วนเชิงปริมาตรของคาร์ไบด์ทุกภูมิ เด็นไดร์ท และยูเทกติก พบร้ามีสัดส่วนโดยประมาณที่สูงขึ้น แล้วเมื่อบาบทมเปอร์ที่อุณหภูมิ ระหว่าง 500 ถึง 550 องศาเซลเซียส เป็นเวลา 4 ชั่วโมง และลับอย่างเย็นตัวในอากาศทำให้ชิ้นงานมีความแข็งประมาณ 500 - 700 HV₃₀ เมื่อทำการทดสอบการสึกหรอแบบ Pin On Disc พบร้าชิ้นงานที่ส่งผลให้มีประสิทธิภาพในการต้านทานการสึกหรอตื้อสุด คือชิ้นงานที่มีความแข็ง 550 HV₃₀

Toshio Haga and P.Kapranos (2002) ได้ทำการศึกษาเกี่ยวกับกระบวนการขึ้นรูปโลหะกึ่งแข็งของอะลูมิเนียมโดยวิธีการหล่อโลหะแบบบริโภค วัสดุที่ใช้ในการวิจัย คืออะลูมิเนียมผสม เกรด A356 วิธีที่ใช้ในการทดลอง แบ่งออกเป็น 2 วิธี คือ วิธีเทน้ำโลหะผ่านร่างเหลล็อเย็น และเทน้ำโลหะโดยตรง แบบหล่อโดยเทที่อุณหภูมิชูปเปอร์ฮีทต์ การทดลองนี้ทำการเทน้ำโลหะที่อุณหภูมิ 620 และ 650

องศาเซลเซียส มุ่งเน้นของแรงเหหหล้อเย็นที่ 60 องศา กว้าง 50 มิลลิเมตร ยาว 300 มิลลิเมตร ระยะทางที่ใช้ในการเท 250 มิลลิเมตร และเคลือบบางเดียวโดย硼อนไนไตรด์ (Boron Nitride) เทลงในแบบหล่อโดยแบบหล่อเม็ดอุณหภูมิ 350, 400, 450 และ 500 องศาเซลเซียส นำขึ้นงานที่ได้เป็นผ่านกระบวนการอบชุบความร้อน T6 ผลการศึกษาโครงสร้างทางจุลภาค พบว่าโครงสร้างทางจุลภาคของชิ้นงานมีลักษณะเป็นเกรนกลม มีการกระจายตัวอย่างสม่ำเสมอ และสามารถปรับปรุงสมบัติทางกลของวัสดุได้เป็นอย่างดี โดยเทน้ำที่อุณหภูมิ 620 องศาเซลเซียส และแม่พิมพ์ล่างเม็ดอุณหภูมิ 400 องศาเซลเซียส ผลการศึกษาด้านสมบัติทางกลที่สภาวะดังกล่าว พบว่าส่วนที่ทำการหล่อโดยวิธีหล่อลงบนแรงเหหหล้อเย็นมีสมบัติทางกลดีกว่าการเทที่อุณหภูมิชุบเปอร์ฮิทต์ โดยชิ้นงานที่หล่อบนแรงเหหหล้อเย็นให้ความเดินแรงดึง 310 MPa, ความคืบจุดคราก 241 MPa และร้อยละการยืดตัวเท่ากับ 18 ส่วนชิ้นงานที่ขึ้นรูปโดยวิธีชุบเปอร์ฮิทต์ให้ความเดินแรงดึง 290 MPa, ความคืบจุดคราก 237 MPa และร้อยละการยืดตัวเท่ากับ 12

อัมพร และคณะ (2552) ได้ทำการศึกษาอิทธิพลของการอบชุบทางความร้อนต่อโครงสร้างทางจุลภาค และสมบัติของเหล็กหล่อโครงเมียนสูงร้อยละ 25 โดยน้ำหนัก ที่เตรียมโดยการหล่อแบบดั้งเดิม และแบบกึ่งแข็ง จากการศึกษาโครงสร้างทางจุลภาคด้วยกล้องจุลทรรศน์แบบแสงของชิ้นงานในสภาพหล่อ พบว่าชิ้นงานที่เตรียมโดยการหล่อแบบดั้งเดิม และแบบกึ่งแข็งประกอบด้วยโครงสร้างพื้นที่ของอสเทนในตัวปฐมภูมิล้อมรอบด้วยยูเทกติการ์บีด์-อสเทนในตัว แต่การขึ้นรูปแบบดั้งเดิมให้โครงสร้างของอสเทนในตัวที่มีลักษณะเป็นเด่นได้รีท ส่วนการขึ้นรูปแบบกึ่งแข็งให้โครงสร้างที่มีลักษณะเกรนกลม เมื่อศึกษาเฟสที่เกิดขึ้น พบว่ามีเฟสօอสเทนในตัว คาร์บิดชนิด $(Fe, Cr)_7C_3$ และพบความสามารถในการเปลี่ยนแปลงของอสเทนในตัวในระหว่างการเย็นตัวในอากาศ การทดสอบความแข็งมนภาคแบบบิวเกอร์ส พบว่าชิ้นงานทั้ง 2 มีค่าความแข็งที่ใกล้เคียงกัน โดยชิ้นงานที่ขึ้นรูปโดยวิธีการหล่อแบบดั้งเดิมมีความแข็ง 500 HV₃₀ ส่วนชิ้นงานที่ขึ้นรูปโดยวิธีการหล่อแบบกึ่งแข็งมีความแข็ง 488 HV₃₀ เมื่อทดสอบความแข็งจุลภาคแบบบิวเกอร์ส ภายใต้เด่นไดรท์ชิ้นงานที่ขึ้นรูปโดยวิธีการหล่อแบบดั้งเดิมมีความแข็ง 422 HV_{0.1} ส่วนชิ้นงานที่ขึ้นรูปโดยวิธีการหล่อแบบกึ่งแข็งมีความแข็ง 361 HV_{0.1} เมื่อนำไปอบดีสเทบีไลเซชันที่อุณหภูมิ 900, 1000 และ 1100 องศาเซลเซียส เป็นเวลา 2, 4 และ 8 ชั่วโมง ตามลำดับ แล้วปล่อยให้เย็นตัวในอากาศ เมื่อศึกษาลักษณะทางสัณฐานวิทยาด้วยกล้องจุลทรรศน์อิเล็กตรอนแบบส่อง粒粒 พบว่าชิ้นงานที่ขึ้นรูปทั้ง 2 วิธี เกิดการแตกตะกอนของคาร์บิดทุติยภูมิภายในโครงสร้างพื้นของมาร์เกนไซต์ที่เปลี่ยนมาจากօอสเทนในตัวปฐมภูมิ ซึ่งการอบดีสเทบีไลเซชันที่อุณหภูมิตัว หรือระยะเวลาอย่างเดินไป ทำให้คาร์บิดทุติยภูมิมีขนาดเล็ก ถ้าอุณหภูมิสูง หรือระยะเวลามากเกินไป ทำให้คาร์บิดทุติยภูมิมีขนาดใหญ่ เมื่อศึกษาการเปลี่ยนแปลงเฟส พบว่าเกิดเฟสօอสเทนในตัวทุกครั้ง เฟสมาตรฐานไซต์ และคาร์บิดชนิด $(Fe, Cr)_7C_3$ จากการทดสอบความแข็งมนภาคแบบบิวเกอร์ส หลังการอบดีสเทบีไลเซชัน พบว่าค่าความแข็งเพิ่มสูงขึ้น โดยชิ้นงานที่ผ่านการขึ้นรูปโดยวิธีการหล่อแบบกึ่งแข็งมีค่าความแข็งสูงสุดประมาณ 770 HV₃₀ ส่วนแบบดั้งเดิมมีความแข็งเป็น 756 HV₃₀ เมื่ออบดีสเทบีไลเซชันที่อุณหภูมิ 1000 องศาเซลเซียส

15904849

๔/๕
๗/๕๔๒/๑ ๒๕๕๓

เป็นเวลา 8 ชั่วโมง เมื่อทดสอบความแข็ง ภายในเดนไดร์ทความแข็งที่ดีสุดของชิ้นงานที่ขึ้นรูปโดยวิธี กึงแข็งมีความแข็ง $915 \text{ HV}_{0.1}$ ซึ่งสูงกว่าชิ้นงานที่ขึ้นรูปแบบดั้งเดิมที่มีความแข็ง $860 \text{ HV}_{0.1}$ เมื่ออบ- ตีสเตบีไลเซชันที่อุณหภูมิ 1000 องศาเซลเซียส เป็นเวลา 4 ชั่วโมง

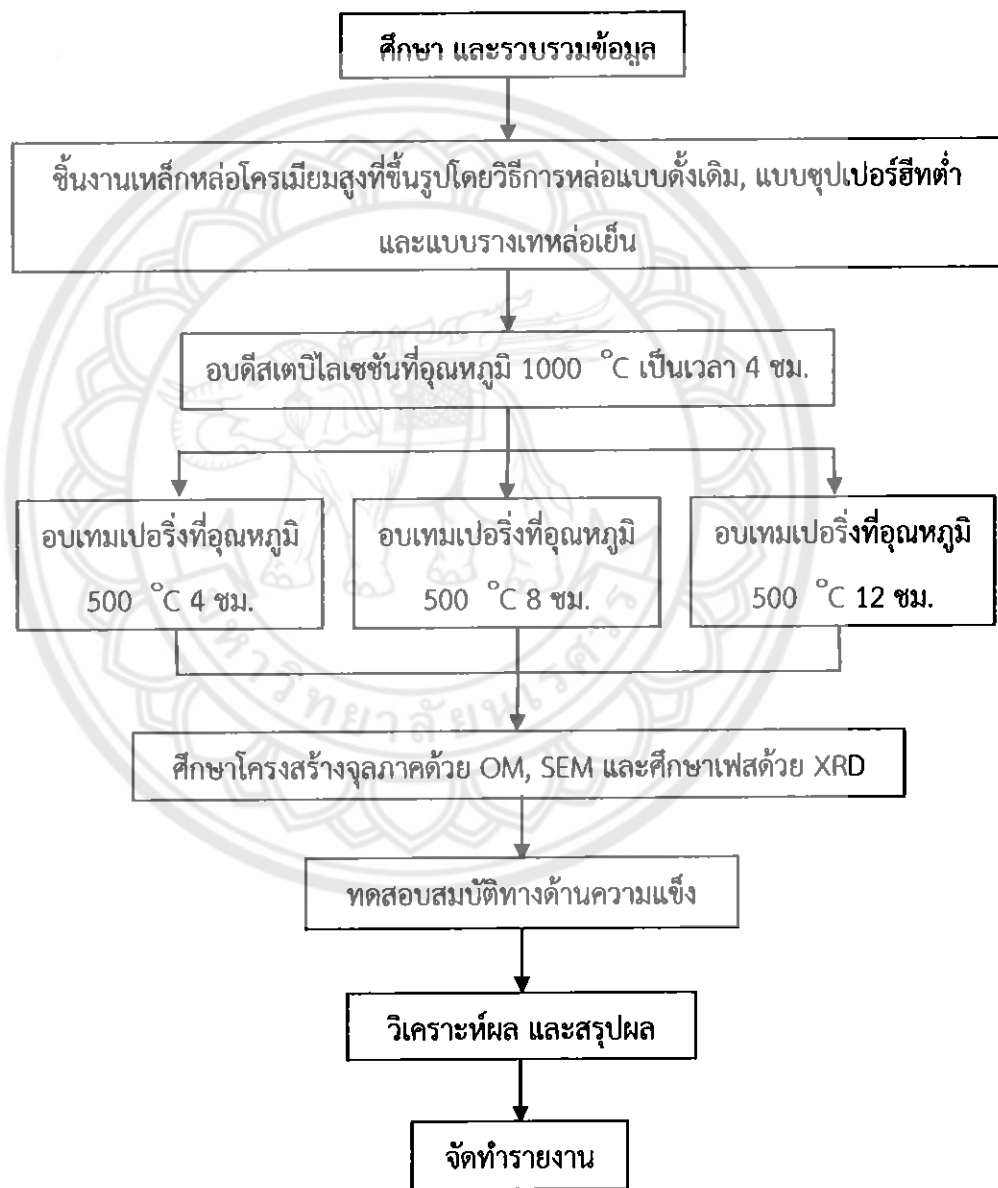


บทที่ 3

วิธีการดำเนินโครงการ

3.1 ขั้นตอน และระเบียบวิธีวิจัยที่ใช้ในการทำโครงการ

ในการศึกษาผลของกรรมวิธีทางความร้อนต่อโครงสร้างทางจุลภาค และสมบัติทางด้านความแข็งของเหล็กหล่อโครงเมียนสูงร้อยละ 25 โดยน้ำหนัก ขั้นตอนการดำเนินงาน แสดงดังรูปที่ 3.1



รูปที่ 3.1 ขั้นตอนการดำเนินงาน

3.2 วัสดุ และอุปกรณ์

3.2.1 วัสดุที่ใช้ในงานวิจัย

เหล็กหล่อโครงเมียมสูงร้อยละ 25 โดยน้ำหนัก ที่ขึ้นรูปโดยวิธีการหล่อแบบดั้งเดิม แบบชุบเปอร์ซีทั่ว และแบบบรรเทาหล่อเย็น

ตารางที่ 3.1 องค์ประกอบทางเคมีของเหล็กหล่อโครงเมียมสูงที่ใช้ในการทดลอง

ส่วนผสมทางเคมี (ร้อยละโดยน้ำหนัก)									
Cr	C	Si	Mn	S	P	Ni	Cu	Mo	Fe
25.56	2.44	0.735	0.911	0.029	0.041	0.120	0.080	0.02	balance

3.2.2 อุปกรณ์ที่ใช้ในการทดลอง และวิเคราะห์ผลการทดลอง

3.2.2.1 อุปกรณ์ในการเตรียมชิ้นงาน

- ก. เครื่องตัดชิ้นงาน
- ข. เตาอบอุณหภูมิสูง
- ค. เครื่องขัดโลหะ
- ง. กระดาษทรายเบอร์ 180, 320, 600 และ 1000
- จ. ผ้าลักษณะ และผงขัดเพชรขนาด 6, 3 และ 1 มิลลิเมตร

3.2.2.2 อุปกรณ์ที่ใช้ในการวิเคราะห์ผลการทดลอง

- ก. กล้องจุลทรรศน์แสง (Optical Microscope : OM)
- ข. กล้องจุลทรรศน์อิเล็กตรอนแบบส่องกราด (Scanning Electron Microscope : SEM)
- ค. เครื่อง X-ray Diffractometer : XRD
- ง. เครื่องวัดความแข็งแบบวิกเกอร์ส (Vickers Macrohardness Testing)

3.3 ขั้นตอนการทดลอง

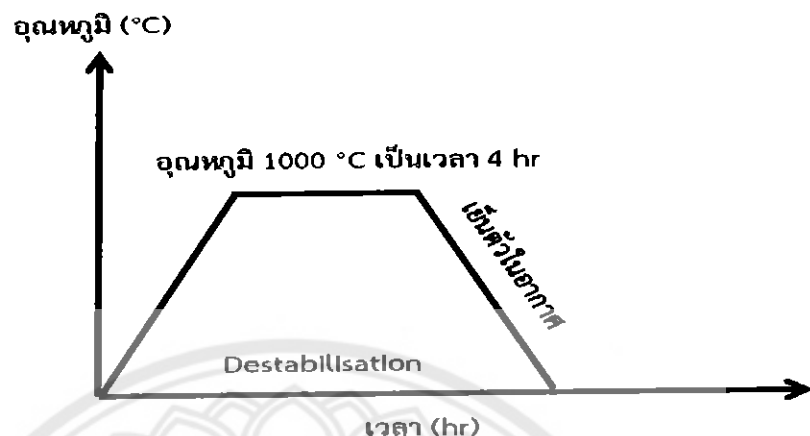
3.3.1 ศึกษา และรวบรวมข้อมูล

ศึกษาปัญหาที่เกิดขึ้นกับบัมฟอยไข่ที่ผลิตจากเหล็กหล่อโครงเมียมสูงที่ใช้ในอุตสาหกรรมการคลุกสังกะสี รวมรวมศึกษาเอกสาร และงานวิจัยที่เกี่ยวข้อง

3.3.2 กรรมวิธีทางความร้อน

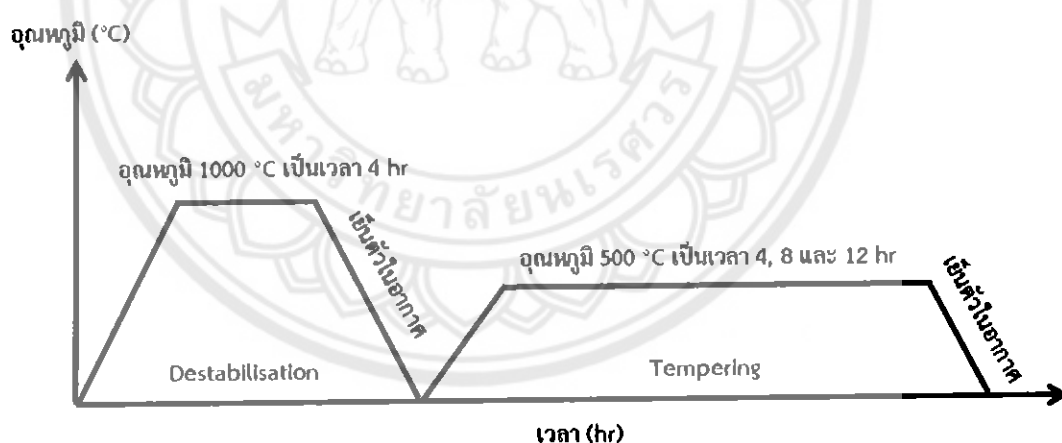
นำชิ้นงานเหล็กหล่อโครงเมียมสูงร้อยละ 25 โดยน้ำหนัก ที่ขึ้นรูปโดยวิธีการหล่อแบบดั้งเดิม แบบชุบเปอร์ซีทั่ว และแบบบรรเทาหล่อเย็นมาตัดแล้วมาอบในเตาอบอุณหภูมิสูงประกอบด้วย

3.3.2.1 การอบดีสเตบิไลเซชันที่อุณหภูมิ 1000 องศาเซลเซียส เป็นเวลา 4 ชั่วโมง แล้วปล่อยให้เย็นตัวในอากาศ แสดงดังรูปที่ 3.2



รูปที่ 3.2 กระบวนการการอบดีสเตบิไลเซชันของเหล็กหล่อโครงเมี่ยมสูง

3.3.2.2 การอบดีสเตบิไลเซชันร่วมกับการอบเทมเปอร์ริงโดยอบดีสเตบิไลเซชันที่ อุณหภูมิ 1000 องศาเซลเซียส เป็นเวลา 4 ชั่วโมง แล้วจึงนำไปอบเทมเปอร์ริงที่อุณหภูมิ 500 องศาเซลเซียส เป็นเวลา 4, 8 และ 12 ชั่วโมง ตามลำดับ แล้วปล่อยให้เย็นตัวในอากาศ แสดงดังรูปที่ 3.3



รูปที่ 3.3 กระบวนการการอบดีสเตบิไลเซชัน และอบเทมเปอร์ริงของเหล็กหล่อโครงเมี่ยม

3.3.3 การศึกษาโครงสร้างทางจุลภาค (Microstructure)

3.3.3.1 นำชิ้นงานเหล็กหล่อโครงเมี่ยมสูงร้อยละ 25 โดยน้ำหนัก ที่ขึ้นรูปโดยวิธีการหล่อแบบดั้งเดิม แบบชุบเปอร์ชีทต์ และแบบบรรจบทหล่อเย็น ทั้งในสภาพหล่อ อบดีสเตบิไลเซชันร่วมกับการอบเทมเปอร์ริงมากขั้ดผิวน้ำด้วยกระดาษทรายเบอร์ 180, 600 และ 1000 ตามลำดับ

3.3.3.2 นำชิ้นงานที่ผ่านการขัดด้วยกระดาษทรายแล้วมาขัดมันด้วยผงขัดเพชรขนาด 6, 3 และ 1 ไมครอน ตามลำดับ

3.3.3.3 นำชิ้นงานหลังผ่านการขัดมันมากดผิวน้ำด้วยกรดที่มีส่วนผสมของ $\text{Na}_2\text{S}_2\text{O}_4$ 10 กรัม ในน้ำกลั่น 100 มิลลิลิตร และกรด HCl 50 มิลลิลิตร ทำโดยการนำชิ้นงานจุ่มลงในกรดแล้วล้างด้วยน้ำสะอาด

3.3.3.4 นำชิ้นงานหลังผ่านการกัดกรดแล้ว นำไปศึกษาโครงสร้างทางจุลภาคด้วยกล้องจุลทรรศน์แบบแสงจะเริ่มจากกำลังขยายต่ำไปถึงกำลังขยายสูงสุด

3.3.3.5 เมื่อเลือกตำแหน่งที่เหมาะสมได้แล้ว ถ่ายภาพที่กำลังขยายต่างๆ

3.3.4 การศึกษาลักษณะทางสัณฐานวิทยา (Morphology)

3.3.4.1 นำชิ้นงานเหล็กหล่อโครงเมียมสูงร้อยละ 25 โดยน้ำหนัก ที่ขึ้นรูปโดยวิธีการหล่อ แบบชุบเปอร์ธิต์สำหรับศึกษาลักษณะทางสัณฐานวิทยาด้วยกล้องจุลทรรศน์อิเล็กตรอนแบบส่อง粒 (Scanning Electron Microscope : SEM) เพื่อใช้ในการศึกษารูปร่างของการรีบเด้งที่แตกต่างกันในโครงสร้างพื้น

3.3.4.2 จะนำชิ้นงานดังกล่าวมา กัดด้วยกรดอีกชนิด คือกรดที่มีส่วนผสมของ KMnO_4 4 กรัม + NaOH 4 กรัม + น้ำ 100 มิลลิลิตร ที่ให้ความร้อนอยู่ในช่วงอุณหภูมิ 40 องศาเซลเซียส โดยใช้เวลาในการกัดกรดเป็นเวลา 10 นาที เพื่อให้คาร์บอนทุติยภูมิหลุดออก เพื่อใช้ในการศึกษารูปร่างของการรีบเด้งทุติยภูมิ

3.3.4.3 หลังจากผ่านการกัดกรดแล้วจะนำชิ้นงานไปศึกษาลักษณะทางสัณฐานวิทยาด้วยกล้องจุลทรรศน์อิเล็กตรอนแบบส่อง粒อีกรอบ และถ่ายภาพชิ้นงาน

3.3.4.4 วัดการกระจายพลังงานของริงสีเอกซ์ (EDXS) วิเคราะห์ธาตุ ณ ตำแหน่งต่างๆ บนชิ้นงานโดยจะเน้นที่โครงสร้างพื้น และยูเทกติการ์บิดสำหรับชิ้นงานในสภาพหล่อ ส่วนชิ้นงานหลังผ่านกรรมวิธีทางความร้อนจะเน้นศึกษาที่การรีบเด้งทุติยภูมิ

3.3.5 การศึกษาโครงสร้างผลึกด้วยเทคนิค X-ray Diffraction : XRD

3.3.5.1 นำชิ้นงานเหล็กหล่อโครงเมียมสูงร้อยละ 25 โดยน้ำหนัก ที่ขึ้นรูปโดยวิธีการหล่อแบบชุบเปอร์ธิต์ท่า ทั้งในสภาพหล่อ อบดีสเตบิไลเซชัน และอบดีสเตบิไลเซชันร่วมกับการอบเทมเพอร์ริ่งนำขัดผิวน้ำด้วยกระดาษทรายเบอร์ 180, 600 และ 1000 ตามลำดับ

3.3.5.2 นำชิ้นงานที่ผ่านการซัดด้วยกระดาษทรายแล้วมาขัดมันด้วยผงขัดเพชรขนาด 6 ไมครอน

3.3.5.3 หลังจากนั้นนำชิ้นงานที่ได้มานัดให้มีความหนาอยกว่า 5 มิลลิเมตร

3.3.5.4 นำชิ้นงานหลังผ่านการตัดเรียบร้อยแล้วทำการทดสอบและจึงนำไปศึกษาโครงสร้างผลึกด้วยเทคนิค X-ray Diffraction : XRD

3.3.6 ทดสอบสมบัติทางด้านความแข็ง

ในการทดสอบสมบัติทางด้านความแข็งจะใช้ชิ้นงานเหล็กหล่อโครงเมียมสูงร้อยละ 25 โดยน้ำหนัก ที่ขึ้นรูปโดยวิธีการหล่อแบบดั้งเดิม แบบชุบเปอร์ชีทต่า และแบบบางเทาหล่อเย็น ทั้งในสภาพหล่อ อุบดีสเตบีไลเซชัน และอบดีสเตบีไลเซชันร่วมกับการอบเทมเปอร์ริงในการทดสอบจะใช้เครื่องวัดความแข็งแบบวิกเกอร์ส (Vickers Macrohardness Testing)

3.3.6.1 นำชิ้นงานเหล็กหล่อโครงเมียมสูงร้อยละ 25 โดยน้ำหนัก ที่ขึ้นรูปโดยวิธีการหล่อแบบดั้งเดิม แบบชุบเปอร์ชีทต่า และแบบบางเทาหล่อเย็น ทั้งในสภาพหล่อ อุบดีสเตบีไลเซชัน และอบดีสเตบีไลเซชันร่วมกับการอบเทมเปอร์ริงมาขัดผิวน้ำด้วยกระดาษทรายเบอร์ 180, 600 และ 1000 ตามลำดับ

3.3.6.2 นำชิ้นงานที่ผ่านการขัดด้วยกระดาษทรายแล้วมาขัดมันด้วยผงขัดเพชรขนาด 6 ไมครอน

3.3.6.3 นำชิ้นงานไปวางบนฐานกดแล้วหมุนฐานขึ้นให้ชิ้นงานไปชนกับหัวกดเพชรโดยการทดสอบจะใช้แรงกด 30 กิโลกรัมแรง

3.3.6.3 หมุนฐานกดต่อไปอย่างซ้ำๆ จนเข้มไปอยู่กึ่งกลางของวงกลมเล็กที่อยู่บนหน้าปัด

3.3.6.4 ยกคันโยกชี้นัยน์จังหวะเริ่มจับเวลาหลังจากเข้มหยุดนิ่งชิ้นงานจะถูกกดด้วยน้ำหนัก 30 กิโลกรัมแรง เป็นเวลาประมาณ 15 วินาที หลังจากนั้นยกคันโยกลงทำอย่างนี้เป็นคราว 10 ครั้งในแต่ละชิ้นงาน

3.3.6.5 เมื่อทดสอบครบจำนวนแล้วนำชิ้นงานไปวัดรอยกด และนำมาคำนวณค่าความแข็งพร้อมภาพถ่าย และคำนวณค่าเฉลี่ยความแข็งของชิ้นงาน

3.4 วิเคราะห์ และสรุปผลการทดลอง

นำข้อมูลที่ได้จากการสร้างทางจุลภาค ลักษณะทางสัณฐานวิทยา โครงสร้างผลึก ผลการทดสอบความแข็งของชิ้นงานเหล็กหล่อโครงเมียมสูงที่ขึ้นรูปโดยการหล่อแบบดั้งเดิม แบบชุบเปอร์ชีทต่า และหล่อแบบบางเทาหล่อเย็น มาวิเคราะห์ และสรุปผล

3.5 จัดทำรูปเล่ม

นำข้อมูล และผลการทดสอบ มาประกอบรูปเล่มรายงาน

บทที่ 4

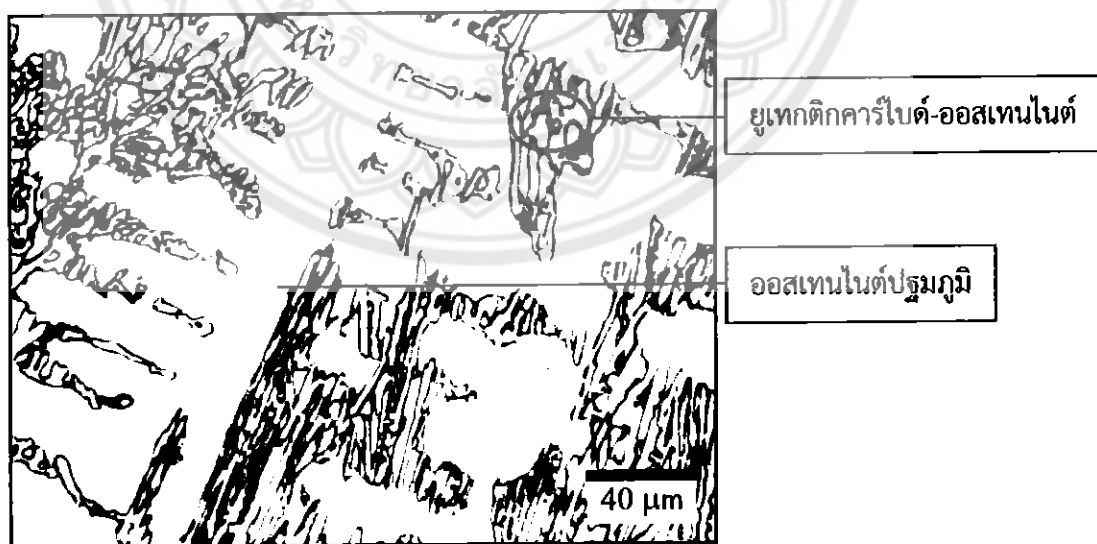
ผลการทดลอง และการวิเคราะห์

4.1 ผลการศึกษาเหล็กหล่อโครงเมียมสูงร้อยละ 25 โดยน้ำหนักในสภาพหล่อ

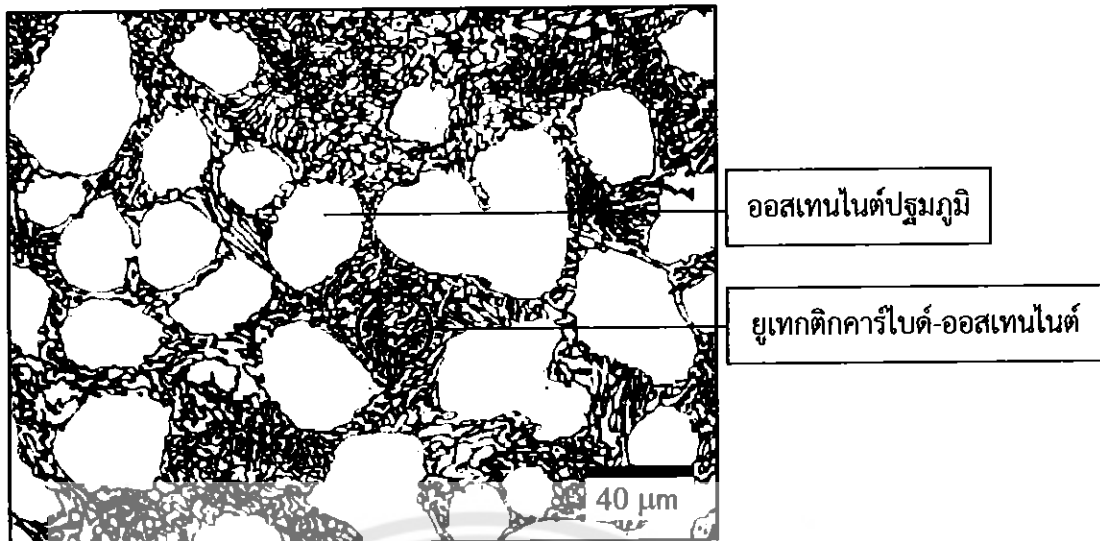
4.1.1 ผลการศึกษาโครงสร้างทางจุลภาค

การศึกษาโครงสร้างทางจุลภาคด้วยกล้องจุลทรรศน์แบบแสงของเหล็กหล่อโครงเมียมสูงร้อยละ 25 โดยน้ำหนัก ภายหลังการหล่อที่ผ่านการขึ้นรูปโดยวิธีการหล่อแบบดึงเดิม แบบชุบเปอร์-ชีทต์ และแบบบางเทาหล่อเย็นโครงสร้างจะประกอบไปด้วยโครงสร้างพื้นของอสเทเนในต์ปั๊มนูกมิล้อมรอบด้วยยูเทกติกคาร์ไบด์-อสเทเนในต์ นอกจากนี้ชิ้นงานที่ผ่านการขึ้นรูปโดยวิธีการหล่อแบบดึงเดิมโครงสร้างพื้นของอสเทเนในต์ที่ได้มีลักษณะเป็นเดนไครท์ แสดงดังรูปที่ 4.1 แต่ชิ้นงานที่ผ่านการขึ้นรูปโดยวิธีการหล่อแบบชุบเปอร์ชีทต์ และแบบบางเทาหล่อเย็นให้โครงสร้างของอสเทเนในต์มีขนาดเล็ก และกระจายตัวหนาแน่น

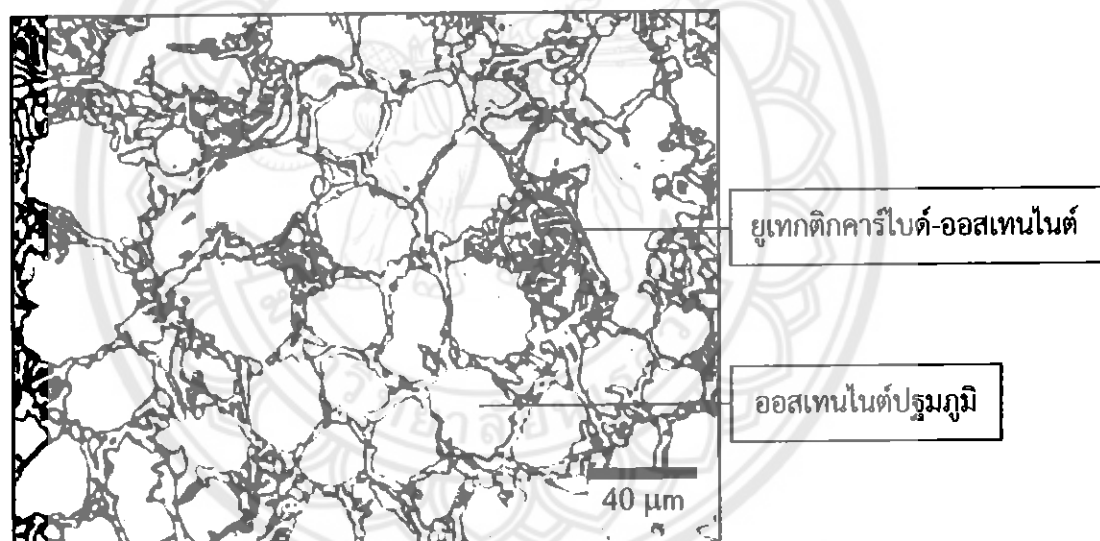
นอกจากนี้ชิ้นงานที่ผ่านการขึ้นรูปโดยวิธีการหล่อแบบชุบเปอร์ชีทต์ และแบบบางเทาหล่อเย็น มีโครงสร้างลักษณะเกรนกลมเหมือนกัน แต่ชิ้นงานที่ผ่านการขึ้นรูปโดยวิธีการหล่อแบบชุบเปอร์ชีทต์ให้ลักษณะเกรนที่มีขนาดใหญ่กว่าชิ้นงานที่ผ่านการขึ้นรูปโดยวิธีการหล่อแบบบางเทาหล่อเย็น แสดงดังรูปที่ 4.2 - 4.3 (แสดงดังตารางที่ ก.1-ก.3 ภาคผนวก ก)



รูปที่ 4.1 โครงสร้างทางจุลภาคของเหล็กหล่อโครงเมียมสูงในสภาพหล่อที่ขึ้นรูปโดยวิธีการหล่อแบบดึงเดิม



รูปที่ 4.2 โครงสร้างทางจุลภาคของเหล็กหล่อโครงเมียมสูงในสภาพหล่อที่ขึ้นรูปโดยวิธีการหล่อแบบชุบเปอร์ฮีทต์



รูปที่ 4.3 โครงสร้างทางจุลภาคของเหล็กหล่อโครงเมียมสูงในสภาพหล่อที่ขึ้นรูปโดยวิธีการหล่อแบบร่างเหลล่อลอยืน

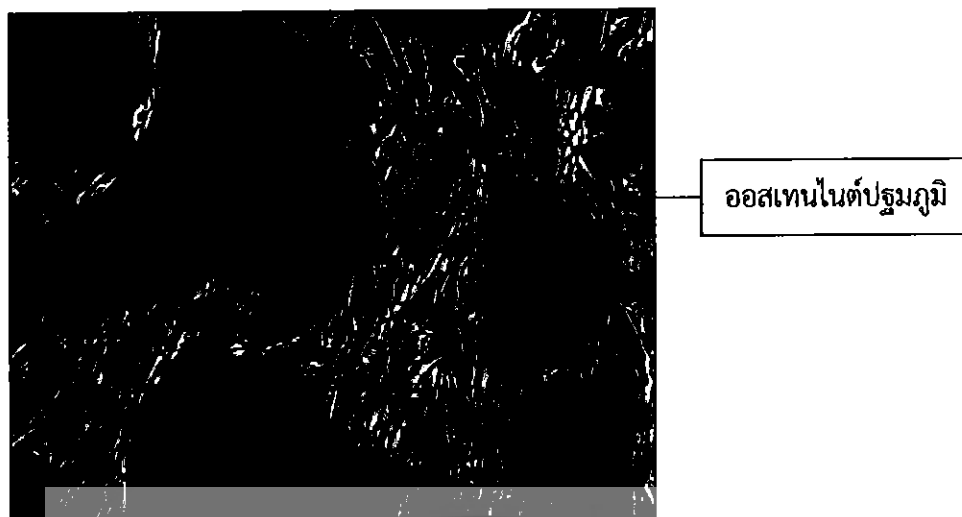
ขั้นงานที่ผ่านการขึ้นรูปโดยวิธีการหล่อแบบดังเดิม มีโครงสร้างพื้นของอํอสเทนไนต์-ปูรื้มภูมิที่เป็นเด่นไดร์ท ไม่เป็นลักษณะเกรนกลมเหมือนขั้นงานที่ผ่านการขึ้นรูปโดยวิธีการหล่อแบบชุบเปอร์ฮีทต์ และแบบร่างเหลล่อลอยืน เนื่องจากกระบวนการที่ใช้ในการขึ้นรูปโดยวิธีการหล่อแบบดังเดิม จะเน้นโลหะลงสู่แบบหล่อขณะที่น้ำโลหะเป็นของเหลวทั้งหมด ทำให้การเย็นตัวของน้ำโลหะ เป็นแบบปกติ ส่งผลให้เกิดโครงสร้างแบบเด่นไดร์ท โดยลักษณะการแข็งตัวของน้ำโลหะ และการโตของของแข็งนั้นเกิดในทิศทางตรงข้ามกับการถ่ายเทความร้อนในทิศทางต่างๆ ที่ไม่เท่ากันจนเกิดเป็นรูปร่างเด่นไดร์ท เมื่อบริเวณส่วนปลายของของแข็งที่เกิดเป็นเด่นไดร์ทมีความร้อนสะสมมากขึ้นเด่น-

ไดร์ทจะไม่สามารถโต้ต่อไปได้อีก หรืออีกสาเหตุหนึ่งของการหยุดโดยของเดนไดร์ท เนื่องจากเดนไดร์ท ขยายตัวไปกลัดกับเดนไดร์ทอื่นที่อยู่ข้างเคียงเกิดการแยกอะตอนกัน ทำให้การโดยของเดนไดร์ทไม่สามารถดำเนินต่อได้ จึงทำให้ของเหลวส่วนที่เหลือเกิดเป็นโครงสร้างผสมของยูเทกติการ์บีด-อสเทนในตี่ที่หายาบซึ่งอยู่ระหว่างแขนของเดนไดร์ท เนื่องจากแขนของเดนไดร์ทมีผลทำให้การกระจายตัวของยูเทกติการ์บีด-อสเทนในตี่ไม่สม่ำเสมอ นอกจากนี้การโดยของยูเทกติการ์บีด-อสเทนในตี่ยังมีผลทำให้เดนไดร์ทหยุดโดย เพราะยูเทกติกที่จะไปปิดกั้นการโดยของเดนไดร์ท ส่วนขึ้นงานที่ขึ้นรูปโดยวิธีการหล่อแบบชุบเปลอร์ชีทต่า และแบบร่างเทหล่อเย็น โครงสร้างที่ได้มีลักษณะเกรนกลมเหมือนกัน แต่ทั้งสองกระบวนการนี้มีวิธีการขึ้นรูปที่ต่างกัน การขึ้นรูปโดยวิธีการหล่อแบบชุบเปลอร์ชีทต่า จะเน้นโลหะให้ต่ำกว่าอุณหภูมิคิวตัส เป็นอุณหภูมิที่น้ำโลหะเริ่มมีอนุภาคของแข็งที่เป็นนิวเคลียสเกิดขึ้น และน้ำโลหะมีอุณหภูมิต่ำ เมื่อเทลงสู่แบบการแข็งตัวจะเกิดขึ้นเร็วกว่าการหล่อแบบดั้งเดิม ทำให้นิวเคลียสไม่มีเวลาหากพหุที่จะเติบโตเป็นเดนไดร์ท แต่การขึ้นรูปโดยวิธีการหล่อแบบร่างเทหล่อเย็นจะเน้นโลหะที่อุณหภูมิเหล่านางเททำให้มีเดนไดร์ทเกิดขึ้นในระหว่างที่น้ำโลหะไหลผ่านรางเทที่บริเวณผิวน้ำของรางเทแล้วถูกแรงกระทำ ส่งผลให้กึ่งของเดนไดร์ทแตกออก ทำให้ทั้งสองกระบวนการนี้มีอนุภาคของแข็ง ที่มีแนวโน้มโตขึ้นเป็นโครงสร้างที่มีลักษณะเกรนกลม ซึ่งเกิดขึ้นในน้ำโลหะเป็นบางส่วนก่อนเทลงสู่แบบหล่อทำให้โครงสร้างที่ได้มีลักษณะไม่เป็นเดนไดร์ท เพราะฉะนั้นมีน้ำโลหะแข็งตัวจะทำให้โครงสร้างมีลักษณะเกรนกลม

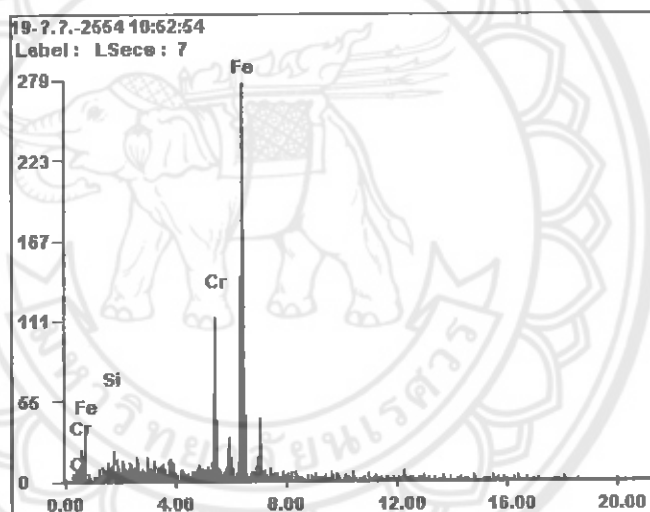
4.1.2 ผลการศึกษาลักษณะทางสัณฐานวิทยา

การศึกษาลักษณะทางสัณฐานวิทยาด้วยกล้องจุลทรรศน์อิเล็กตรอนแบบส่องการดูที่กำลังขยายสูงขึ้น ที่ตำแหน่งโครงสร้างพื้นของอสเทนในต์ปฐมภูมิ ทำให้มองเห็นว่าที่บริเวณนี้มีลักษณะค่อนข้างเรียบ

เมื่อทำการวิเคราะห์องค์ประกอบทางเคมีของโครงสร้างพื้นของอสเทนในต์ปฐมภูมิ ด้วยการวัดการกระจายพลังงานของรังสีเอกซ์ (EDXS) เพื่อศึกษาองค์ประกอบทางเคมีของขึ้นงานหลังการหล่อ พบว่าที่โครงสร้างพื้นของอสเทนในต์ปฐมภูมิจะประกอบด้วยธาตุเหล็ก, โครเมียม และคาร์บอน แสดงดังรูปที่ 4.4 - 4.5 ซึ่งพบว่ามีธาตุเหล็กที่โครงสร้างพื้นของอสเทนในต์ปฐมภูมิในปริมาณสูงกว่าธาตุอื่นๆ เนื่องจากโครงสร้างพื้นเป็นเฟสօอสเทนในต์ที่มีสารประกอบหลัก คือ เหล็ก และพบทธาตุโครเมียมและลายอยู่ในโครงสร้างพื้นของอสเทนในต์ปฐมภูมิ นอกจากนี้พบคาร์บอน แต่พบในปริมาณน้อย เนื่องจากเติมลงในเนื้อผ้าจำนวนมากเมื่อเทียบกับธาตุเหล็ก แสดงดังตารางที่ 4.1



รูปที่ 4.4 การวัดการกระจายพลังงานของรังสีเอกซ์ (EDXS) บริเวณโครงสร้างพื้นของเหล็กหล่อโครงเมียมสูงในสภาพหล่อที่ขึ้นรูปโดยวิธีการหล่อแบบชุบเปอร์ฮีทต์

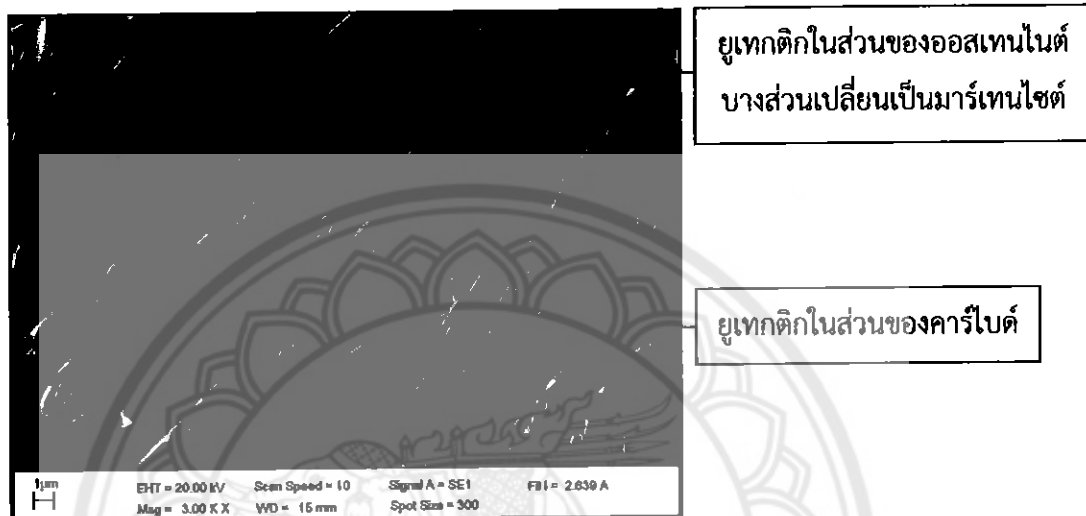


รูปที่ 4.5 สเปกตรัมของการวัดการกระจายพลังงานของรังสีเอกซ์ (EDXS) บริเวณโครงสร้างพื้นของเหล็กหล่อโครงเมียมสูงในสภาพหล่อที่ขึ้นรูปโดยวิธีการหล่อแบบชุบเปอร์ฮีทต์

ตารางที่ 4.1 ปริมาณธาตุที่ละลายอยู่ในโครงสร้างพื้นของเหล็กหล่อโครงเมียมสูงในสภาพหล่อที่ขึ้นรูปโดยวิธีการหล่อแบบชุบเปอร์ฮีทต์

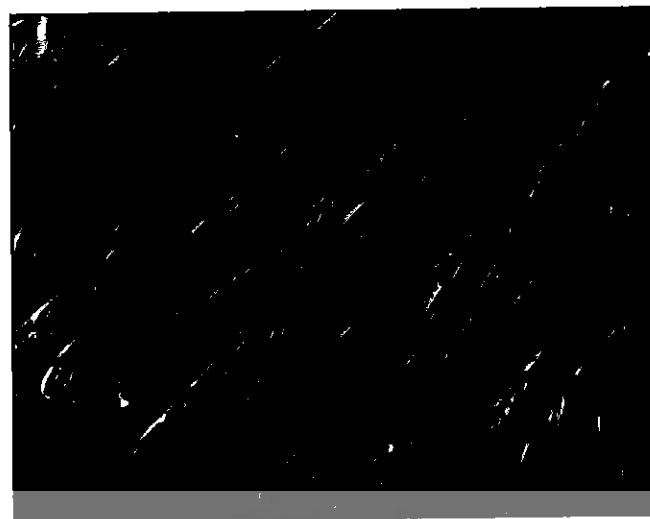
ธาตุ	ร้อยละโดยน้ำหนัก
เหล็ก	78.23
โครงเมียม	17.56
คาร์บอน	2.91
ชิลิคอน	1.29

จากนั้นได้ดำเนินการศึกษาลักษณะทางสัณฐานวิทยา ที่บริเวณยูเทกติการ์บีด-อสเทนในต์ ทำให้มองเห็นยูเทกติการ์บีด-อสเทนในต์ได้ชัดเจนมากยิ่งขึ้น ซึ่งยูเทกติกในส่วนของ การบีด มีลักษณะเป็นแท่งยาว เป็นแผ่น และมีความต่อเนื่องกัน นอกจากนี้ยังสามารถมองเห็น ยูเทกติกในส่วนของอสเทนในต์บางส่วนเปลี่ยนเป็นมาร์เทนไซต์ในระหว่างการเย็บตัวในแบบ หล่อ โดยจะเกิดขึ้นที่บริเวณขอบของยูเทกติกในส่วนของอสเทนในต์ แสดงดังรูปที่ 4.6

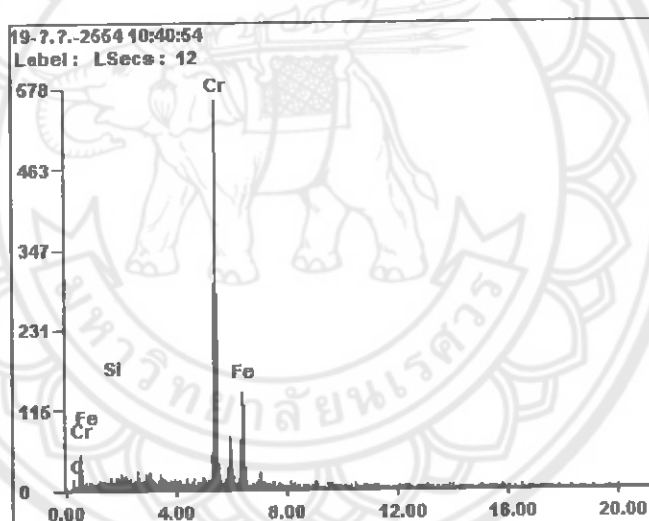


รูปที่ 4.6 ภาพถ่ายด้วยกล้อง SEM แสดงลักษณะทางสัณฐานวิทยาของเหล็กหล่อโครเมียมสูงใน สภาพหล่อที่ขึ้นรูปโดยวิธีการหล่อแบบชุบเปลอร์เรียท์

จากการใช้เทคนิคการวัดการกระจายพลังงานของรังสีเอกซ์ ศึกษาหาตัวภายในชิ้นงาน หลังการหล่อที่ตำแหน่งยูเทกติกในส่วนของการบีดจะประกอบด้วยธาตุโครเมียม, เหล็ก และ คาร์บอน แต่ที่บริเวณยูเทกติกในส่วนของการบีด พบร่วมมีธาตุโครเมียมละลายอยู่ในปริมาณสูงกว่า ธาตุอื่นๆ เนื่องจากบริเวณที่ใช้ในการศึกษาเป็นส่วนของการบีดที่มีสารประกอบหลัก คือ โครเมียม แสดงดังรูปที่ 4.7-4.8 ส่วนธาตุคาร์บอนที่บริเวณน้ำหนึ่นในปริมาณใกล้เคียงกับบริเวณโครงสร้างพื้นของ อสเทนในต์ปฐมภูมิ แต่ที่บริเวณยูเทกติกในส่วนของการบีดจะมีธาตุคาร์บอนอยู่ในปริมาณที่สูงกว่า เล็กน้อย เนื่องจากระหว่างการแข็งตัวของอสเทนในต์ปฐมภูมิ มีผลทำให้เกิดการแยกตัวของส่วนผสม โดยการผลักธาตุอื่นออกจากรวมตัวกันเป็นยูเทกติการ์บีด-อสเทนในต์ และธาตุโครเมียมกับ คาร์บอนมักจะรวมตัวกันเกิดเป็นยูเทกติกในส่วนของการบีด ทำให้คาร์บอนมีละลายอยู่ภายในนี้ มาก จึงทำให้คาร์บอนที่ละลายในโครงสร้างพื้นของอสเทนในต์ปฐมภูมิน้อยลง ซึ่งปริมาณของธาตุ ต่างๆ ที่ตำแหน่งยูเทกติกในส่วนของการบีด แสดงดังตารางที่ 4.2



รูปที่ 4.7 การวัดการกระจายพลังงานของรังสีเอกซ์ (EDXS) บริเวณโครงสร้างยูเทกติกในส่วนของคาร์บิดของเหล็กหล่อโครงเมียมสูงในสภาพหล่อที่ขึ้นรูปโดยวิธีการหล่อแบบชุบ-เปลอร์ซีทั่ว



รูปที่ 4.8 สเปกตรัมของการวัดการกระจายพลังงานของรังสีเอกซ์ (EDXS) บริเวณโครงสร้างยูเทกติก ในส่วนของคาร์บิดของเหล็กหล่อโครงเมียมสูงในสภาพหล่อที่ขึ้นรูปโดยวิธีการหล่อแบบชุบ-เปลอร์ซีทั่ว

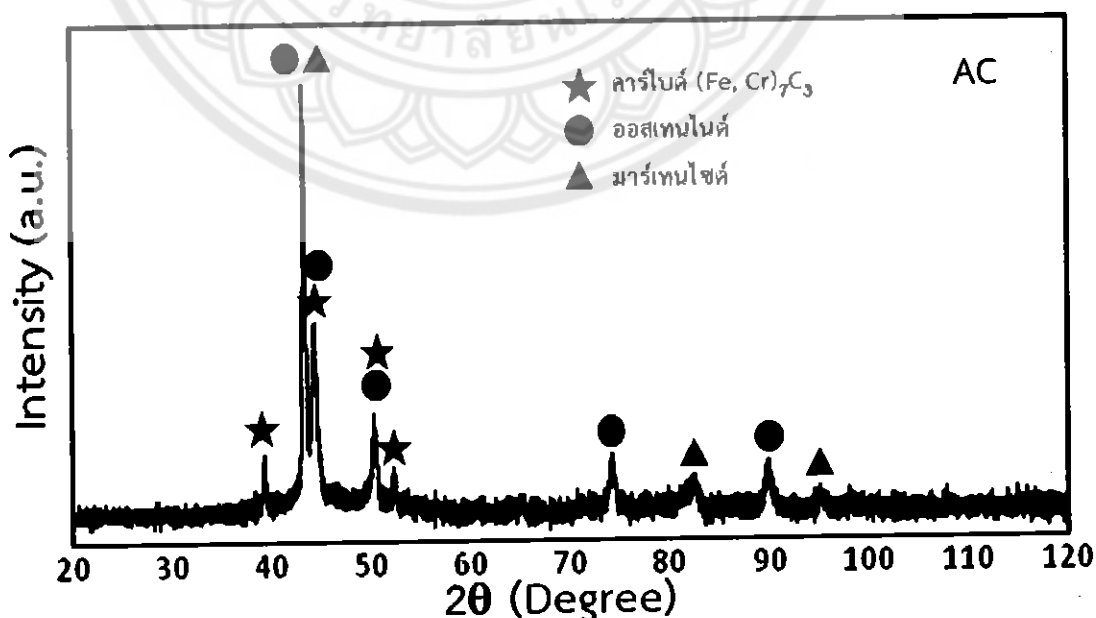
ตารางที่ 4.2 ปริมาณธาตุที่ละลายอยู่ในยูเทกติกคาร์บิดของเหล็กหล่อโครงเมียมสูงในสภาพหล่อที่ขึ้นรูปโดยวิธีการหล่อแบบชุปเปอร์อีทต์

ธาตุ	ร้อยละโดยน้ำหนัก
โครงเมียม	53.03
เหล็ก	41.73
คาร์บอน	4.42
ซิลิคอน	0.80

จากการวิเคราะห์ส่วนผสมทางเคมี ด้วยเทคนิคการวัดการกระจายพลังงานของรังสีเอกซ์ที่ตำแหน่งโครงสร้างพื้นของօอสเทนในตัวปฐมภูมิ และโครงสร้างยูเทกติกในส่วนของคาร์บิด พบร่วมกันของธาตุที่เกิดขึ้นของหั้งสองตำแหน่งจะมีปริมาณที่ต่างกัน ทำให้ทราบได้ว่าหั้งสองตำแหน่งมีเฟสที่ต่างชนิดกัน (แสดงดังตารางที่ ข.1 ภาคผนวก ข)

4.1.3 ผลการศึกษาเฟส

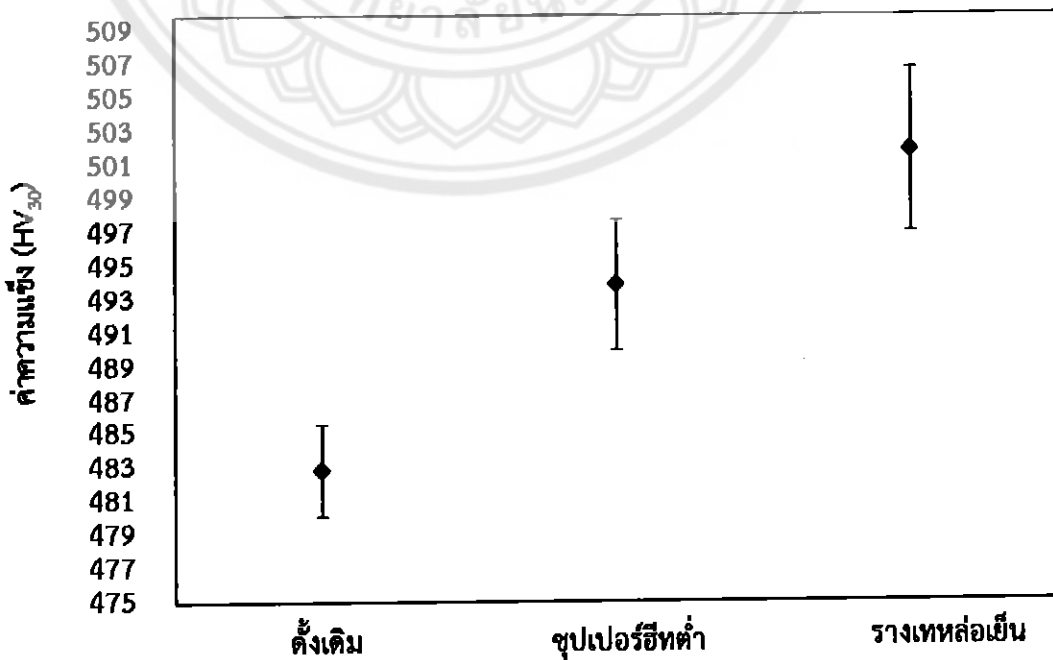
การศึกษาเฟสด้วยเทคนิคการเลี้ยวเบนของรังสีเอกซ์ (XRD) พบร่วมกันของเหล็กหล่อโครงเมียมสูงในสภาพหล่อปราภูมิเฟสของօอสเทนในตัวปฐมภูมิ ซึ่งเฟสօอสเทนในตัวปฐมภูมิในส่วนของօอสเทนในตัวปฐมภูมิที่เกิดเป็นโครงสร้างเด่นไดร์ท หรือกรนกลมในชิ้นงาน และยูเทกติกในส่วนของօอสเทนในตัวปฐมภูมิที่ไม่เด่น แต่เด่นในส่วนของมาร์เทนไซต์ที่เปลี่ยนมาจากยูเทกติกในส่วนของօอสเทนในตัวปฐมภูมิ ซึ่งมีการเปลี่ยนแปลงในแบบหล่อและมียูเทกติกคาร์บิดชนิด $(Fe, Cr)_7C_3$ แสดงดังรูปที่ 4.9 เกิดในระหว่างการเย็บตัวในแบบหล่อ และมียูเทกติกคาร์บิดชนิด $(Fe, Cr)_7C_3$ แสดงดังรูปที่ 4.9



รูปที่ 4.9 รูปแบบการเลี้ยวเบนของรังสีเอกซ์ของเหล็กหล่อโครงเมียมสูงที่ขึ้นรูปโดยวิธีการหล่อแบบชุปเปอร์อีทต์ในสภาพหล่อ

4.1.4 ผลการวัดค่าความแข็ง

ผลของการศึกษาความแข็งของเหล็กหล่อโครงเมียมสูงร้อยละ 25 โดยน้ำหนัก ด้วยเครื่องวัดความแข็งระดับมหภาคแบบวิกเกอร์ส (Vickers Macrohardness Testing) การวัดค่าความแข็งจะนำชิ้นงานแต่ละชิ้นมาวัดความแข็งแบบสุ่มจำนวน 10 จุด ด้วยแรงกด 30 กิโลกรัมแรง ใช้เวลา กด 15 วินาที พบร่วมกันว่าความแข็งของชิ้นงานที่ผ่านการขึ้นรูปโดยวิธีการหล่อแบบตั้งเติม แบบชุบเปอร์อีท ทำให้ได้ความแข็งสูงกว่าชิ้นงานที่ผ่านการขึ้นรูปโดยวิธีการหล่อแบบรังเทหล่อเย็น จึงให้ค่าความแข็งสูงที่สุด เมื่อจากการขึ้นรูปโดยวิธีการหล่อแบบรังเทหล่อเย็นจะให้โครงสร้างที่มีลักษณะเกรนกลมที่สมมาตร ทำให้สามารถรับแรงได้เท่ากันทุกทิศทางที่กระทำ อีกทั้งโครงสร้างที่มีลักษณะเกรนกลมมีผลทำให้ยูเทกติการ์ใบด์-ออสเทนในตัวมีการกระจายตัวที่สม่ำเสมอ กัน เช่นเดียวกับชิ้นงานที่ขึ้นรูปโดยวิธีการหล่อแบบชุบเปอร์อีทที่ทำให้ความแข็งรองลงมา ส่วนชิ้นงานที่ผ่านการขึ้นรูปโดยวิธีการหล่อแบบตั้งเติมที่มีโครงสร้างลักษณะเด่นไดร์ท มีผลทำให้การรับแรงของโครงสร้างในทิศทางต่างๆ จะรับแรงได้ไม่เท่ากัน เพราะโครงสร้างแบบนี้จะไม่มีความสมมาตร นอกจากนี้แขนของเดนไดร์ทจะส่งผลต่อการกระจายตัวของยูเทกติการ์ใบด์-ออสเทนในตัว กล่าวคือ ยิ่งแขนเดนไดร์ทมีขนาดใหญ่ก็จะทำให้การกระจายตัวของยูเทกติการ์ใบด์-ออสเทนในตัวไม่สม่ำเสมอ จึงทำให้สมบัติทางกลด้อยกว่าโครงสร้างที่มีความสมมาตร หรือโครงสร้างที่มีลักษณะเกรนกลม จึงเป็นเหตุให้มีค่าความแข็งน้อยสุด นอกจากนี้ยังแสดงให้เห็นว่าชิ้นงานที่ขึ้นรูปโดยวิธีการหล่อแบบชุบเปอร์อีท ทำให้ความแข็งต่างๆ 2 มีความแข็งแตกต่างไปจากชิ้นงานที่ขึ้นรูปโดยวิธีการหล่อแบบตั้งเติมอย่างสิ้นเชิง แสดงดังรูปที่ 4.10 (แสดงตั้งตารางที่ ค.1 - ค.3 ภาคผนวก ค)



รูปที่ 4.10 ผลของความแข็งของเหล็กหล่อโครงเมียมสูงในสภาพหล่อเย็น

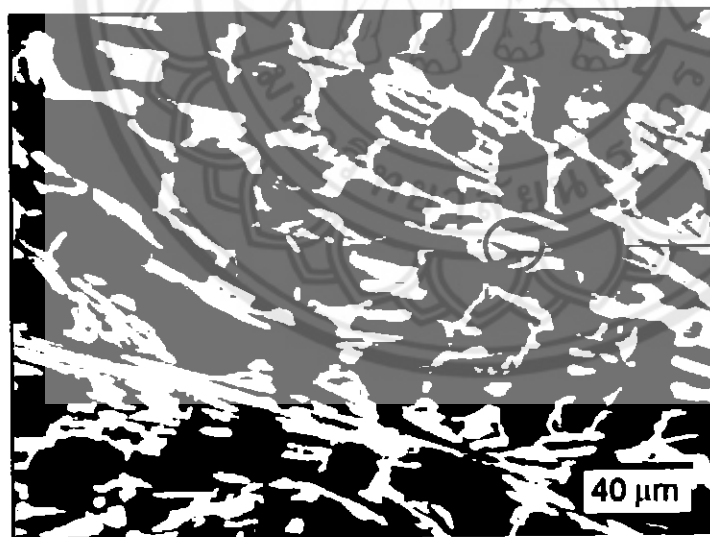
4.2 ผลการศึกษาเหล็กหล่อโครเมียมสูงหลังอบดีสเตบิไลเซชัน

เมื่อนำชิ้นงานที่ผ่านการขึ้นรูปโดยวิธีการหล่อแบบดั้งเดิม แบบชุบเปอร์ชีทต่า และแบบร่างเหลวหล่อเย็นไปผ่านกรรมวิธีทางความร้อนด้วยการอบดีสเตบิไลเซชันที่อุณหภูมิ 1000 องศาเซลเซียส เป็นเวลา 4 ชั่วโมง ด้วยเทาอบอุณหภูมิสูงแล้วปล่อยให้เย็นตัวในอากาศ เพื่อดำเนินการศึกษา ดังนี้

4.2.1 ผลการศึกษาโครงสร้างทางจุลภาค

การศึกษาโครงสร้างทางจุลภาคของชิ้นงาน พบว่าโครงสร้างพื้นของอสเทนในตัวปฐมภูมิ และยูเทกติกในส่วนของอสเทนในตัวในสภาพหล่อของชิ้นงาน ที่ขึ้นรูปโดยวิธีการหล่อแบบดั้งเดิม แบบชุบเปอร์ชีทต่า และแบบร่างเหลวหล่อเย็นมีการเปลี่ยนแปลงที่เหมือนกัน คือหลังผ่านการอบดีสเตบิไลเซชันโครงสร้างพื้นของอสเทนในตัวปฐมภูมิ และยูเทกติกในส่วนของอสเทนในตัว ได้เปลี่ยนจากสีขาวไปเป็นสีดำ ส่วนยูเทกติกในส่วนของคาร์ไบด์ไม่เกิดการเปลี่ยนแปลง

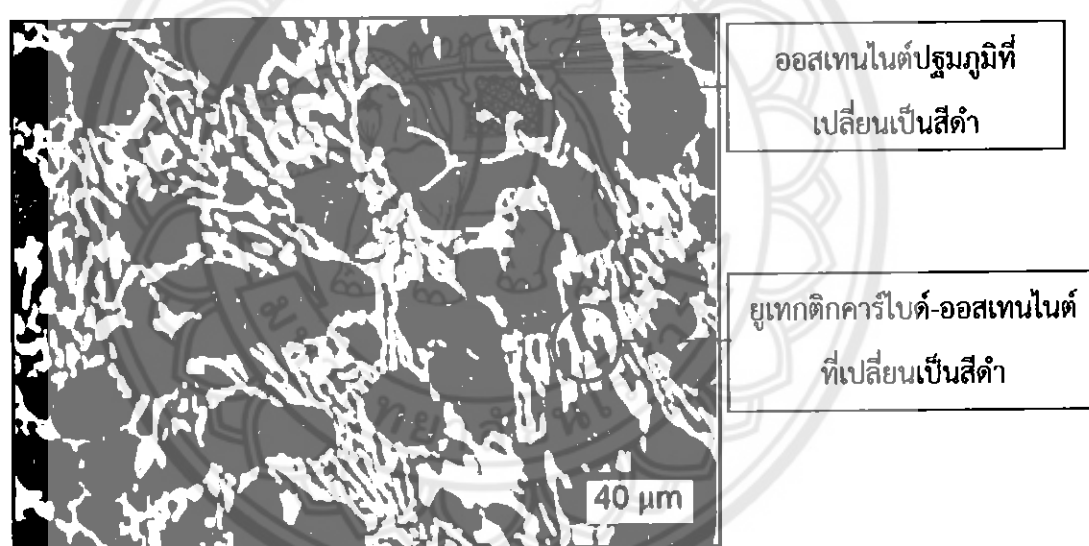
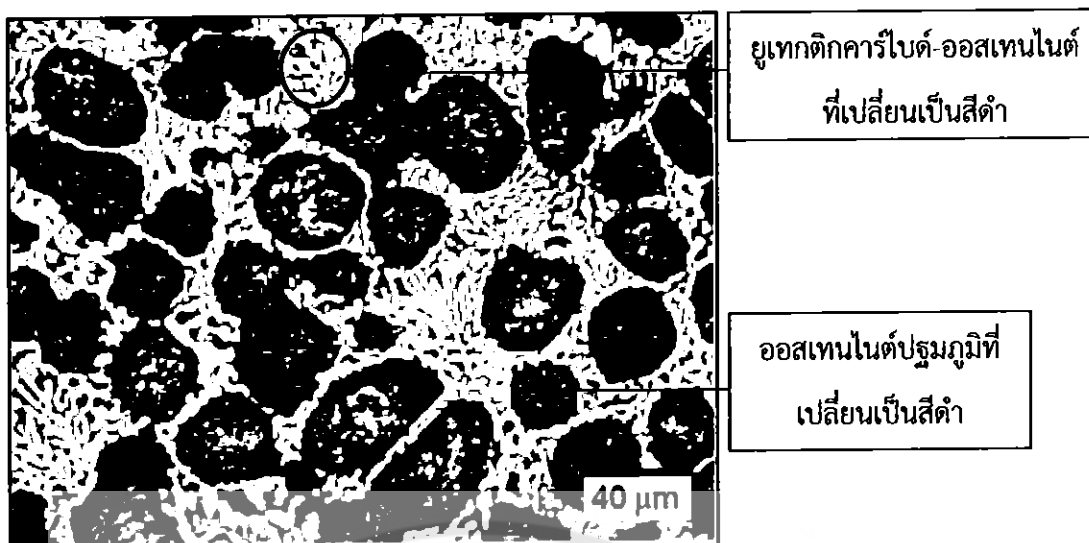
นอกจากนี้ชิ้นงานทั้ง 3 มีความแตกต่างกัน คือชิ้นงานที่ผ่านการขึ้นรูปโดยวิธีการหล่อแบบดั้งเดิมจะเป็นสีดำเข้มทั่วโครงสร้างเดนไดรท์ แสดงดังรูปที่ 4.11 แต่ชิ้นงานที่ขึ้นรูปโดยวิธีการหล่อแบบชุบเปอร์ชีทต่า และแบบร่างเหลวหล่อเย็นที่บริเวณขอบของโครงสร้างที่มีลักษณะกรุกลุมมีสีดำเข้ม ส่วนตรงกลางมีสีขาวขุ่นปนอยู่เหมือนกัน แสดงดังรูปที่ 4.12 - 4.13 (แสดงดังตารางที่ ก.1- ก.3 ภาคผนวก ก)



ยูเทกติกคาร์ไบด์-อสเทนในตัวที่เปลี่ยนเป็นสีดำ

อสเทนในตัวปฐมภูมิที่เปลี่ยนเป็นสีดำ

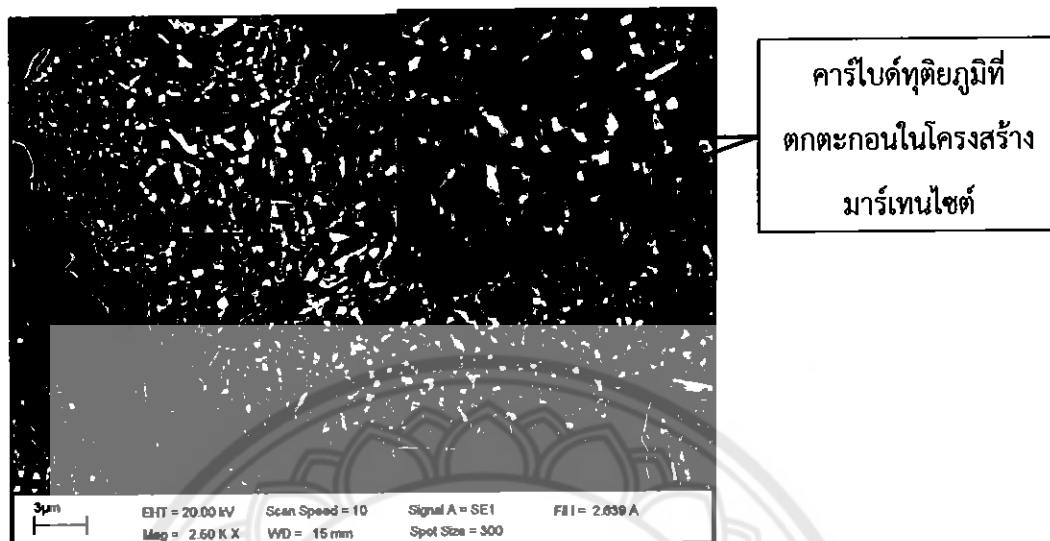
รูปที่ 4.11 โครงสร้างทางจุลภาคของเหล็กหล่อโครเมียมสูงที่ขึ้นรูปโดยวิธีการหล่อแบบดั้งเดิมหลังผ่านการอบดีสเตบิไลเซชันที่อุณหภูมิ 1000 องศาเซลเซียสเป็นเวลา 4 ชั่วโมง



4.2.2 ผลการศึกษาถักกษณะทางสัณฐานวิทยา

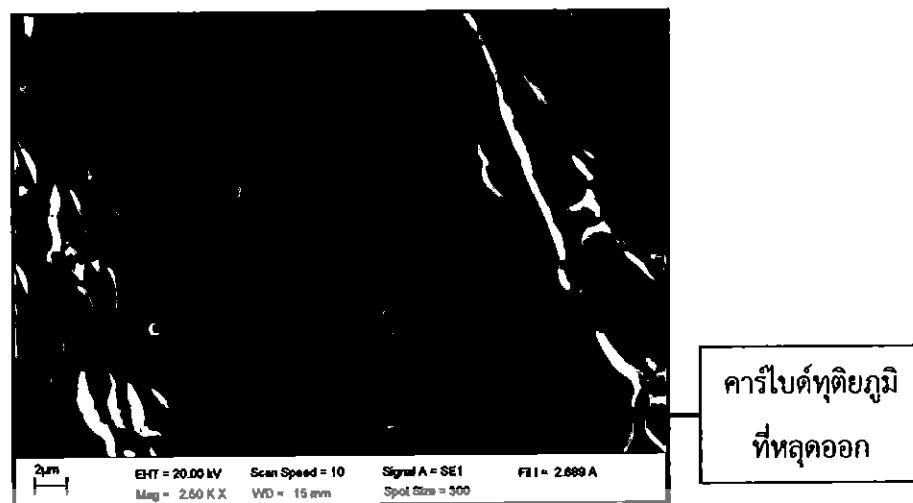
การศึกษาการเปลี่ยนแปลงที่เกิดขึ้นหลังการอบดีสเตบิไลเซชันด้วยกล้องจุลทรรศน์-อิเล็กตรอนแบบส่องกราด โดยจะนำชิ้นงานหลังจากผ่านการศึกษาโครงสร้างทางจุลภาคด้วยกล้องจุลทรรศน์แบบแสงมาใช้ในการศึกษาต่อด้วยกล้องจุลทรรศน์อิเล็กตรอนแบบส่องกราด การศึกษาที่กำลังขยายสูงขึ้น ทำให้มองเห็นการแตกตะกอนของคาร์ไบด์ทุติยภูมิที่แตกตะกอนอยู่ภายในโครงสร้างพื้นที่เปลี่ยนจากօอสเทนในต์เป็นมาร์เทนไฮต์ จึงทำให้มองเห็นด้วยกล้องจุลทรรศน์แบบแสงเป็นสีดำ ส่วนคาร์ไบด์ทุติยภูมิจะเป็นสีขาว โดยคาร์ไบด์ทุติยภูมิที่เกิดขึ้นนี้เกิดจากธาตุโลหะเมียม และการรับอนที่

ละลายในลักษณะเกินจุดอิ่มตัวที่օอสเทนไนต์จะยอมให้ละลายอยู่ได้ เมื่อผ่านการอบดีสเตบีไลเซน์ ทำให้ชาตุโครงเมียม และการบอนแยกตัวออกจากกันเป็นคาร์บอนทุติยภูมิ แสดงดังรูปที่ 4.14



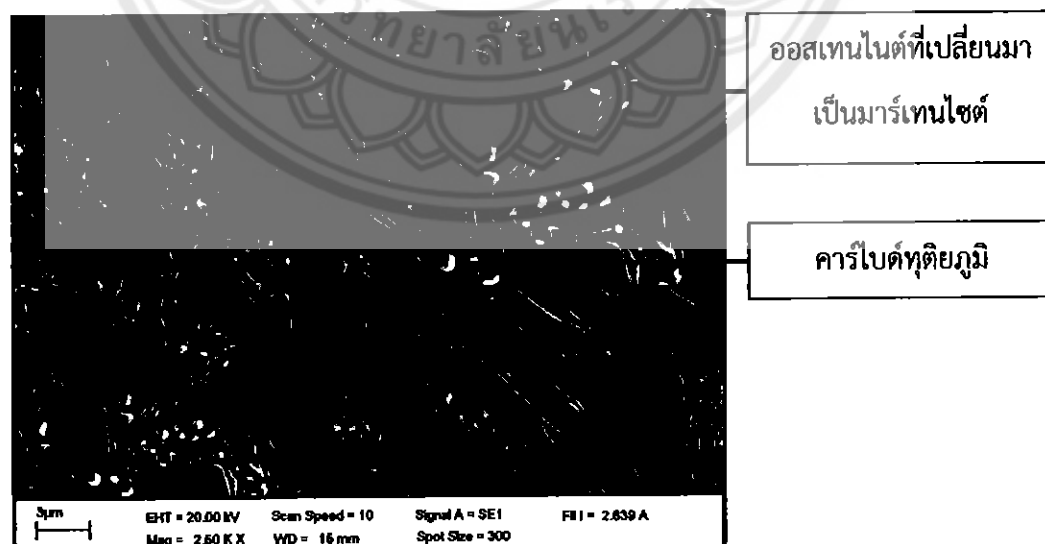
รูปที่ 4.14 ลักษณะทางสัณฐานวิทยาของเหล็กหล่อโครงเมียมสูงที่ผ่านการขึ้นรูปโดยวิธีการหล่อแบบชุปเปอร์ซีทั่หลังผ่านการอบดีสเตบีไลเซน์ที่อุณหภูมิ 1000 องศาเซลเซียส เป็นเวลา 4 ชั่วโมง บริเวณโครงสร้างพื้นของมาร์เกนไซต์

เพื่อที่จะมองลักษณะของการใบดีทุติยภูมิที่ซัดมากยิ่งขึ้น จึงใช้กรดที่มีส่วนผสมของ $KMnO_4$ 4 กรัม + $NaOH$ 4 กรัม + น้ำ 100 มิลลิลิตร โดยให้ความร้อนที่อุณหภูมิ 40 องศาเซลเซียส เป็นเวลา 10 นาที ส่งผลให้การใบดีทุติยภูมิที่อยู่ในโครงสร้างพื้นของมาร์เกนไซต์หลุดออก ขนาดของ การใบดีทุติยภูมิที่บริเวณขอบของเดนไدر์ทที่อยู่ติดกับยูเทกติกการใบดี-օอสเทนไนต์เปลี่ยนเป็น มาร์เกนไซต์จะเกิดการตกตะกอนปริมาณมาก และมีขนาดเล็ก เนื่องจากบริเวณดังกล่าวอยู่ใกล้กับ ยูเทกติกการใบดี-օอสเทนไนต์ที่มีปริมาณของชาตุโครงเมียม และการบอนที่สูง จึงทำให้การเกิด นิวเคลียสของการใบดีทุติยภูมิภายในโครงสร้างพื้นที่เปลี่ยนเป็นมาร์เกนไซต์ที่บริเวณขอบของเดน-ไдр์ทซึ่งเกิดขึ้นได้มาก ทำให้การโดยของนิวเคลียสไปเป็นการใบดีทุติยภูมิที่มีขนาดเล็ก แต่บริเวณ กึ่งกลางของเดนไдр์ทจะเกิดการตกตะกอนของการใบดีทุติยภูมิน้อย และมีขนาดที่ใหญ่ เนื่องจาก บริเวณกึ่งกลางของเดนไдр์ทจะอยู่ห่างออกไปจากยูเทกติกการใบดี-օอสเทนไนต์เปลี่ยนเป็นมาร์เกนไซต์ การเกิดนิวเคลียสของการใบดีทุติยภูมิภายในโครงสร้างมาร์เกนไซต์ที่บริเวณกึ่งกลางของเดน-ไдр์ทจะเกิดขึ้นน้อย จึงทำให้การโดยของนิวเคลียสไปเป็นการใบดีทุติยภูมิมีขนาดที่ใหญ่ แสดงดังรูปที่ 4.15



รูปที่ 4.15 ลักษณะทางสัณฐานวิทยาของเหล็กหล่อโครงเมียมสูงที่ผ่านการขึ้นรูปโดยวิธีการหล่อแบบซุปเปอร์ชีทต์หลังผ่านการอบดีสเตบิไลเซชันที่อุณหภูมิ 1000 องศาเซลเซียส เป็นเวลา 4 ชั่วโมง บริเวณโครงสร้างพื้นหลังกัดกรดที่มีส่วนผสมของ $KMnO_4$ 4 กรัม + $NaOH$ 4 กรัม + น้ำ 100 มิลลิลิตร

เมื่อเปลี่ยนรูปแบบมาเป็นรูปแบบของโครงสร้างพื้นหลังกัดกรดที่มีส่วนผสมของ $KMnO_4$ 4 กรัม + $NaOH$ 4 กรัม + น้ำ 100 มิลลิลิตร บริเวณโครงสร้างพื้นหลังกัดกรดที่มีส่วนผสมของ $KMnO_4$ 4 กรัม + $NaOH$ 4 กรัม + น้ำ 100 มิลลิลิตรจะมีรูปร่างและลักษณะทางสัณฐานวิทยาที่เปลี่ยนแปลงไปเป็นรูปแบบของโครงสร้างพื้นหลังกัดกรดที่มีส่วนผสมของ $KMnO_4$ 4 กรัม + $NaOH$ 4 กรัม + น้ำ 100 มิลลิลิตร แต่จะคงรูปแบบเดิมที่มีอยู่ในรูปแบบเดิมที่ไม่ได้เปลี่ยนแปลงไป

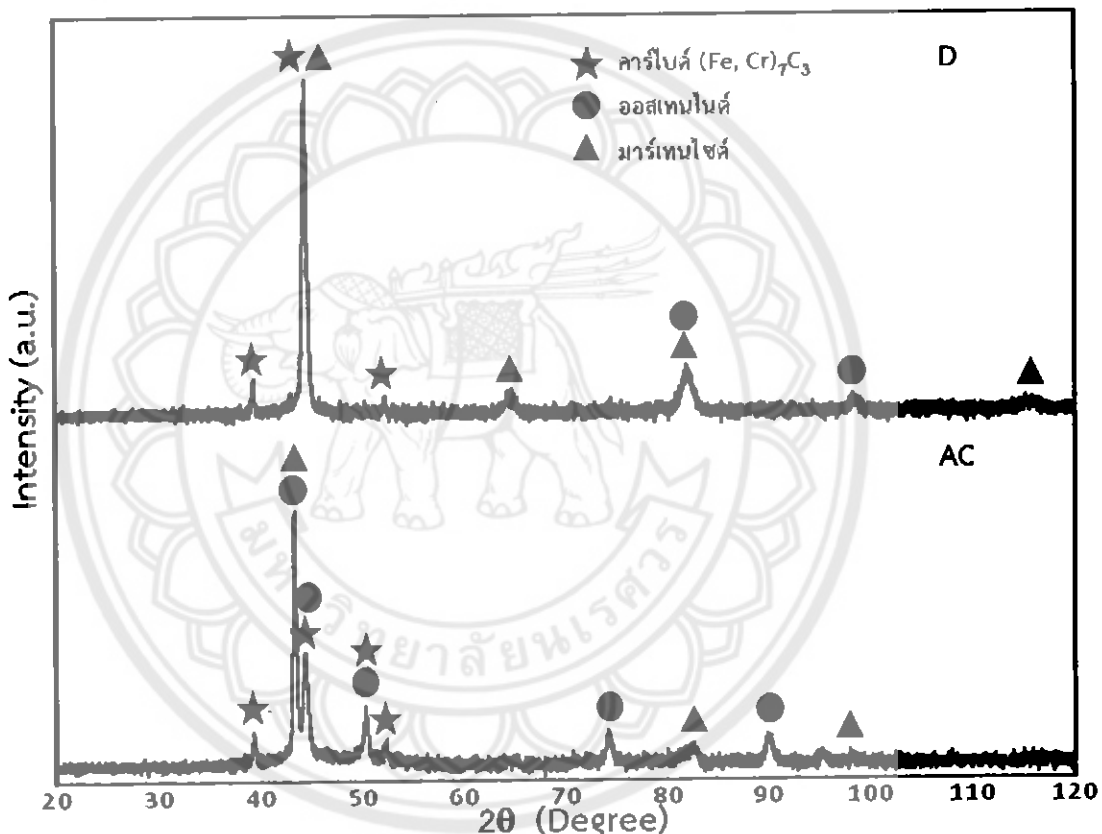


รูปที่ 4.16 ลักษณะทางสัณฐานวิทยาของเหล็กหล่อโครงเมียมสูงที่ผ่านการขึ้นรูปโดยวิธีการหล่อแบบซุปเปอร์ชีทต์หลังผ่านการอบดีสเตบิไลเซชันที่อุณหภูมิ 1000 องศาเซลเซียส เป็นเวลา 4 ชั่วโมง บริเวณโครงสร้างพื้นหลังกัดกรดที่มีส่วนผสมของ $KMnO_4$ 4 กรัม + $NaOH$ 4 กรัม + น้ำ 100 มิลลิลิตร

4.2.3 ผลการศึกษาเฟส

เมื่อขึ้นงานถูกนำไปผ่านการอบดีสเตบีไลเซชันจากวิเคราะห์ด้วยเทคนิคการเลี้ยงเบนของรังสีเอกซ์ พบว่าเฟสของօอสเทนในตัวเรื้องปัจจุบันขึ้นเป็นเดียวกับในสภาพหล่อรวมทั้งการใบดีบวน (Fe, Cr)₇C₃ และเฟสของมาร์เกนไชต์ก็จะปราบขึ้นเป็นเดียวกัน แต่ผลจากการอบดีสเตบีไลเซชันทำให้มีพิเศษของมาร์เกนไชต์เกิดเพิ่มขึ้น เนื่องจากเกิดการเปลี่ยนเฟสของօอสเทนในตัวจากสภาพหล่อมาเป็นมาร์เกนไชต์หลังผ่านการอบดีสเตบีไลเซชัน แสดงดังรูปที่ 4.17

จากการศึกษาทำให้เห็นได้ว่าหลังการอบดีสเตบีไลเซชันเฟสօอสเทนในตัวปฐมภูมิไม่ได้เปลี่ยนเป็นมาร์เกนไชต์ทั้งหมดยังคงเหลือเฟสօอสเทนในตัวตกค้างบางส่วน (Retained Austenite)

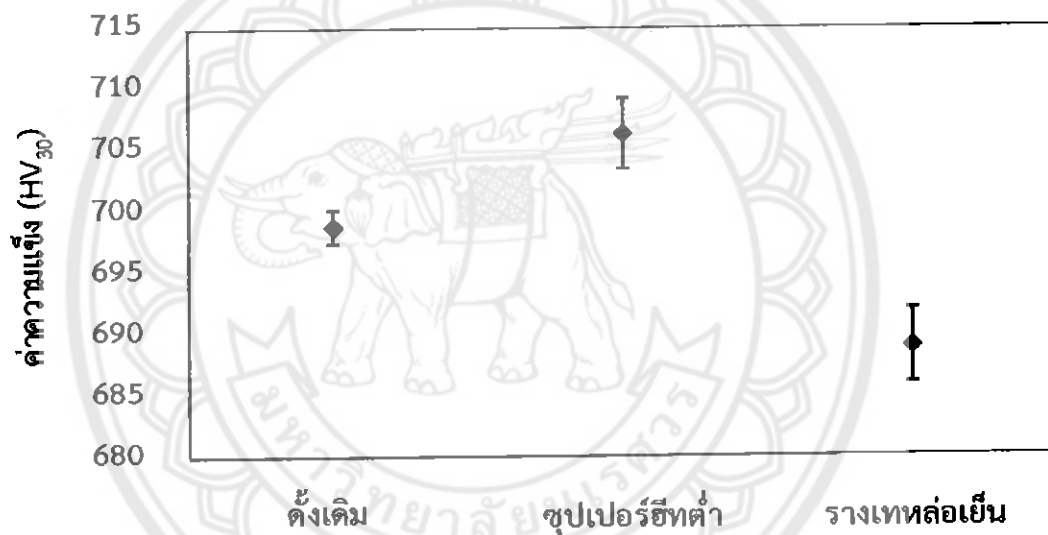


รูปที่ 4.17 รูปแบบการเลี้ยงเบนของรังสีเอกซ์ของเหล็กหล่อโครงเมียมสูงที่ขึ้นรูปโดยวิธีการหล่อแบบชุบเปอร์ฮีทต่ำหลังอบดีสเตบีไลเซชันที่อุณหภูมิ 1000 องศาเซลเซียส เป็นเวลา 4 ชั่วโมง

4.2.4 ผลการวัดค่าความแข็ง

จากการวัดค่าความแข็งของเหล็กหล่อโครงเมียมสูงที่ผ่านการขึ้นรูปโดยวิธีการหล่อแบบดั้งเดิม แบบชุบเปอร์ฮีทต่ำ และแบบรังแทลล์อย์น พบร่วมค่าความแข็งโดยเฉลี่ยของขั้นงานที่ผ่านการขึ้นรูปจาก 3 วิธีดังกล่าวเพิ่มขึ้นกว่าในสภาพหล่อ เนื่องจากการเปลี่ยนแปลงของโครงสร้างพื้นจากօอสเทนในตัวปฐมภูมิไปเป็นมาร์เกนไชต์ที่มีความแข็งมากกว่า และมีการตกตะกอนของการใบดีบวนทุติยภูมิภายในโครงสร้างที่เปลี่ยนเป็นมาร์เกนไชต์ โดยทางตอนของการใบดีบวนทุติยภูมิเกิดจากรูมตัว

ของธาตุเหล็ก, โครงเมียม และการบอน ซึ่งเป็นอะกอนที่มีความแข็งสูงกว่าโครงสร้างของมาร์เทนไซต์ เมื่อถูกห่อหุ้มด้วยโครงสร้างพื้นของมาร์เทนไซต์ที่มีความแข็ง จึงทำให้ความแข็งของชิ้นงานหลังผ่านการอบดีสเตบีไลเซชันเพิ่มมากขึ้น นอกจากนี้อัตราเส้นในตัวที่ตอกค้างบางส่วนจะทำให้ชิ้นงานมีความเก็บตอกค้าง ซึ่งความเก็บตอกค้างนี้จะทำให้ชิ้นงานเปลี่ยนจากอัตราเส้นในตัวที่ตอกค้างไปเป็นมาร์เทนไซต์ได้เมื่อมีแรงม้ากระทำ ซึ่งอัตราเส้นในตัวที่ตอกค้างนี้ก็จะมีส่วนเพิ่มความแข็งให้กับชิ้นงาน เช่นกัน ความแข็งเฉลี่ยของชิ้นงานที่ขึ้นรูปโดยวิธีการหล่อแบบดั้งเดิม แบบชุบเปอร์ฮีทต์ และแบบรังเทหหล่อเย็น เป็นดังนี้ 672, 706 และ 688 HV₃₀ ตามลำดับ โดยชิ้นงานทั้ง 3 ชิ้น หลังผ่านการอบดีสเตบีไลเซชัน ทำให้ชิ้นงานแต่ละชิ้นมีค่าความแข็งที่ต่างกันมาก ซึ่งชิ้นงานที่ผ่านการขึ้นรูปโดยวิธีการหล่อแบบชุบเปอร์ฮีทต์หลังผ่านการอบดีสเตบีไลเซชันจะมีค่าความแข็งสูงที่สุด และดังรูปที่ 4.18 (แสดงดังตารางที่ ค.1 - ค.3 ภาคผนวก ค)



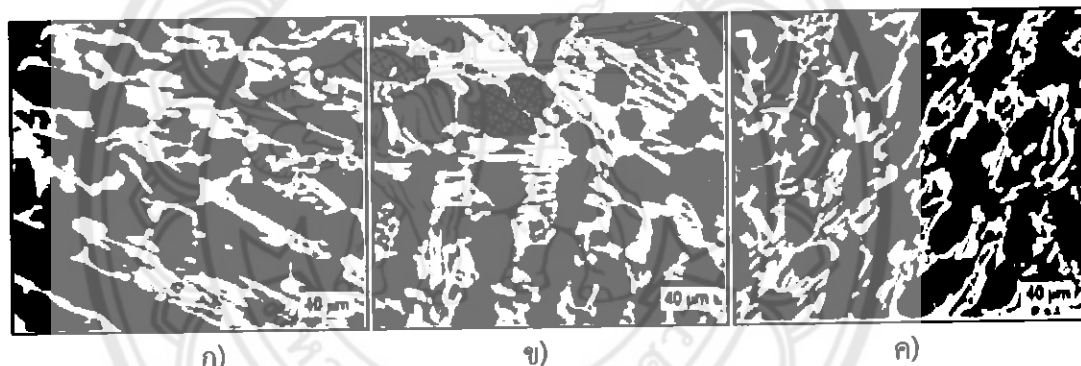
รูปที่ 4.18 ผลของการแข็งของเหล็กหล่อโครงเมียมสูงหลังผ่านการอบดีสเตบีไลเซชันที่อุณหภูมิ 1000 องศาเซลเซียส เป็นเวลา 4 ชั่วโมง

4.3 ผลการศึกษาเหล็กหล่อโครงเมียมสูงหลังอบเทมเปอร์ริง

เมื่อนำชิ้นงานที่ผ่านการขึ้นรูปโดยวิธีการหล่อแบบดั้งเดิม แบบชุบเปอร์ชีทต่า และแบบร่างเหลวอ่อนเย็นหลังการอบดีสเตบีไลเซนท์ที่อุณหภูมิ 1000 องศาเซลเซียส เป็นเวลา 4 ชั่วโมง แล้วปล่อยให้เย็นตัวในอากาศ และอบเทมเปอร์ริงที่อุณหภูมิ 500 องศาเซลเซียส เป็นเวลา 4, 8 และ 12 ชั่วโมง ตามลำดับ แล้วปล่อยให้เย็นตัวในอากาศ เพื่อดำเนินการศึกษาดังต่อไปนี้

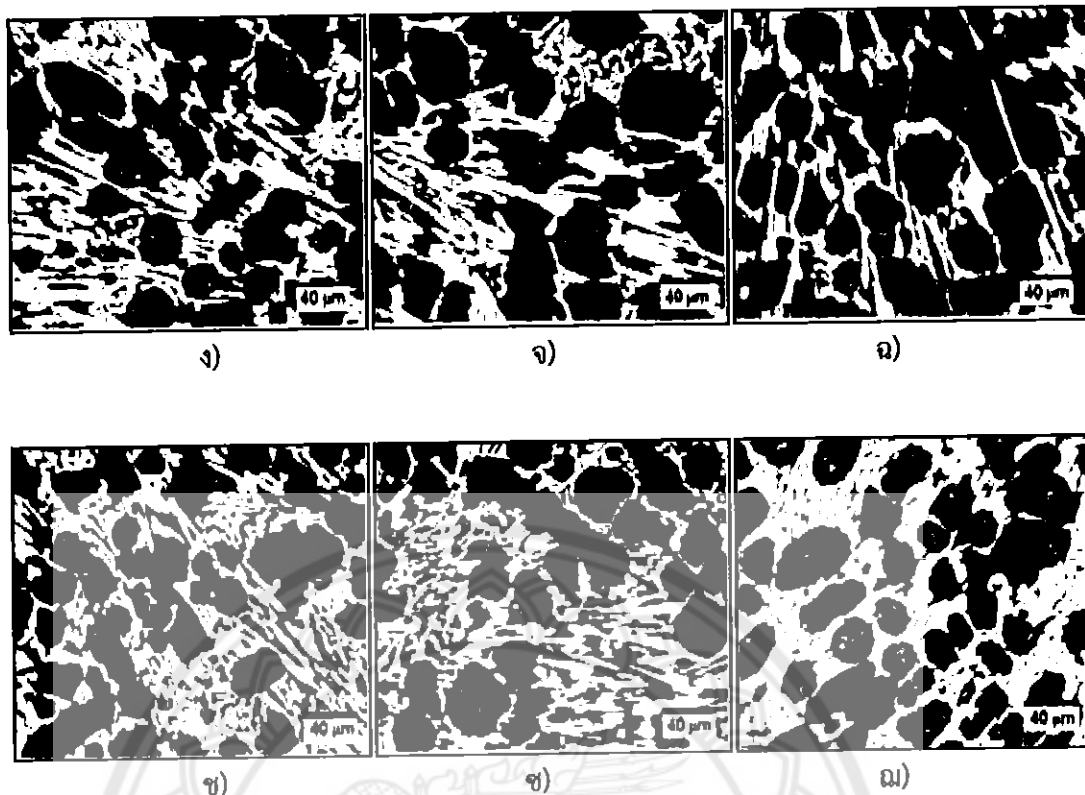
4.3.1 ผลการศึกษาโครงสร้างทางจุลภาค

โครงสร้างทางจุลภาคของเหล็กหล่อโครงเมียมสูงที่ผ่านการขึ้นรูปโดยวิธีการหล่อแบบดั้งเดิม แบบชุบเปอร์ชีทต่า และแบบร่างเหลวอ่อนเย็นด้วยกล้องจุลทรรศน์แบบแสง โครงสร้างทางจุลภาคของชิ้นงานที่ผ่านการขึ้นรูปจาก 3 วิธี เมื่อศึกษาโครงสร้างทางจุลภาคจะไม่แตกต่างไปจากชิ้นงานหลังผ่านการอบดีสเตบีไลเซนท์ คือโครงสร้างพื้นเป็นมาร์เกนไซต์ เช่นเดียวกับชิ้นงานหลังผ่านการอบดีสเตบีไลเซนท์ แสดงดังรูปที่ 4.19 (แสดงดังตารางที่ ก.1 - ก.3 ภาคผนวก ก)



รูปที่ 4.19 โครงสร้างทางจุลภาคของเหล็กหล่อโครงเมียมสูงที่ผ่านการอบดีสเตบีไลเซนท์ที่อุณหภูมิ 1000 องศาเซลเซียสเป็นเวลา 4 ชั่วโมง ร่วมกับการอบเทมเปอร์ริงที่อุณหภูมิ 500 องศาเซลเซียส

- ก) ชิ้นรูปโดยวิธีการหล่อแบบดั้งเดิมหลังผ่านการอบเทมเปอร์ริงที่ 4 ชั่วโมง
- ข) ชิ้นรูปโดยวิธีการหล่อแบบดั้งเดิมหลังผ่านการอบเทมเปอร์ริงที่ 8 ชั่วโมง
- ค) ชิ้นรูปโดยวิธีการหล่อแบบดั้งเดิมหลังผ่านการอบเทมเปอร์ริงที่ 12 ชั่วโมง



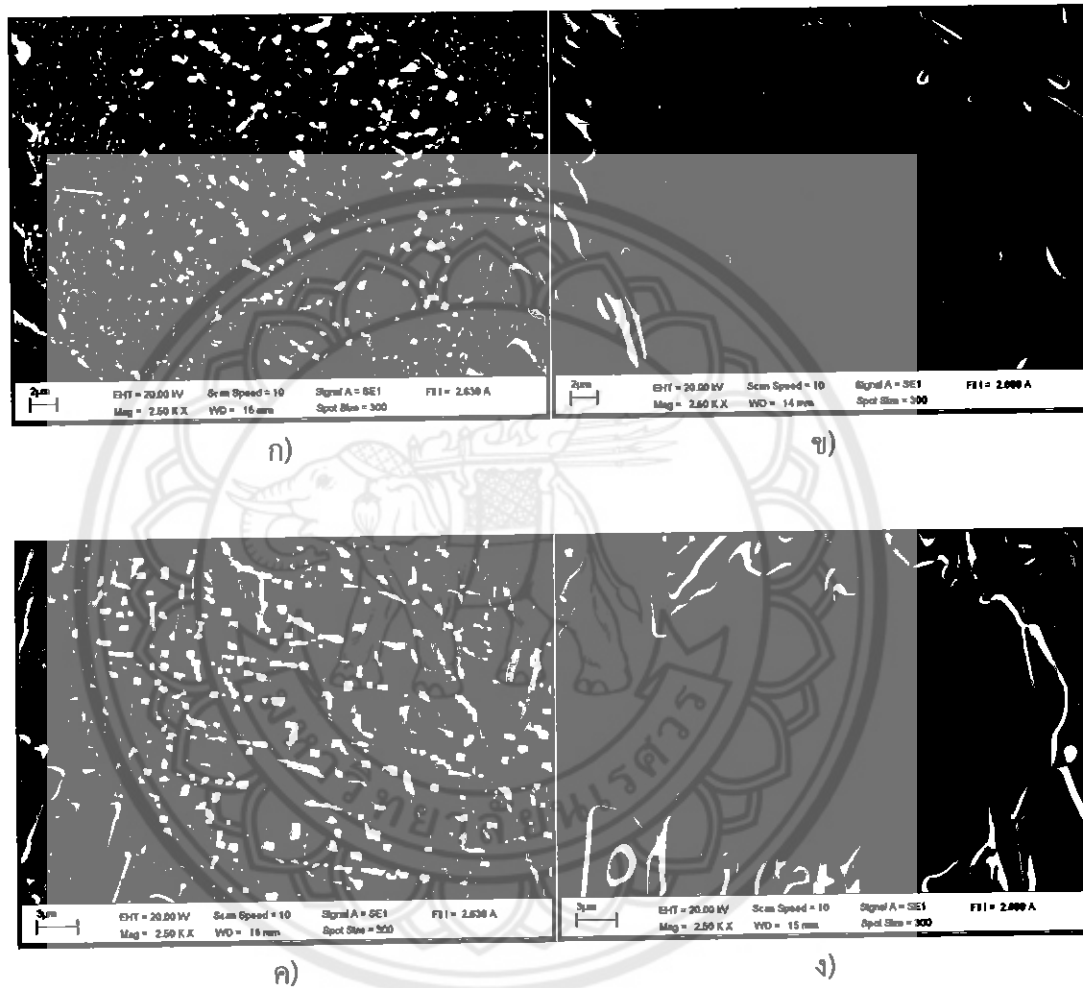
รูปที่ 4.19 (ต่อ) โครงสร้างทางจุลภาคของเหล็กหล่อโคโรเมียมสูงที่ผ่านการอบดีสเตบิไลเซชันที่ อุณหภูมิ 1000 องศาเซลเซียส เป็นเวลา 4 ชั่วโมง ร่วมกับการอบเทมเปอร์ริ่งที่ อุณหภูมิ 500 องศาเซลเซียส

- (ก) ขั้นรูปโดยวิธีการหล่อแบบซุปเปอร์ชีทต่ำหลังผ่านการอบเทมเปอร์ริ่งที่ 4 ชั่วโมง
- (ข) ขั้นรูปโดยวิธีการหล่อแบบซุปเปอร์ชีทต่ำหลังผ่านการอบเทมเปอร์ริ่งที่ 8 ชั่วโมง
- (ค) ขั้นรูปโดยวิธีการหล่อแบบซุปเปอร์ชีทต่ำหลังผ่านการอบเทมเปอร์ริ่งที่ 12 ชั่วโมง
- (ง) ขั้นรูปโดยวิธีการหล่อแบบบรรเทาเหลวเย็นหลังผ่านการอบเทมเปอร์ริ่งที่ 4 ชั่วโมง
- (จ) ขั้นรูปโดยวิธีการหล่อแบบบรรเทาเหลวเย็นหลังผ่านการอบเทมเปอร์ริ่งที่ 8 ชั่วโมง
- (ฉ) ขั้นรูปโดยวิธีการหล่อแบบบรรเทาเหลวเย็นหลังผ่านการอบเทมเปอร์ริ่งที่ 12 ชั่วโมง

4.3.2 ผลการศึกษาลักษณะทางสัณฐานวิทยา

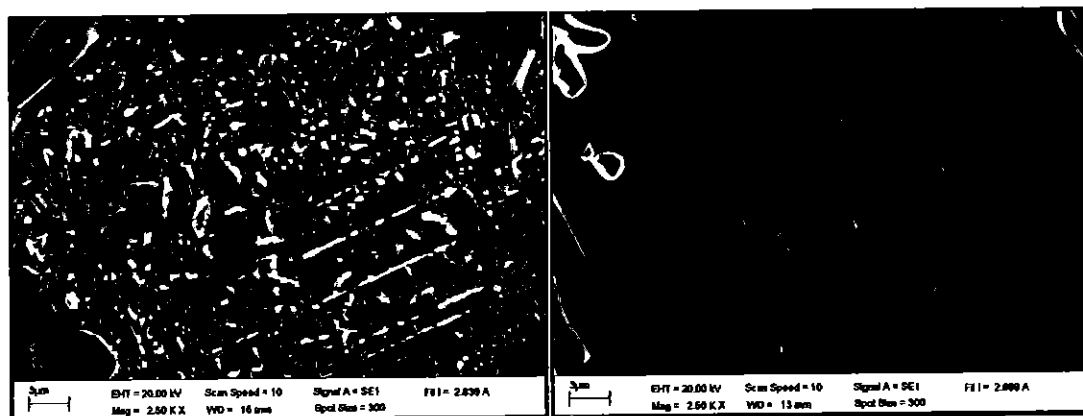
ขั้นงานหลังจากการอบดีสเตบิไลเซชันมีการใบดีทุติยภูมิทักษะกอนในโครงสร้างพื้นที่เปลี่ยนเป็นมาร์เกนไชต์ เมื่อนำไปผ่านการอบเทมเปอร์ริ่งที่เวลา 4, 8 และ 12 ชั่วโมง พบร่วมกับการใบดีทุติยภูมิที่ตกตะกอนในโครงสร้างพื้นของมาร์เกนไชต์มีขนาดใหญ่ขึ้น โดยที่ขนาดของคริสตัลทุติยภูมิ มีขนาดใหญ่ขึ้นเรื่อยๆ ตามเวลาอบเทมเปอร์ริ่งที่นานขึ้น และการใบดีทุติยภูมิที่ใหญ่ขึ้นนี้มีแนวโน้มที่เข้ามาเชื่อมติดกันเป็นแท่งยาว ซึ่งเห็นได้ชัดเจนหลังผ่านการอบเทมเปอร์ริ่งนาน 12 ชั่วโมง นอกจากนี้

ยังมีการใบค์ทุติยภูมิที่ทกตะกอนขึ้นมาใหม่มีลักษณะเป็นเม็ดเล็กๆ ซึ่งการใบค์ทุติยภูมิที่ทกตะกอนขึ้นมาใหม่นี้ ที่เวลา 4 ชั่วโมง จะมีขนาดที่เล็ก และมีปริมาณ้อยกว่าที่เวลา 8 และ 12 ชั่วโมง แสดง (ตั้งรูปที่ 4.20 ก) - ฉ) หั้นี้สาเหตุที่การใบค์ทุติยภูมิมีขนาดใหญ่ขึ้น และทกตะกอนขึ้นใหม่มีปริมาณมากขึ้นตามเวลาที่ใช้อบเทมเปอร์ริง เนื่องจากโครงเมียม และควรบอนมีเวลานานขึ้นที่จะแยกตัวออกจากโครงสร้างเพื่มาร่วมตัวกันเป็นการใบค์ทุติยภูมิ (แสดงดังตารางที่ ข.4 - ข.6 ภาคผนวก ข)



รูปที่ 4.20 ลักษณะทางสัมฐานวิทยาของเหล็กหล่อโครงเมียมสูงที่ผ่านการขึ้นรูปโดยวิธีการหล่อแบบชุบเบอร์ชีทต่ำหลังผ่านการอบเตาเต็ปไอลเซ็นที่อุณหภูมิ 1000 องศาเซลเซียส เป็นเวลา 4 ชั่วโมง ร่วมกับการอบเทมเปอร์ริงที่อุณหภูมิ 500 องศาเซลเซียส

- ก) อบเทมเปอร์ริ่งที่ 4 ชั่วโมง
- ข) อบเทมเปอร์ริ่งที่ 4 ชั่วโมงกัดด้วยกรดที่มีส่วนผสมของ $KMnO_4$ 4 กรัม + $NaOH$ 4 กรัม + น้ำ 100 มิลลิลิตร
- ค) อบเทมเปอร์ริ่งที่ 8 ชั่วโมง
- ง) อบเทมเปอร์ริ่งที่ 8 ชั่วโมงกัดด้วยกรดที่มีส่วนผสมของ $KMnO_4$ 4 กรัม + $NaOH$ 4 กรัม + น้ำ 100 มิลลิลิตร



(a)

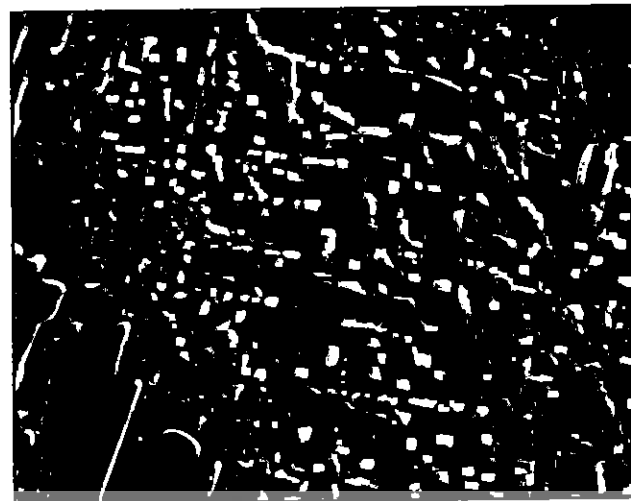
(b)

รูปที่ 4.20 (ต่อ) ลักษณะทางสัณฐานวิทยาของเหล็กหล่อโครงเมียมสูงที่ผ่านการขึ้นรูปโดยวิธีการห่อแบบซุปเปอร์อีทต่ำหลังผ่านการอบดีสเตบีเลเซชันที่อุณหภูมิ 1000 องศาเซลเซียส เป็นเวลา 4 ชั่วโมง ร่วมกับการอบเพาเวอร์ที่อุณหภูมิ 500 องศาเซลเซียส

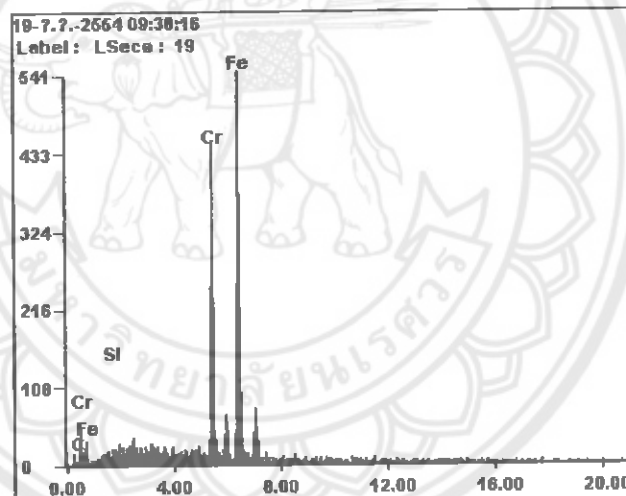
(a) อบเพาเวอร์ที่ 12 ชั่วโมง

(b) อบเพาเวอร์ที่ 12 ชั่วโมงกัดด้วยกรดที่มีส่วนผสมของ $KMnO_4$ 4 กรัม + $NaOH$ 4 กรัม + น้ำ 100 มิลลิลิตร

การวิเคราะห์องค์ประกอบทางเคมีด้วยการวัดการกระจายพลังงานของรังสีเอกซ์ (EDXS) ที่ตำแหน่งของคาร์ไบด์ทุติยภูมิที่ตกตะกอนในโครงสร้างของมาร์เกนไชต์ พบรากุเหล็ก, โครงเมียม, และคาร์บอน ปริมาณของรากุโครงเมียมที่ตำแหน่งนี้จะน้อยกว่ารากุเหล็ก แสดงดังรูปที่ 4.21 – 4.22 และตารางที่ 4.5 ซึ่งคาร์ไบด์ทุติยภูมินี้เกิดจากรากุเหล็ก, โครงเมียม และคาร์บอน แยกตัวออกจากกันเป็นคาร์ไบด์ทุติยภูมิในระหว่างผ่านกรรมวิธีทางความร้อน (แสดงดังตารางที่ 4.2 ภาคผนวก ฯ)



รูปที่ 4.21 การวัดการกระจายพลังงานของรังสีเอกซ์ (EDXS) บริเวณคราบในด้ทุติยภูมิของเหล็กหล่อโครงเมียมสูงที่ผ่านการขึ้นรูปโดยวิธีการหล่อแบบชุบเปอร์ไฮท์ท่าหลังผ่านการอบดีสเตบิไลเซชันที่อุณหภูมิ 1000 องศาเซลเซียส เป็นเวลา 4 ชั่วโมง ร่วมกับการอบเทมเปอร์ริ่งที่อุณหภูมิ 500 องศาเซลเซียส เป็นเวลา 8 ชั่วโมง



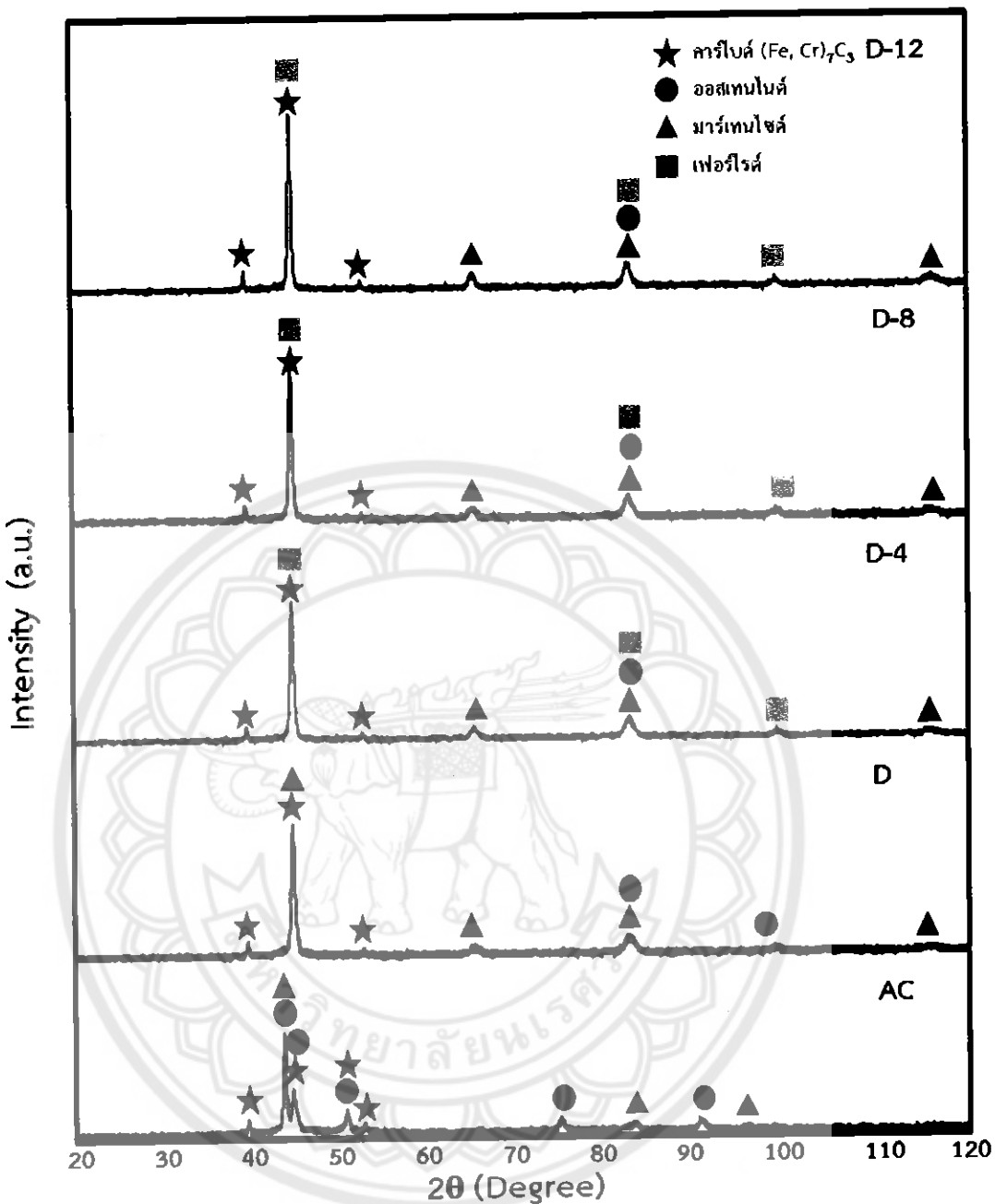
รูปที่ 4.22 สเปกตรัมของการวัดการกระจายพลังงานของรังสีเอกซ์ (EDXS) บริเวณคราบในด้ทุติยภูมิของเหล็กหล่อโครงเมียมสูงในสภาพหล่อ ที่ขึ้นรูปโดยวิธีการหล่อแบบชุบเปอร์ไฮท์ท่าหลังผ่านการอบดีสเตบิไลเซชันที่อุณหภูมิ 1000 องศาเซลเซียส เป็นเวลา 4 ชั่วโมง ร่วมกับการอบเทมเปอร์ริ่งที่อุณหภูมิ 500 องศาเซลเซียส เป็นเวลา 8 ชั่วโมง

ตารางที่ 4.3 ปริมาณธาตุที่ละลายอยู่ในตะกอนของการใบด์ทุติยภูมิของเหล็กหล่อโครงเมียมสูงที่ผ่านการขึ้นรูปโดยวิธีการหล่อแบบชุบเปลอร์สีทั่วหลังผ่านการอบดีสเตบีไลเซ็นท์อุณหภูมิ 1000 องศาเซลเซียส เป็นเวลา 4 ชั่วโมง ร่วมกับการอบเทมเปอร์ที่อุณหภูมิ 500 องศาเซลเซียส เป็นเวลา 8 ชั่วโมง

ธาตุ	ร้อยละโดยน้ำหนัก
เหล็ก	56.85
โครงเมียม	37.07
คาร์บอน	5.19
ซิลิคอน	0.89

4.3.3 ผลการศึกษาเฟส

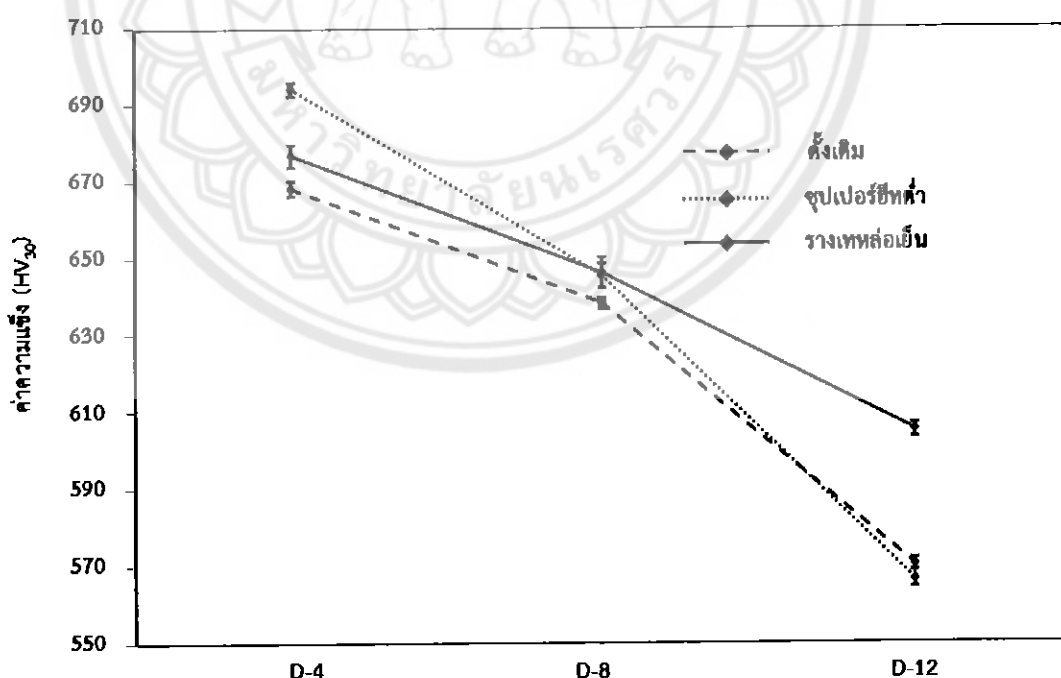
ใช้เทคนิคการเลี้ยวเบนของรังสีเอกซ์ในการศึกษาเฟส หลังจากการอบเทมเปอร์ พบว่า เกิดเฟสมาร์เกนไซต์ ออสเทนไนต์ และคาร์บิดชนิด $(Fe, Cr)_7C_3$ นอกจากนี้ยังพบว่าเกิดเฟสเพอร์ไรต์ ขึ้นมา ซึ่งเฟสของเพอร์ไรต์นี้เกิดขึ้นมา เนื่องจากเฟสօอสเทนไนท์ที่ตกค้างจากการอบดีสเตบีไลเซ็นท์ ได้ถูกเปลี่ยนเป็นเฟสเพอร์ไรต์ในขั้นตอนการอบเทมเปอร์ แสดงดังรูปที่ 4.23 จากการศึกษาเวลาใน การอบเทมเปอร์ พบว่าพีคที่เกิดขึ้นจากการอบเทมเปอร์ที่เวลา 4, 8 และ 12 ชั่วโมง มีพีคใหม่เกิด ขึ้นมาที่ตำแหน่งเดียวกัน



รูปที่ 4.23 รูปแบบการเลี้ยวเบนของรังสีเอกซ์ของเหล็กหล่อโครงเมียมสูง ที่เข็นรูปโดยวิธีการหล่อแบบชุปเปอร์ไฮท์ต้า หลังผ่านการอบดีสเตบิไลเซชันที่อุณหภูมิ 1000 องศาเซลเซียส เป็นเวลา 4 ชั่วโมง ร่วมกับอบเทมเพอร์ที่อุณหภูมิ 500 องศาเซลเซียส เป็นเวลา 4, 8 และ 12 ชั่วโมง ตามลำดับ

4.3.4 ผลการวัดค่าความแข็ง

จากการวัดค่าความแข็งของชิ้นงานที่ผ่านการขึ้นรูปโดยวิธีการหล่อแบบดั้งเดิม แบบชุบเปอร์ซีทต์ และแบบรังเทหล่อเย็น พบร่วมๆ กระบวนการหล่อค่าความแข็งมีแนวโน้มที่เหมือนกัน คือ ลดลงเมื่อเวลาในการอบเทมเพอร์ริงนานขึ้น ทั้งนี้เนื่องจากโครงสร้างของอสเทนในตัวที่ตกค้างที่เกิดมาจากการอบดีสเตบีไลเซนท์ถูกเปลี่ยนไปเป็นโครงสร้างเฟอร์ไรต์ที่มีความแข็งที่ต่ำกว่า และยิ่งเวลาในการอบเทมเพอร์ริงยิ่งนานการเกิดโครงสร้างของเฟอร์ไรต์ก็จะยิ่งมากขึ้น และอีกสาเหตุหนึ่งการใช้เวลาในการอบเทมเพอร์ริงนานจะทำให้คาร์บิดทุติยภูมิภายในโครงสร้างพื้นของมาร์เทนไไซต์จะมีขนาดที่ใหญ่ขึ้นทำให้การกระจายตัวไม่สม่ำเสมอ กันส่งผลให้ค่าความแข็งของชิ้นงานลดลง เช่นกัน ถึงแม้ว่าจะมีการใบดีทุติยภูมิขนาดเล็กเกิดขึ้นใหม่ก็ตาม แต่ถ้าขนาดของคาร์บิดทุติยภูมิใหญ่มากก็ส่งผลที่ไม่ดีต่อสมบัติทางกล และการที่การใบดีทุติยภูมิมีขนาดโตมากขึ้นการละลายของธาตุคาร์บอนในการใบดีทุติยภูมิจะยิ่งมากขึ้น ทำให้ธาตุคาร์บอนภายใต้โครงสร้างพื้นของมาร์เทนไไซต์น้อยลง ถึงแม้ว่าโครงสร้างพื้นจะเป็นมาร์เทนไไซต์แต่ก็เป็นมาร์เทนไไซต์ที่อ่อน ซึ่งค่าความแข็งโดยเฉลี่ยของชิ้นงานที่ผ่านการขึ้นรูปโดยวิธีการหล่อแบบดั้งเดิม แบบชุบเปอร์ซีทต์ และแบบรังเทหล่อเย็น หลังการอบเทมเพอร์ริงเป็นเวลา 12 ชั่วโมง ค่าความแข็งจะมีค่า ดังนี้ 570, 566 และ 646 HV₃₀ ตามลำดับ ซึ่งเวลาในการอบเทมเพอร์ริง 4, 8 และ 12 ชั่วโมง ส่งผลให้ชิ้นงานมีค่าความแข็งต่างกันออกไปอย่างชัดเจน แสดงดังรูปที่ 4.24 (แสดงดังตารางที่ ค.1 - ค.3 ภาคผนวก ค)



รูปที่ 4.24 ผลของความแข็งของเหล็กหล่อโครงเมียมสูงหลังผ่านการอบดีสเตบีไลเซนท์ที่อุณหภูมิ 1000 องศาเซลเซียส เป็นเวลา 4 ชั่วโมง และอบเทมเพอร์ริงที่อุณหภูมิ 500 องศาเซลเซียส เป็นเวลา 4, 8 และ 12 ชั่วโมง ตามลำดับ

บทที่ 5

บทสรุป และข้อเสนอแนะ

5.1 สรุปผลการทดลอง

ชิ้นงานที่ใช้ในการทดลองเป็นเหล็กหล่อโครงเมียมสูง โดยมีโครงเมียมร้อยละ 25 โดยน้ำหนักที่ผ่านการขึ้นรูปโดยวิธีการหล่อที่แตกต่างกันดังนี้ ชิ้นงานที่ผ่านการขึ้นรูปโดยวิธีการหล่อแบบดั้งเดิม แบบชุบเปอร์อีท์ต่ำ และแบบร่างเหหหล่อเย็น ในการทดลองนี้ได้ทำการศึกษาโครงสร้างทางจุลภาคด้วยกล้องจุลทรรศน์แบบแสง ลักษณะทางสัณฐานวิทยาด้วยกล้องจุลทรรศน์อิเล็กตรอนแบบสองกราด การเปลี่ยนแปลงเฟส และสมบัติด้านความแข็ง ทั้งชิ้นงานก่อน และหลังผ่านกรรมวิธีทางความร้อนในสภาพที่ต่างกัน

5.1.1 ชิ้นงานในสภาพหล่อที่ผ่านการขึ้นรูปโดยวิธีการหล่อแบบดั้งเดิม แบบชุบเปอร์อีท์ต่ำ และแบบร่างเหหหล่อเย็น ประกอบด้วยโครงสร้างพื้นของอสเทนในตัวปูนภูมิลักษณะรอบด้วยยูเทกติการ์-ไบด์-อสเทนในตัวที่อสเทนในตัวบางส่วนเปลี่ยนเป็นมาร์เทนไซต์ในระหว่างการเย็นตัวของแบบหล่อ เช่นชิ้นงานที่ผ่านการขึ้นรูปโดยวิธีการหล่อแบบดั้งเดิมโครงสร้างของอสเทนในตัวปูนภูมิลักษณะเป็นเดนไครท์ แต่ชิ้นงานที่ผ่านการขึ้นรูปโดยวิธีการหล่อแบบชุบเปอร์อีท์ต่ำ และร่างเหหหล่อเย็นมีโครงสร้างพื้นของอสเทนในตัวมีลักษณะเกรนกลม โดยที่ความแข็งเฉลี่ยของชิ้นงานในสภาพหล่อที่ผ่านการขึ้นรูปโดยวิธีการหล่อแบบร่างเหหหล่อเย็นมีค่าความแข็งเฉลี่ยมากกว่า ชิ้นงานที่ผ่านการขึ้นรูปโดยวิธีการหล่อแบบชุบเปอร์อีท์ต่ำ และแบบดั้งเดิม ตามลำดับ

5.1.2 ชิ้นงานหลังผ่านการอบดีสเตบีไลเซชัน พบร่วมโครงสร้างพื้นของอสเทนในตัว และยูเทกติก ในส่วนของอสเทนในตัวบางส่วน เปลี่ยนเป็นมาร์เทนไซต์ โดยมีการแตกตะกอนของคาร์ไบด์ทุติยภูมิภายในโครงสร้างที่เปลี่ยนเป็นมาร์เทนไซต์ ส่วนยูเทกติกในส่วนควรจะไม่เกิดการเปลี่ยนแปลง หลังการอบดีสเตบีไลเซชันชิ้นงานมีความแข็งเฉลี่ยเพิ่มสูงกว่าในสภาพหล่อ โดยชิ้นงานที่ผ่านการขึ้นรูปโดยวิธีการหล่อแบบชุบเปอร์อีท์ต่ำมีความแข็งที่สูงกว่าแบบร่างเหหหล่อเย็น และแบบดั้งเดิม ตามลำดับ

5.1.3 หลังการอบเทมเปอร์ริง พบร่วมคาร์ไบด์ทุติยภูมิขนาดใหญ่ขึ้น และเกิดการแตกตะกอนของคาร์ไบด์ทุติยภูมิมากขึ้นตามเวลาที่ใช้อบเทมเปอร์ริง อีกทั้งยังมีแนวโน้มเชื่อมติดกันเป็นแท่งยาว ซึ่งเห็นได้ชัดเจนหลังผ่านการอบเทมเปอร์ริงเป็นเวลา 12 ชั่วโมง นอกจากนี้ความแข็งเฉลี่ยของชิ้นงานลดลงกว่าชิ้นงานหลังผ่านการอบดีสเตบีไลเซชัน พบร่วมความแข็งของชิ้นงานหลังผ่านการอบเทมเปอร์ริง ที่เวลา 12 ชั่วโมง ชิ้นงานที่ผ่านการขึ้นรูปโดยวิธีการหล่อแบบร่างเหหหล่อเย็นมีค่าความแข็งสูงสุด และชิ้นงานที่ผ่านการขึ้นรูปโดยวิธีการหล่อแบบดั้งเดิมจะมีความแข็งรองลงมา ส่วนชิ้นงานที่ผ่านการขึ้นรูปโดยวิธีการหล่อแบบชุบเปอร์อีท์ต่ำมีค่าความแข็งที่ต่ำสุด

5.2 ข้อเสนอแนะ และการพัฒนา

5.2.1 ในการอปดีสเตบีไลเซชันสามารถทำการปรับเปลี่ยนอุณหภูมิ และเวลาในการทดลองได้หลากหลาย แต่ควรใช้อุณหภูมิอยู่ในช่วง 950 – 1050 องศาเซลเซียส

5.2.2 ในการอบเทมเปอร์สามารถปรับเปลี่ยนเวลาในการอบให้มีช่วงเวลาที่แคบลงได้ เพื่อศึกษาอิทธิพลที่มีต่อโครงสร้างทางจุลภาค และสมบัติทางกลได้อย่างละเอียดมากขึ้น

5.2.3 ในการเลือกใช้ชิ้นงานทดสอบสามารถนำชิ้นงานที่ผ่านการขึ้นรูปแบบกึงแข็งที่ขึ้นรูปโดยวิธีการหล่อแบบอื่นๆ มาใช้ในการศึกษาได้

5.2.4 การทดสอบสมบัติทางกล สามารถทำการทดสอบเพิ่มได้โดยวิธีอื่นๆ เช่น การทดสอบแรงกระแทก และทดสอบการสึกหรอ แต่ขึ้นอยู่กับความพร้อมของเครื่องมือในการทดสอบ และการเตรียมชิ้นงาน

5.2.5 การเย็บตัวของเหล็กหล่อโครงเมียมสูงหลังผ่านการอบที่อุณหภูมิสูงสามารถปล่อยให้การเย็บตัวของชิ้นงานผ่านตัวกลางอื่นๆ ได้ เช่น ปล่อยให้เย็บตัวในน้ำ น้ำมัน เป็นต้น

5.2.6 ส่วนผสมของเหล็กหล่อโครงเมียมสูงที่ใช้ในการศึกษาสามารถปรับเปลี่ยนได้หลากหลาย

5.3 ปัญหาที่พบ และวิธีการแก้ไข

5.3.1 กรณ์ที่ใช้ในการกัดชิ้นงานเพื่อศึกษาโครงสร้างทางจุลภาคเป็นกรณ์ที่มีความเข้มข้นสูง และมีคลื่นแรงกว่าใช้ถุงมือ และที่ครอบจะมูกทุกครั้งเมื่อปฏิบัติงานกัดกรณ์

5.3.2 การนำชิ้นงานออกจากเตาหลังการอบที่อุณหภูมิสูง พบว่าเบลวไฟจากเตามีอุณหภูมิที่สูงมาก อาจทำให้เกิดอันตรายกับผู้ปฏิบัติงานควรใช้ความระมัดระวัง และอุปกรณ์ป้องกันความร้อนทุกครั้งที่ปฏิบัติงาน

5.3.3 ใน การอบชิ้นงานจะใช้เครื่องปั้นดินเผารองชิ้นงานก่อนนำเข้าเตาอบอุณหภูมิสูง จึงควรที่จะตรวจสอบจุดหลอมของเครื่องปั้นดินเผานั้นก่อนว่าทนอุณหภูมิได้มากน้อยเท่าไร

5.3.4 เครื่องปั้นดินเผาที่ใช้รองชิ้นงานมีความ幣ราเวลาอบชิ้นงานเสร็จจะใช้ครีมเหล็กยากรีบเครื่องปั้นดินเผาออกมานางครั้งเครื่องปั้นดินเผาจะแตกทำให้ชิ้นงานอาจร่วงใส่ผู้ปฏิบัติงานได้ควรที่จะตรวจเช็คเครื่องปั้นดินเผาว่ามีสภาพพร้อมใช้งานหรือไม่

5.3.5 ใน การตัดชิ้นงานควรยืดจับชิ้นงานให้แน่นก่อนทุกครั้ง เนื่องจากเวลา yid จับชิ้นงานที่ไม่แน่นจะทำให้ชิ้นงานเกิดขับตัว ส่งผลให้ใบมีดเกิดการบิดตัว และเกิดการแตกหักได้

เอกสารอ้างอิง

ณัฐพล ชุมแสง และคณะ. (2550). โครงสร้างทางจุลภาค และสมบัติการสึกหรอของเหล็กหล่อ โครเมียมสูงร้อยละ 18 โดยน้ำหนัก ที่หล่อด้วย กระบวนการกึ่งของแข็งแบบร่างสามาด. มหาวิทยาลัยเชียงใหม่.

บัญชา ธนาบุญสมบัติ และศุภกาญจน์ คำมณี. (2544). จุลทรรศน์อิเล็กตรอนแบบสแกนนิ่งประตุกุโลกรดับจุลภาค. (พิมพ์ครั้งที่ 1). ปทุมธานี: ศูนย์เทคโนโลยีโลหะ และวัสดุแห่งชาติ. มนัส สติรัตนดา. (2543). เหล็กหล่อ. (พิมพ์ครั้งที่ 4). กรุงเทพฯ: โรงพิมพ์จุฬาลงกรณ์มหาวิทยาลัย. รวมภูน บุรพา, รังสินี แคนยูกต์ และเจษฎา วรรตน์สินธุ. (2552). การประชุมวิชาการทางวิศวกรรมศาสตร์มหาวิทยาลัยสงขลานครินทร์ ครั้งที่ 7: การพัฒนาระบวนการผลิตโลหะกึ่งของแข็งโดยการพ่นฟองแก๊สขณะเป็นตัวสำหรับอะลูมิเนียมเกรด A356.

วีระชัย ลามอ. (2550). ความแข็ง (Hardness). กรมวิทยาศาสตร์ บริการ.

ศูนย์บริการเครื่องมือวิทยาศาสตร์ คณะวิทยาศาสตร์ สถาบันเทคโนโลยีพระจอมเกล้าคุณทหารลาดกระบัง. X-ray Diffractrometer (XRD). สืบค้นเมื่อวันที่ 17 กรกฎาคม พ.ศ. 2553 จากเว็บไซต์ www.kmitl.ac.th/sisc/XRD/GettingStratOf

ศูนย์บริการเครื่องมือวิทยาศาสตร์ คณะวิทยาศาสตร์ สถาบันเทคโนโลยีพระจอมเกล้าคุณทหารลาดกระบัง. กล้องจุลทรรศน์อิเล็กตรอนแบบส่องgraphic. สืบค้นเมื่อวันที่ 17 กรกฎาคม พ.ศ. 2553 จากเว็บไซต์ www.kmitl.ac.th/sisc/SEM/SEMprepare.htm

อั้มพร เวียงมูล และคณะ. (2552). อิทธิพลของการอบซุบทางความร้อนต่อโครงสร้างจุลภาค และสมบัติของเหล็กหล่อโครเมียมสูง 25wt%Cr ที่เตรียมโดยการหล่อแบบดึงเดิม และแบบกึ่งของแข็ง. มหาวิทยาลัยนเรศวร.

Amporn Wiengmoon, John T.H. Pearce and Torronin Chairuangsri. (2009). Effects of Destabilisation and Tempering on Microstructure and Properties of 14wt%Cr-1wt%Mo High Chromium Iron. China: Beifing.

Collins, A.N. (1988). High-Chromium White Cast Iron In Slurry Pump.

Durman, R.W. and Elwell, D.W.J. (1985). Morphology of Eutectic Carbides in High Chromium White Irons. The British Foundryman.

Figueiredo, A.D. (2001). Science and Technology of Semi-Solid metal Processing, Worcester Polytechnic Institute. (PP.2.2-2.5, PP.2.9-2.11). United State.

John. T.H. Pearce และบัญชา ธนาบุญสมบัติ. (2542). เทคโนโลยี และโลหะวิทยาของเหล็กหล่อ โครเมียมสูง. (พิมพ์ครั้งที่ 1). ปทุมธานี: ศูนย์เทคโนโลยีโลหะ และวัสดุแห่งชาติ.

ເອກສາຮ້າງອົງ (ຕ່ອ)

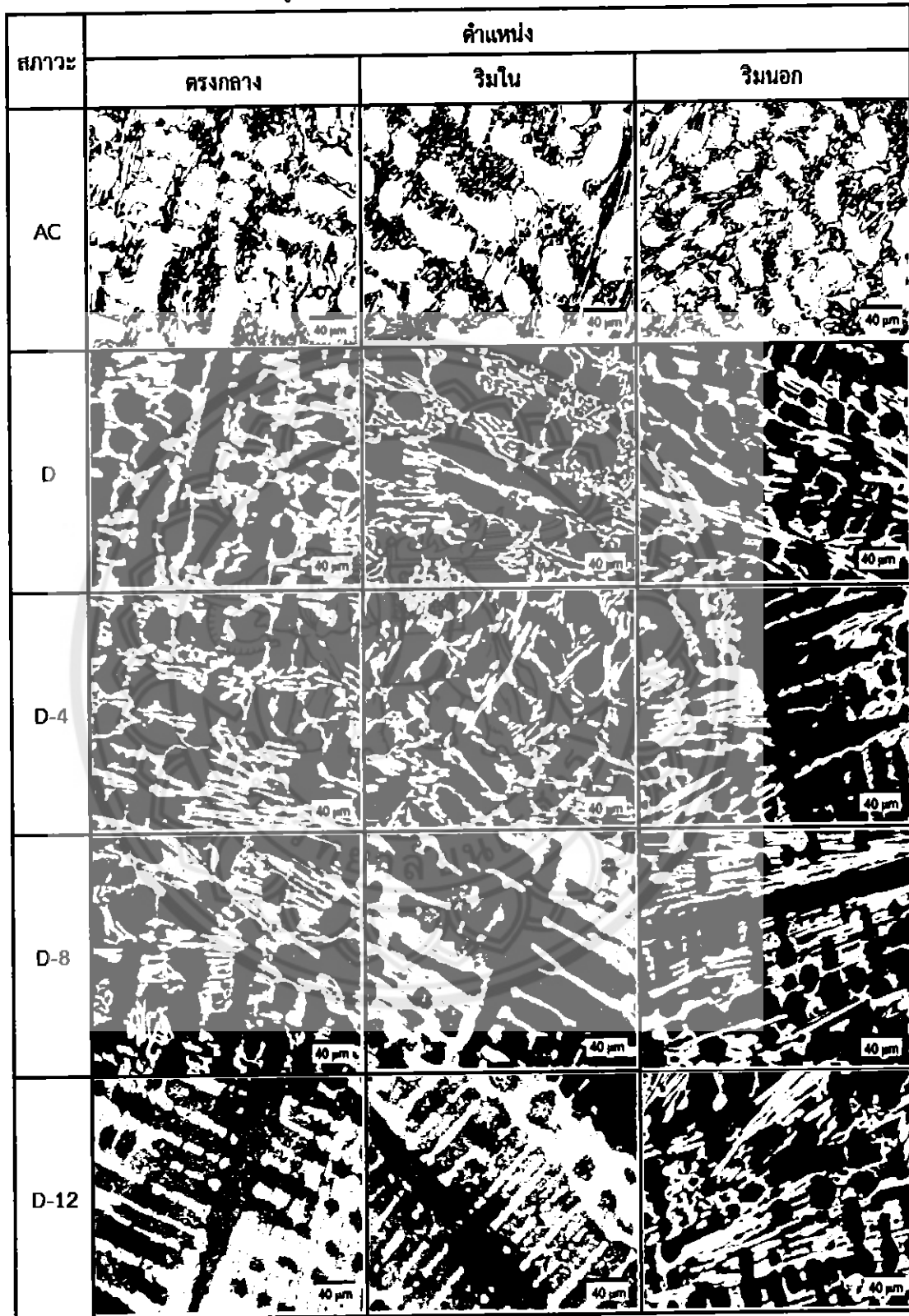
- Motegi, T. and Tanabe, F. (2004). New Semi-Solid Casting of Copper Alloys Using and Inclined Cooling Plate, Processing of Alloy and Composite, Limassol, Cyprus.
- Pearce, J.T.H. (1984). Structure and Wear Performance of Abrasion Resistant Chromium White Cast Irons. AFS Trans.
- Pearce, J.T.H. (1999). High Chromium Irons to Resist Wear. Proceedings of The Sixth Asian Foundry Congress. (120-134). calcutta India
- Pearce, J.T.H.(1982). Wear of Abrasion Resisting Meterials Ph.D Thesis. Aston University Birmingham, England.
- Poolthong, N. (2004). Doctor of Engineering Thesis Materials Processing Engineering Program: Semi-Solid Processing of Alloyed Cast Iron. Nagoya University.
- Poolthong, N., Nomura H. and Takita, M. (2004). Effect of Heat Treatment on Microstructure and Properties of Simi-Solid Chromium Cast Iron. Materils Transactions.
- Powell, G.L.F. and Laird li,G.(1992). Structure, Nucleation, growth and Morphology of Secondary Carbides in High Chromium and Cr-Ni White Cast Irons. J. Mater. Sci.
- Toshio Haga and P.Kapranos. (2002). Journal of Materials Processing Technology: Simple Rheocasting Processes.
- Weingmoon, A. (2005). Microstructure of Carbides in High Chromium Cast Irons Ph.D. Thailand: Chiang Mai University.
- Wu, H.Q., Sasaguri, N., Matsubara, Y. and Hashimoto, M. (1996). Solidification of Malt Alloyed White Cast Iron: Type and Morphology of Carbides. AFS Trans. (104, 103-108).

ภาคผนวก ก

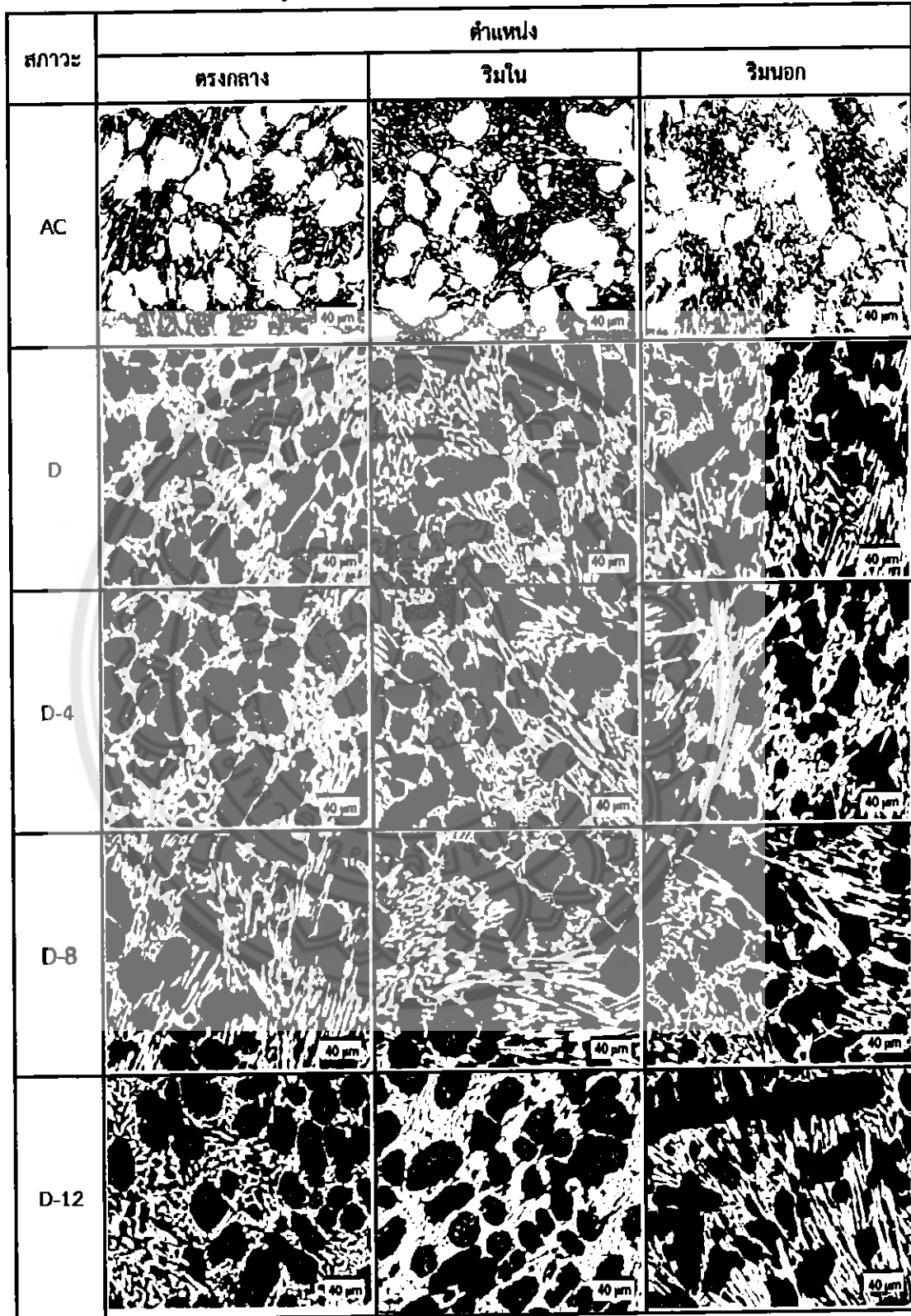
โครงการสร้างทางจุลภาคของชั้นงานก่อน และหลังกรรมวิธีทางความร้อน
ที่ได้จากการศึกษาด้วยกล้องจุลทรรศน์แบบแสง



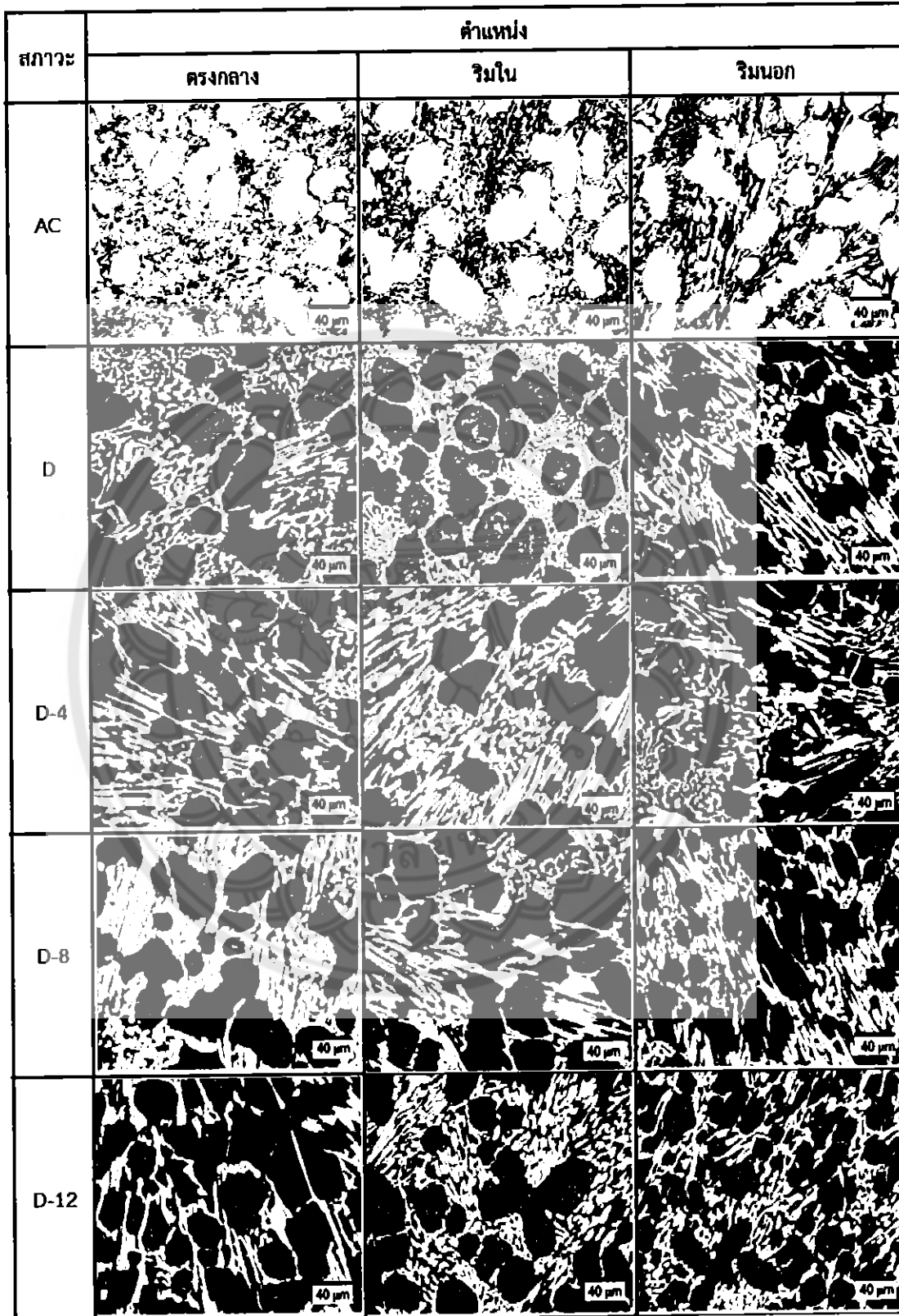
ตารางที่ ก.1 โครงสร้างทางจุลภาคของชิ้นงานก่อน และหลังกรรมวิธีทางความร้อน ณ บริเวณต่างๆ ของชิ้นงานที่ขึ้นรูปโดยการหล่อแบบดั้งเดิม (Conventional Casting)



ตารางที่ ก.2 โครงสร้างทางจุลภาคของชิ้นงานก่อน และหลังกรรมวิธีทางความร้อน ณ บริเวณต่างๆ ของชิ้นงานที่ขึ้นรูปโดยการหล่อแบบบรรทัดล่อเย็น (Cooling Slope Casting)



ตารางที่ ก.3 โครงสร้างทางจุลภาคของชิ้นงานก่อน และหลังกรรมวิธีทางความร้อน ณ บริเวณต่างๆ ของชิ้นงานที่ขึ้นรูปโดยการหล่อแบบชุบเปอร์ชีทต์ (Low Superheat Casting)



ภาคผนวก ข

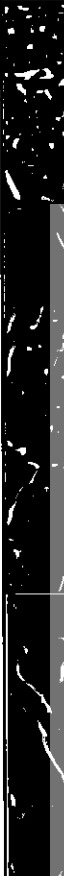
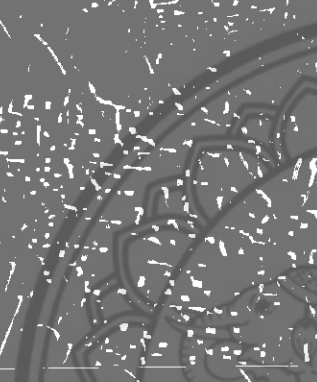
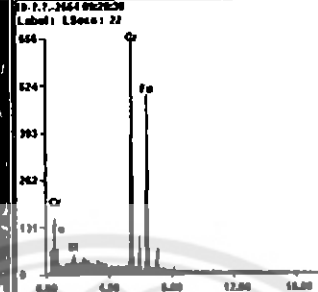
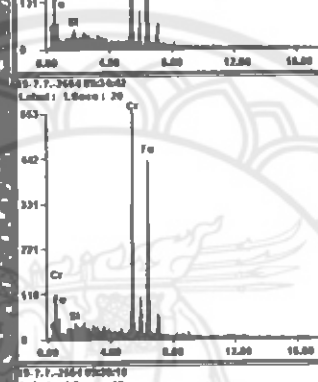
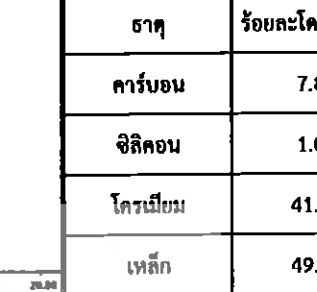
โครงการสร้างทางจุลภาคของชั้นงานก่อน และหลังกรรมวิธีทางความร้อน
ที่ได้จากการศึกษาด้วยกล้องจุลทรรศน์อิเล็กตรอนแบบส่องกราด



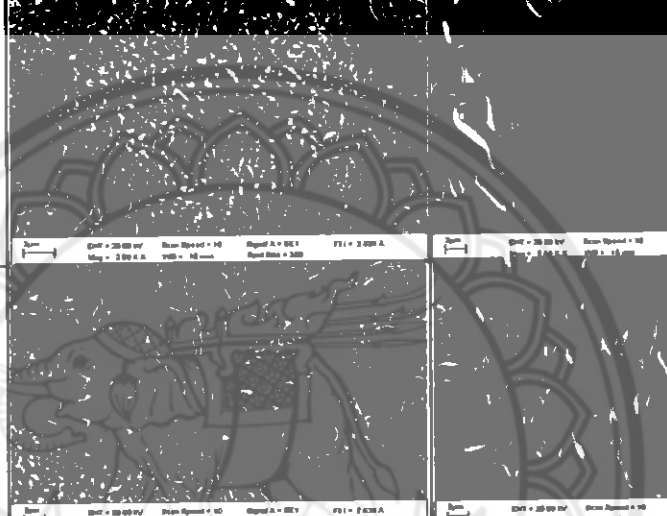
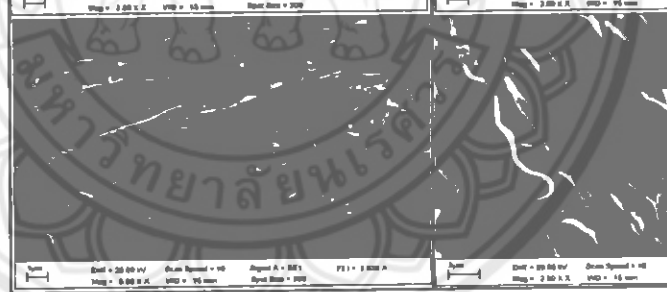
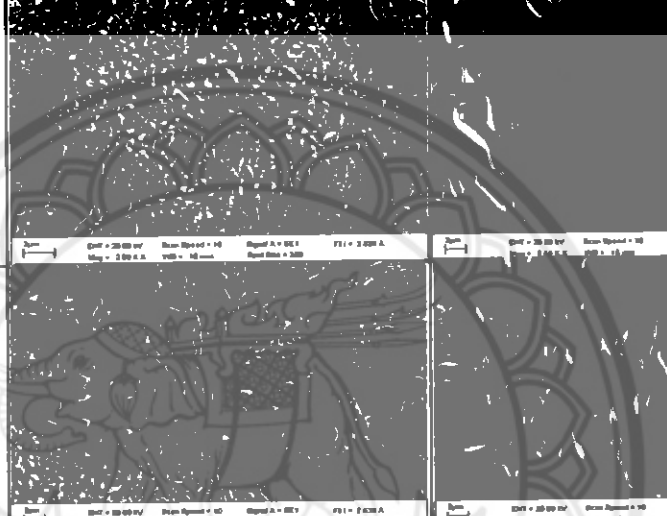
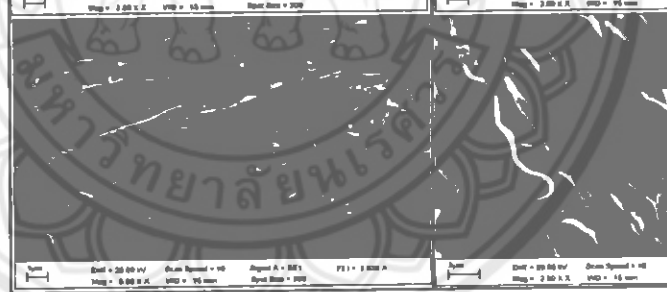
ตารางที่ ช.1 การวิเคราะห์ธาตุ ณ ตำแหน่งต่างๆ ที่บริเวณโครงสร้างพื้น และบริเวณยูเทกติก-
การีบ์ด์ ในสภาพหล่อ ของชิ้นงานที่ผ่านการขึ้นรูปโดยวิธีการหล่อแบบชุบเปอร์อิทต์

ตำแหน่ง	รูป	กราฟ	ปริมาณธาตุ
โครงสร้างพื้น		19.7.7-2044 10-047-54 Label: LBase: 11 	ชาติ ร้อยละโภชนาหนัก คาร์บอน 4.68 อะลิคอกน 1.07 โคโรเนียม 17 เหล็ก 77.25
		19.7.7-2044 10-047-54 Label: LBase: 9 	ชาติ ร้อยละโภชนาหนัก คาร์บอน 2.26 อะลิคอกน 1.5 โคโรเนียม 18.37 เหล็ก 77.87
		19.7.7-2044 10-047-54 Label: LBase: 7 	ชาติ ร้อยละโภชนาหนัก คาร์บอน 1.8 อะลิคอกน 1.3 โคโรเนียม 17.31 เหล็ก 79.59
		19.7.7-2044 10-047-54 Label: LBase: 12 	ชาติ ร้อยละโภชนาหนัก คาร์บอน 5.26 อะลิคอกน 0.55 โคโรเนียม 65.1 เหล็ก 29.08
		19.7.7-2044 10-047-54 Label: LBase: 11 	ชาติ ร้อยละโภชนาหนัก คาร์บอน 3.18 อะลิคอกน 1.26 โคโรเนียม 30.18 เหล็ก 65.38
ยูเทกติกการีบ์ด์		19.7.7-2044 10-047-54 Label: LBase: 9 	ชาติ ร้อยละโภชนาหนัก คาร์บอน 4.84 อะลิคอกน 0.6 โคโรเนียม 63.81 เหล็ก 30.75
		19.7.7-2044 10-047-54 Label: LBase: 5 	
		19.7.7-2044 10-047-54 Label: LBase: 4 	
		19.7.7-2044 10-047-54 Label: LBase: 3 	
		19.7.7-2044 10-047-54 Label: LBase: 2 	

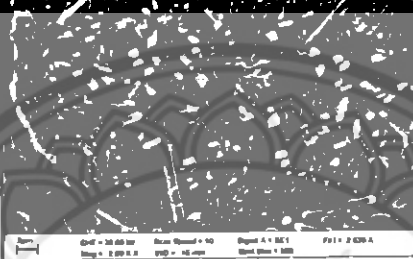
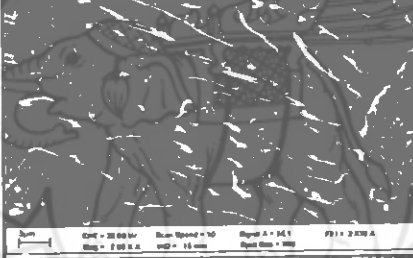
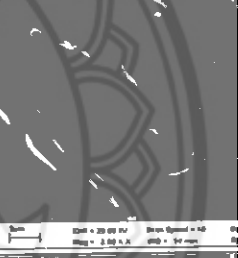
ตารางที่ ข.2 การวิเคราะห์ธาตุ ณ ตำแหน่งต่างๆ ที่บริเวณการเป็นทุ่มภูมิ ในเหล็กหล่อที่ผ่านการอบดีสเตบีไลเซ็นท์อุณหภูมิ 1000 องศาเซลเซียส เป็นเวลา 4 ชั่วโมง และอบเพาเวอร์ริง ที่อุณหภูมิ 500 องศาเซลเซียส เป็นเวลา 8 ชั่วโมง ของชิ้นงานที่ผ่านการขึ้นรูปโดยวิธีการหล่อแบบซุปเปอร์อีทต์

รูป	กราฟ	บริเวณชาต
	 19.7.7-2044 0928-24 Label: L50x6: 22 660 620 393 262 131 0 0.00 4.00 8.00 12.00 16.00 20.00	ธาตุ ร้อยละโดยน้ำหนัก คาร์บอน 7.84 ชิลกอน 1.05 โครเมี่ยม 41.57 เหล็ก 49.55
	 19.7.7-2044 0928-24 Label: L50x6: 20 663 642 391 271 118 0 0.00 4.00 8.00 12.00 16.00 20.00	ธาตุ ร้อยละโดยน้ำหนัก คาร์บอน 5.13 ชิลกอน 0.93 โครเมี่ยม 40.64 เหล็ก 53.3
	 19.7.7-2044 0928-19 Label: L50x6: 13 541 493 324 265 180 0 0.00 4.00 8.00 12.00 16.00 20.00	ธาตุ ร้อยละโดยน้ำหนัก คาร์บอน 2.6 ชิลกอน 0.7 โครเมี่ยม 29 เหล็ก 67.7

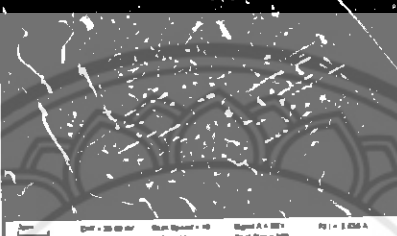
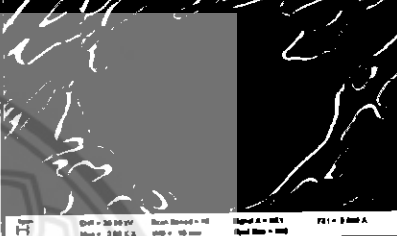
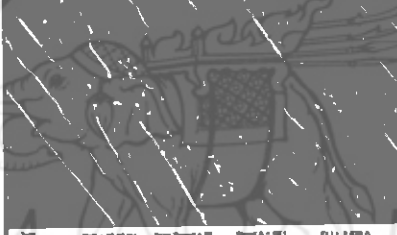
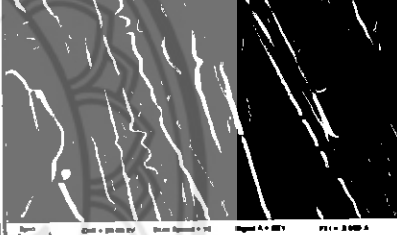
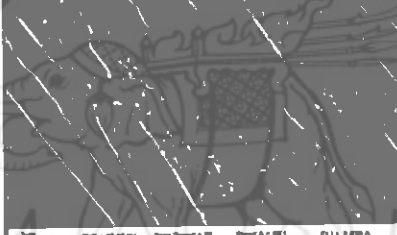
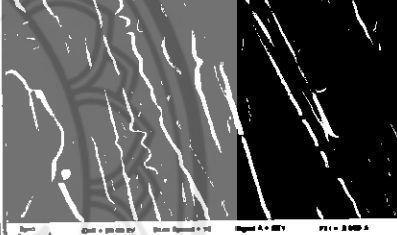
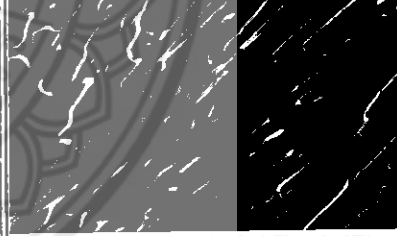
ตารางที่ ข.3 ภาพถ่ายด้วยกล้อง SEM แสดงลักษณะทางสัณฐานวิทยาของเหล็กหล่อโครงเมียมสูง โดยชิ้นงานที่ผ่านการขึ้นรูปโดยวิธีการหล่อแบบซุปเปอร์อีทต์ ที่ผ่านการอบดีสเตบิล- เชื้อชันที่อุณหภูมิ 1000 องศาเซลเซียส เป็นเวลา 4 ชั่วโมง

ลำหนัง	วิธีการกัดกรด	
	Na ₂ S ₂ O ₄ 4 กรัม ในน้ำอ่อน 100 มิลลิลิตร และกรด HCl 50 มิลลิลิตร แล้วล้างด้วยน้ำสะอาด	KMnO ₄ 4 กรัม + NaOH 4 กรัม + น้ำ 100 มิลลิลิตร ให้ความร้อนอยู่ในช่วงอุณหภูมิ 40 องศาเซลเซียส โดยใช้เวลาในการกัดกรดเป็นเวลา 10 นาที
โครงสร้างที่น่องของสแตนเลส ที่เปลี่ยนเป็นมาร์เกนไซต์	 	
ยุทธวิธีการใบฟ์-อสเทเนินบีท ที่เปลี่ยนเป็นมาร์เกนไซต์	 	

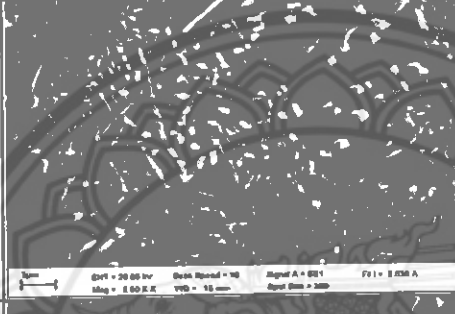
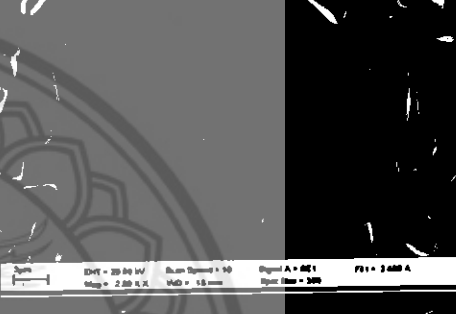
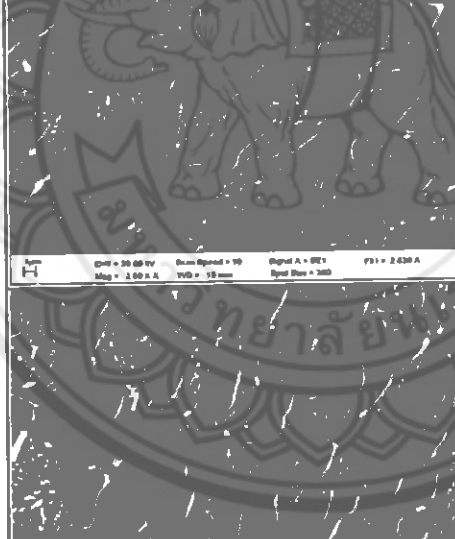
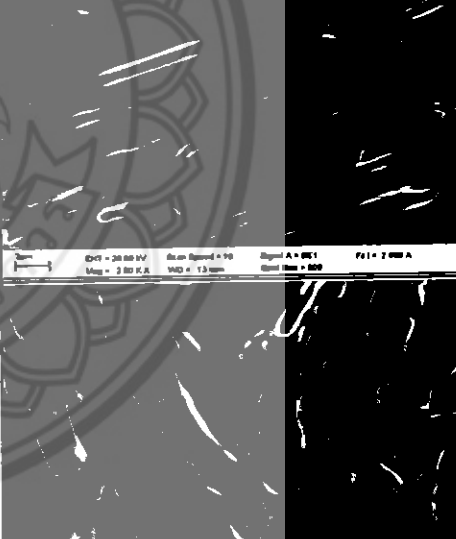
ตารางที่ ข.4 ภาพถ่ายด้วยกล้อง SEM แสดงลักษณะทางสัณฐานวิทยาของเหล็กหล่อโครงเมียนสูง โดยชิ้นงานที่ผ่านการขึ้นรูปโดยวิธีการหล่อแบบซุปเปอร์ชีทต์ ที่ผ่านการอบดีสเตบีไลเซชันที่อุณหภูมิ 1000 องศาเซลเซียส เป็นเวลา 4 ชั่วโมง และอบเพิ่มเปอร์เซ็นต์อุณหภูมิ 500 องศาเซลเซียส เป็นเวลา 4 ชั่วโมง

คำแนะนำ	วิธีการกัดกร่อน	
	Na ₂ S ₂ O ₄ 4 กรัม ในน้ำกลั่น 100 กิโลกรัม และกรด HCl 50 มิลลิลิตร แล้วล้างด้วยน้ำสะอาด	KMnO ₄ 4 กรัม + NaOH 4 กรัม + น้ำ 100 มิลลิลิตร ให้ความร้อนอยู่ในช่วงอุณหภูมิ 40 องศาเซลเซียส โดยใช้เวลาในการกัดกร่อนเป็นเวลา 10 นาที
โครงสร้างพื้นของอสเทเนนท์ ที่เปลี่ยนเป็นมาโนเนนไธต์		
ผุเกกิกการเปลี่ยนรูป-อสเทเนนท์ ที่เปลี่ยนเป็นมาโนเนนไธต์		

ตารางที่ ข.5 ภาพถ่ายด้วยกล้อง SEM แสดงลักษณะทางสัมฐานวิทยาของเหล็กหล่อโครงเมียมสูง โดยชิ้นงานที่ผ่านการขึ้นรูปโดยวิธีการหล่อแบบซุปเปอร์ชีทต์ ที่ผ่านการอบดีสเตบิไลเซชันที่อุณหภูมิ 1000 องศาเซลเซียส เป็นเวลา 4 ชั่วโมง และอบเพิ่มเปอร์เซ็นต์อุณหภูมิ 500 องศาเซลเซียส เป็นเวลา 8 ชั่วโมง

ลำหนัง	วิธีการกัดกรด			
	Na ₂ S ₂ O ₄ 4 กรัม ในน้ำกลั่น 100 มิลลิลิตร และกรด HCl 50 มิลลิลิตร แล้วล้างด้วยน้ำสะอาด	KMnO ₄ 4 กรัม + NaOH 4 กรัม + น้ำ 100 มิลลิลิตร ให้ความร้อนอยู่ในช่วงอุณหภูมิ 40 องศาเซลเซียส โดยใช้เวลาในการกัดกรดเป็นเวลา 10 นาที		
โครงสร้างที่นิ่งของอสเทนในที่เปลี่ยนเป็นมาร์กைนไซต์				
มุเทกคิกการใบต่ออสเทนในที่เปลี่ยนเป็นมาร์กைนไซต์				

ตารางที่ ข.6 ภาพถ่ายด้วยกล้อง SEM แสดงลักษณะทางสัณฐานวิทยาของเหล็กหล่อโครงเมียมสูง โดยชั้นงานที่ผ่านการขึ้นรูปโดยวิธีการหล่อแบบซุปเปอร์ชีทต์ ที่ผ่านการอบดีสเตบีไlat- เชเซนที่อุณหภูมิ 1000 องศาเซลเซียส เป็นเวลา 4 ชั่วโมง และอบเพาเวอร์ที่อุณหภูมิ 500 องศาเซลเซียส เป็นเวลา 12 ชั่วโมง

ตัวแหน่ง	วิธีการกัดกรด	
	Na ₂ S ₂ O ₄ 4 กรัม ในน้ำกลั่น 100 มิลลิลิตร อะกราต HCl 50 มิลลิลิตร แล้วถางด้วยน้ำสะอาด	KMnO ₄ 4 กรัม + NaOH 4 กรัม + น้ำ 100 มิลลิลิตร ให้ความร้อนอยู่ในช่องอุณหภูมิ 40 องศาเซลเซียส โดยใช้เวลาในการกัดกรดเป็นเวลา 10 นาที
โครงสร้างพื้นของ ออสเทนในต ที่เปลี่ยนเป็นมา กเกนไซต์	 Dose = 20.00 kV Beam Speed = 10 Signal A = DEI F1 = 0.030 A Mag = 1.00 K.X VWD = 15 mm Spot Size = 300	 Dose = 20.00 kV Beam Speed = 10 Signal A = DEI F1 = 0.030 A Mag = 2.00 K.X VWD = 15 mm Spot Size = 300
มุขกอก้าวในต ที่เปลี่ยนเป็นมา กเกนไซต์	 Dose = 20.00 kV Beam Speed = 10 Signal A = DEI F1 = 0.030 A Mag = 1.00 K.X VWD = 15 mm Spot Size = 300	 Dose = 20.00 kV Beam Speed = 10 Signal A = DEI F1 = 0.030 A Mag = 2.00 K.X VWD = 15 mm Spot Size = 300



ตารางที่ ค.1 ผลของค่าความแข็ง ในสภาพหล่อ, หลังการอบดีสเตบีไลเซชันที่อุณหภูมิ 1000 องศา-เซลเซียส เป็นเวลา 4 ชั่วโมง และการอบดีสเตบีไลเซชันที่อุณหภูมิ 1000 องศาเซลเซียส เป็นเวลา 4 ชั่วโมง ร่วมกับการอบเทมเปอร์ที่อุณหภูมิ 500 องศาเซลเซียส เป็นเวลา 4, 8 และ 12 ชั่วโมง ของเหล็กหล่อโครงเมียมสูงที่ผ่านการขึ้นรูปโดยวิธีดึงเดิม

Conventional Casting		AC	D	D-4	D-8	D-12
ความแข็ง (HV_{30})	1	486.36	700.03	660.39	639.56	576.58
	2	493.39	700.53	675.92	633.4	568.42
	3	481.29	695.64	662.86	644.73	562.55
	4	463.1	699.79	658.37	634.03	574.02
	5	479.07	707.45	670.84	643.43	575.3
	6	477.41	700.28	668.54	640.63	575.66
	7	490.94	694.92	668.77	632.77	564.5
	8	489.5	701.26	671.07	635.09	569.32
	9	485.51	694.67	671.3	637.43	566.99
	10	483.11	692.02	673.61	641.71	569.86
เฉลี่ย		482	698	668	638	570
ค่าเบี่ยงเบนมาตรฐาน		8.67	4.43	5.78	4.35	4.90

ตารางที่ ค.2 ผลของค่าความแข็ง ในสภาพหล่อ, หลังการอบดีสเตบปีโลเซ็นที่อุณหภูมิ 1000 องศา-
เซลเซียส เป็นเวลา 4 ชั่วโมง และการอบดีสเตบปีโลเซ็นที่อุณหภูมิ 1000 องศาเซล-
เซียส เป็นเวลา 4 ชั่วโมง ร่วมกับการอบเพิ่มเปอร์เซนต์อุณหภูมิ 500 องศาเซลเซียส
เป็นเวลา 4, 8 และ 12 ชั่วโมง ของเหล็กหล่อโครงสร้างสูงที่ผ่านการขึ้นรูปโดยวิธี
ชุบเปอร์อีทต่า

Low Superheat Casting		AC	D	D-4	D-8	D-12
ความแข็ง (HV_{30})	1	480.73	709.94	693.22	652.38	566.27
	2	496.89	714.22	702.25	649.3	569.5
	3	508.52	702.49	693.22	633.19	565.92
	4	494.12	710.94	689.61	661.74	563.96
	5	507.31	686.75	699.3	644.08	565.21
	6	488.21	707.69	686.27	631.51	553.82
	7	513.26	704.71	690.81	649.08	569.32
	8	478.23	699.79	694.92	634.67	562.02
	9	484.1	705.95	699.55	646.9	581
	10	488.5	720.06	690.33	652.16	567.35
เฉลี่ย		493	706	693	645	566
ค่าเบี่ยงเบนมาตรฐาน		12.26	9.01	5.07	9.73	6.81

ตารางที่ ค.3 ผลของค่าความแข็ง ในสภาพหล่อ, หลังการอบดีสเตบีไลเซชันที่อุณหภูมิ 1000 องศาเซลเซียส เป็นเวลา 4 ชั่วโมง และการอบดีสเตบีไลเซชันที่อุณหภูมิ 1000 องศาเซลเซียส เป็นเวลา 4 ชั่วโมง ร่วมกับการอบเพาเวอร์ที่อุณหภูมิ 500 องศาเซลเซียส เป็นเวลา 4, 8 และ 12 ชั่วโมง ของเหล็กหล่อโครงเมียมสูงที่ผ่านการขึ้นรูปโดยวิธีร่างเหตุล้อเย็น

Cooling Slope Casting	AC	D	D-4	D-8	D-12
ความแข็ง (HV_{30})	1	505.35	691.54	688.9	652.82
	2	513.41	686.03	679.89	637.21
	3	475.2	682.25	672.45	652.16
	4	519.47	680.13	672.91	674.07
	5	511.26	673.14	663.99	636.79
	6	501.32	690.33	688.66	631.3
	7	495.57	702.49	667.63	654.37
	8	480.46	684.61	680.6	643.65
	9	520.41	699.55	684.61	637.85
	10	496.74	699.3	666.95	641.06
เฉลี่ย		501	688	676	646
ค่าเบี่ยงเบนมาตรฐาน		15.36	9.49	9.13	12.55
					5.55

ประวัติผู้ดำเนินโครงการ



ชื่อ นายศิวนันท์ บุญเพิ่ม
ภูมิลำเนา 67/2 หมู่ 2 ตำบลลหุกวัง อำเภอบรรพทพิสัย
จังหวัดนครสวรรค์ 60180

ประวัติการศึกษา

- จบระดับมัธยมศึกษาจากโรงเรียนนวมินทราษฎร์
มัชณิน
- ปัจจุบันกำลังศึกษาในระดับปริญญาตรีชั้นปีที่ 4
สาขาวิชกรรมวัสดุ คณะวิศวกรรมศาสตร์
มหาวิทยาลัยนเรศวร

E-mail: siwanut_b@hotmail.com



ชื่อ นางสาววิไลลักษณ์ รอดละเอียด
ภูมิลำเนา 53 หมู่ 2 ตำบลโคกสุดตุ อำเภอบางกระทุ่ม
จังหวัดพิษณุโลก 65110

ประวัติการศึกษา

- จบระดับมัธยมศึกษาจากโรงเรียนเฉลิมชัยสุทรี
- ปัจจุบันกำลังศึกษาในระดับปริญญาตรีชั้นปีที่ 4
สาขาวิชกรรมวัสดุ คณะวิศวกรรมศาสตร์
มหาวิทยาลัยนเรศวร

E-mail: wilailuk_r@windowslive.com